

4106

YERFİSTİĞİNİN KIRILMASINDA YENİ BİR YÖNTEM

ONUR GÜVEN

Ç.Ü.

FEN BİLİMLERİ ENSTİTÜSÜ  
MAKİNA MÜHENDİSLİĞİ  
ANABİLİM DALI  
MASTER TEZİ

ADANA  
EYLÜL-1988

T. C.  
Yükseköğretim Kurulu  
Dokümantasyon Merkezi

Çukurova Üniversitesi Fen Bilimleri Enstitüsü Müdürlüğüne,

Bu çalışma jürimiz tarafından Makina Mühendisliği Anabilim Dalında YÜKSEK LİSANS Tezi olarak kabul edilmiştir.

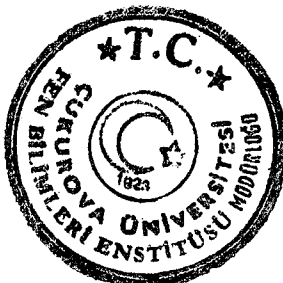
Başkan : Doç.Dr.İ.Deniz AKÇALI

Üye : Prof.Dr.Yusuf ZEREN

Üye : Yrd.Doç.Dr. Beşir ŞAHİN

Kod no : 314

Yukarıdaki imzaların, adı geçen öğretim üyelerine ait olduğunu onaylarım.



Prof.Dr. Ural DİNÇ  
Enstitü Müdürü

## İÇİNDEKİLER

	<u>Sayfa</u>
ÇİZELGE LİSTESİ .....	I
ŞEKİL LİSTESİ .....	II
ÖZ .....	IV
ABSTRACT .....	V
1. GİRİŞ .....	1
1.1. Önerilen Sistem .....	2
2. ÖNCEKİ ÇALIŞMALAR .....	4
2.1. Mevcut Kırmızı Düzeneği .....	4
2.2. Önceki Çalışmaların Değerlendirilmesi .....	9
3. MATERİYAL .....	11
4. METOD .....	13
4.1. Eğme Yükleri Altında Yerfistiği Davranışı .....	13
4.2. Bazı Deney Gözlemleri .....	23
5. KIRMA DÜZENEĞİ .....	24.
5.1. Besleyici .....	25
5.1.1. Yürek Profili .....	26
5.1.2. Yürek Yüzey Eğrisinin Koordinatları .....	31
5.1.3. Fistığın Borudan Çıkışındaki Mutlak Hızı .....	32
5.1.4. Yay Tasarımı .....	34
5.1.5. Besleyici Güç Gereksinimi .....	35
5.2. Kırıcı .....	38
5.2.1. Krank Devri Hesabı .....	38
5.2.2. Kırıcı Güç Gereksinimi .....	42
6. SAYISAL SONUÇLAR VE DENEYLER .....	47
6.1. Besleyici Hareketi .....	47
6.2. Yürek Profili .....	48
6.3. Bir Tek Yerfistiğinin Besleyiciden Çıkışındaki Hızı .....	49
6.4. Yay Hesabı .....	50

6.5. Besleyici Tahrik Motoru Gücü .....	51
6.6. Kırıcı Pimlerin Boyut ve Konumları .....	54
6.7. Krank Devri .....	54
6.8. Kırıcı Tahrik Motoru Gücü .....	54
6.9. Besleyici Deney Sonuçları .....	60
6.10. Kırıcı Deney Sonuçları .....	61
7. SONUÇLAR VE ÖNERİLER .....	63
7.1. Sonuçlar .....	63
7.2. Öneriler .....	63
ÖZET .....	66
SUMMARY .....	68
EK-I. Bilgisayar Programı .....	70
EK-II. Bilgisayar Programı .....	71
EK-III. Bilgisayar Programı .....	73
EK-IV. Düzenekle İlgili Teknik Resimler .....	74
KAYNAKLAR .....	91
TEŞEKKÜR .....	93
ÖZGEÇMİŞ .....	94

## ÇİZELGE LISTESİ

### Çizelge

<u>No</u>	<u>Sayfa</u>
1. Kabuklu Yerfistiğında Boyut Sınıflandırması.....	11
2. İç Yerfistiğında Boyut Sınıflaması.....	12
3. Kabuklu Yerfistiğında Çap-Olasılık İlişkisi .....	12
4. Yerfistiğının Bazı Ortalama Mekanik Büyüklükleri Şak Düzlemine (//) ve Dik (l) Olarak .....	23

## ŞEKİL LİSTESİ

### Şekil

<u>No</u>	<u>Sayfa</u>
1. Kırma Düzeneği .....	3
2. Thailand'da Kullanılan Fistık Kırıcı .....	5
3. Tipik Ticari Tip Kırıcı .....	6
4. Elektrik Motorlu Basit Dekartikatör .....	7
5. Ticari Tip Fistık Kırma Makinası .....	8
6. Mekanik Kırıcı .....	9
7. Üç Eksenli Uzayda Kabuklu Yerfıstığı Boyutları .....	11
8. Serbest Basınç Aleti .....	13
9. Yerfıstığına Yük Uygulama Konumları .....	14
10. Anamur Türü Kabuklu Yerfıstığının (//) Yükleme Konumundaki F - δ Eğrisi .....	15
11. Anamur Türü Kabuklu Yerfıstığının (1) Yükleme Konumundaki F - δ Eğrisi .....	16
12. Antalya Türü Kabuklu Yerfıstığının (//) Yükleme Konumundaki F - δ Eğrisi .....	17
13. Antalya Türü Kabuklu Yerfıstığının (1) Yükleme Konumundaki F - δ Eğrisi .....	18
14. Osmaniye Türü Kabuklu Yerfıstığının (//) Yükleme Konumundaki F - δ Eğrisi .....	19
15. Osmaniye Türü Kabuklu Yerfıstığının (1) Yükleme Konumundaki F - δ Eğrisi .....	20
16. Silifke Türü Kabuklu Yerfıstığının (//) Yükleme Konumundaki F - δ Eğrisi .....	21
17. Silifke Türü Kabuklu Yerfıstığının (1) Yükleme Konumundaki F - δ Eğrisi .....	22
18. Kırma Düzeneği .....	24
19. Besleyici .....	25

20. Bir Tek Kabuklu Yerfıstiğının Boru İçerisinde Hareket İncelemesi.	26
21. Yuvarlanma Silindirli Ötelemeli Yürek Mekanizması.....	31
22. Yuvarlanma Silindirli Ötelemeli Yürek Mekanizmasının Serbest Cisim Diyağramı .....	36
23. Kırıcı .....	39
24. Yerfıstiğinin Sabit Levha Üzerindeki Hareketi .....	41
25. Krank-Biyel .....	42
26. Kırıcı Levhanın Hareket İncelemesi .....	45
27. Besleyicinin İvme-Hız-Deplasman Miktarlarının Yüreğin Dönme Açısıyla Değişimi.....	47
28. Yürek .....	48
29. Fıstığın Bağıl Hızının ve Bağıl Yolunun Zamana Göre Değişimi ....	49
30. Kullanılan Yayın Kuvvet-Şekil Değiştirme Eğrisi.....	50
31. Basınç Açısının Yüreğin Dönme Açısına Göre Değişimi .....	51
32. $F_{23}^X$ Kuvvetinin Yüreğin Dönme Açısına Göre Değişimi .....	52
33. Kam Milinde Etkili Torkun Yüreğin Dönme Açısına Göre Değişimi ...	53
34. Biyel Açısal Hızının Krank Açısına Göre Değişimi .....	55
35. Biyel Açısal İvmesinin Krank Açısına Göre Değişimi .....	56
36. Kırıcı Levha İvmesinin Krank Açısına Göre Değişimi .....	57
37. Biyel Pimlerinde Etkili Mafsal Kuvvetinin Krank Açısına Göre Değişimi .....	58
38. Krank Milindeki Etkili Torkun Krank Açısına Göre Değişimi .....	59
39. Yürek Tahrik Mili Hızlarında Besleyici Açısı Debi Değişimi .....	60
40. Krank ve Yürek Tahrik Mili Hızlarında Kırıcı Açısı Verim Değişimi .....	62

Bu çalışmada yerfıstığının kırılmasında yeni bir yöntem önerilmekte ve bu yöntemi uygulayan bir düzeneğin tasarımlı gösterilmektedir.

TS-310'da belirtilen, standard yerfıstığı türlerinin ~~en~~ sık karşılaşılan böyltlardaki örnekleri üzerinde eğilme deneyleri yapılarak kırılma davranışları gözlenmiş ve fiziko-mekanik özelliklerini saptanmıştır. Deney verileri yer fistıklarının ortasından ya ~~da~~ uçlarından etkili eğilme momentleri ile kırılabileceğini göstermiştir. . . .

Tasarıma girecek parametrelerin en uygun değerleri kuramsal ve deneysel olarak bulunmuştur. Tasarıma uygun olarak imal edilen düzeneğe yapılan denemeler kırma veriminin ortalama % 84 olduğunu ve zedesiz tüm tanelerin % 97'sinin çimlenme özelliği taşıdığını ortaya koymus-tur.

**ABSTRACT**

In this study a new method is proposed for the shelling of peanuts, and the design of the unit applying this method is shown.

Bending experiments using peanut samples from among the types specified in Turkish Standards No: 310 (TS-310), have been carried out on the most frequently encountered sizes and their fracture behaviours have been observed, noting also their physical and mechanical properties. Experiment data have shown that peanuts can be shelled by means of bending moments effective at ends or in the middle.

The most suitable values of the design parameters involved have been determined theoretically and experimentally. Experiments performed on the manufactured model consistent with the design have demonstrated that shelling efficiency without breakage is about 84 % on the average and that 97 % of the undamaged kernels display seedlingability.

## 1. GİRİŞ

Bir tarım ülkesi görünümündeki Türkiye'nin dış satım gelirlerinin artırılması, tarım ürünlerindeki çeşitlendirme ve teknoloji payının büyütülmesi ile olanaklıdır. Bunu sağlayacak ekonomik değeri olan ürünlerden biride yerfıstığıdır. Tarımsal Yapı ve Üretim (1979)'da belirtildiğine göre baklagiller sınıfından kıymetli bir yağı bitkisi olan yerfıstığı üretiminin % 77'si Çukurova Bölgesinden elde edilmektedir. Devlet İstatistik Enstitüsü yıllıkmasına (1987) göre 1985 yılı itibarı ile 21.200 Hektar alana ekili 59.000 Ton üretilmiş bulunan yerfıstığında değerlendirilecek kabuk ve iç gibi iki kısım bulunmaktadır. Yerfıstığının değerlendirildiği pek çok yer vardır. İnsan gıdası, Hayvan yemi ve tohumluk olarak doğrudan tüketildiği gibi, çeşitli sanayi kollarında da kullanılmaktadır. Bunlardan başlıcaları şunlardır: Kabuklu veya kabuksuz cerez olarak yenir; yağı, proteini ve içerdiği çeşitli diğer vitaminler sebebiyle besleyici bir gıda maddesidir; ezmek suretiyle ezmesi yapılır; yağı besin maddesi olarak tüketilir; balık konservesi imalinde ve sabun istihsalinde kullanılır; yağı alındıktan kalan küslesi kesif bir hayvan yemidir; proteininden sentetik lif elde edilir; renkli kaplama maddeleri ve matbaacılık malzemeleri yapılır; unundan yapılan tutkallar (bu tutkallar mobilyacılıkta, tekstil sanayinde ve zamaklı kağıt imalinde kullanılır.) hayvansal tutkallar ayarındadır; unundan yangın söndürme sıvıları yapılır; meyvesinin kabuklarından suni tahta imal edilir, (Yapı ve Kredi Bankası A.Ş., 1966 ).

Ülkemizde ise yerfıstığı halen tamamen cerezlik olarak üretilmekte az bir kısmı ihraç edilmekte, büyük bir kısmı ise ülke içinde tüketilmektedir. Elek altı denilen kırık ve çok küçük danelerin Anamur'da küçük bir işletmede yağı çıkarılmakta ve o civarda tüketilmektedir, (KADAYIFÇILAR VE USLU, 1981 ).

Diğer yandan dünya yerfıstığı ticaretine bakılacak olursa % 20 ile ilk sırada yer alan A.B.D.'nin en büyük pazarı olan Avrupa'ya ihraç ettiği miktarın % 90'dan fazlasının kabuksuz iç şeklinde olduğu görülecektir, (WOODROOF 1983 ).

Küçük senmiyecek miktarda üretilen yerfıstığının kabuk ve içinin değerlendirilmesi için öncelikle uygunca kırılması zorunludur. Kırma işlemi yapılmadan zarının soyulması, ezilmesi, yağıının çıkartılması, kavrulması, gıdalarda ara katkı maddesi ve tohumluk olarak kullanılması gibi değişik süreçlerde işlenmesi mümkün değildir. Kısa zamanda büyük miktarda yerfıstığının kırılması kırma makinalarını gerektirir.

Bu çalışmada yerfıstığının kırılması problemi ele alınmıştır. Önce yerfıstığının eğilme momentleri altındaki davranışları deneySEL incelemiştir. Deney verileri ışığında yerfıstığını mekanik olarak kıran bir sistem önerilmiş ve sistemin tasarımını gösterilmiştir. Daha sonra sistem laboratuvar olanakları ile imal edilerek denenmiş ve deneme sonuçları sunulmuştur.

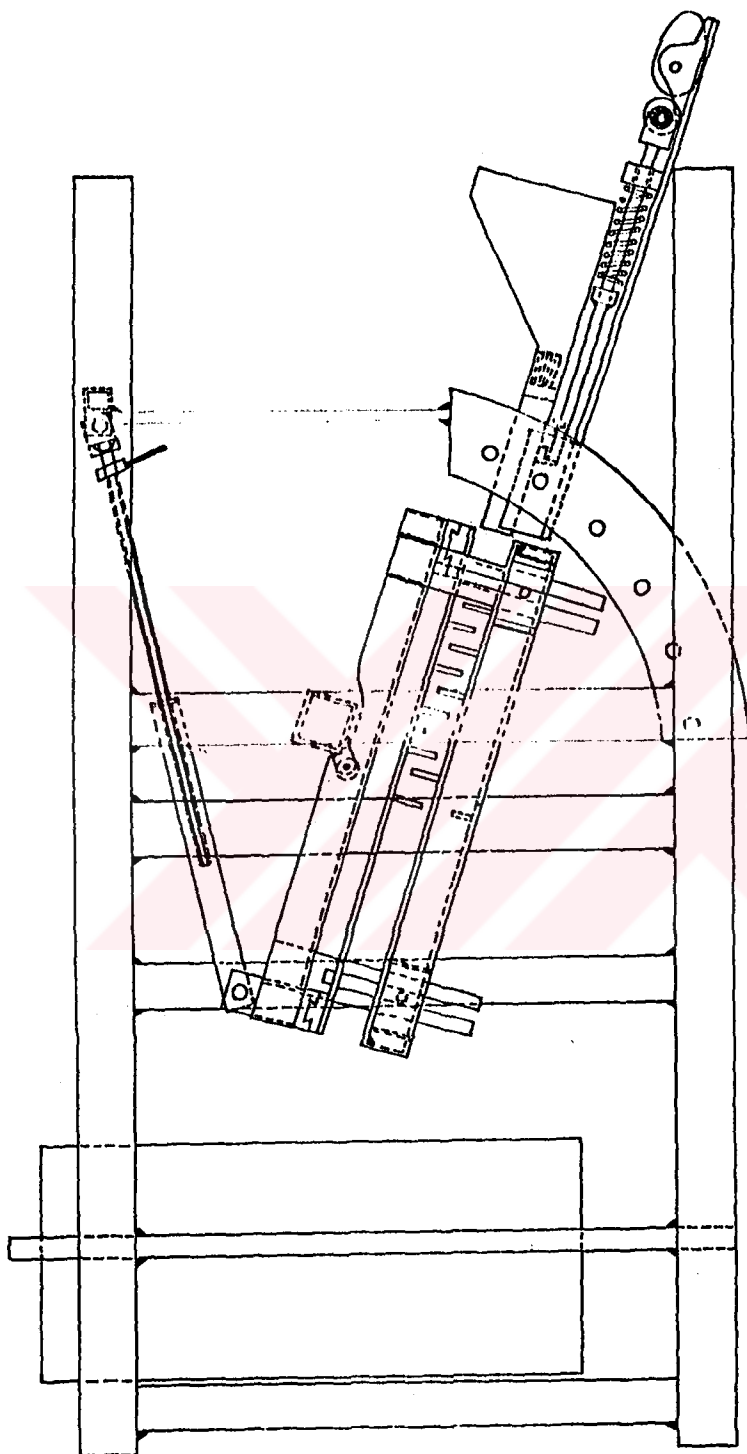
### 1.1. Önerilen Sistem

Yerfıstıkları üzerinde oluşturulan eğilme momenti etkisi ile kırılmasını sağlayan mekanik düzenek besleyici ve kırcı olmak üzere iki kısımdan oluşturulmuştur. (Şekil -1)

Besleyici ötelemeli bir yürek mekanizmasının ivmelendirdiği bir depo ve ana bağlı bir düzlem içinde yan yana sıralanmış borular kümelerinden oluşmaktadır.

Kırcı ise sıralı çubukların bulunduğu bir sabit diğeri yerfıstığı hareketine dik olarak kayan, aralarındaki uzaklığını ve yatay la yaptığı açıları ayarlanabilir iki levhanın paralel olarak yan yana getirilmesinden ibarettir.

Besleyici tarafından yerfıstıkları uzun eksenleri boyunca, kırcı levhalar üzerindeki sıralı çubuklar arasındaki boşluklara gönderilmekte ve bu esnada ayrı bir elektrik motoruyla tahrik edilen krank-biyel mekanizması yardımıyla kırcı levha hareket ettirilerek kırma işlemi tamamlanmaktadır. Sisteme yerfıstığı içi ve kırılmış kabukların toplanacağı bir sürgülü hazne de monte edilmiştir.



Şekil 1. Kırma Düzeneği.

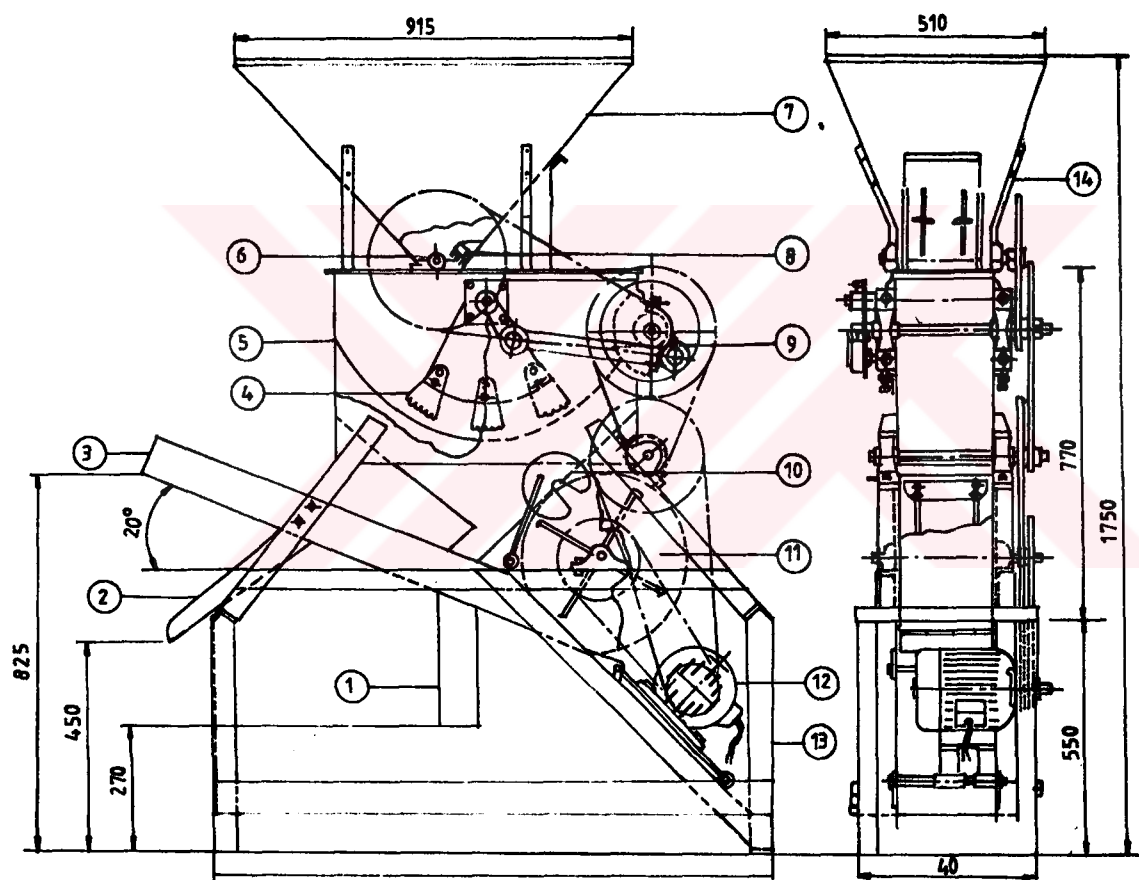
## 2. ÖNCEKİ ÇALIŞMALAR

Kabuklu yerfıstığının mekanik olarak kırılması problemine çeşitli yaklaşım ve düzeneklerle çözümler aranmıştır. Bilgimiz içinde olanlar şunlardır:

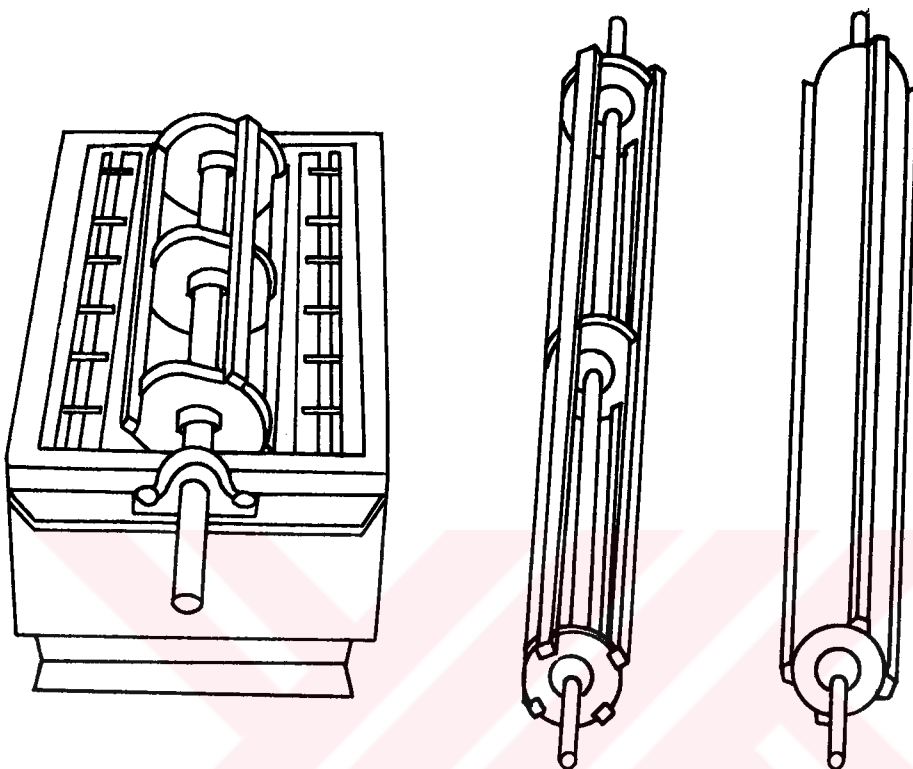
### 2.1. Mevcut Kırmış Döşenekleri

SINGH ve THONGSAWATWONG (1983), 1.0 x 1.0 cm delikli iç bükey tel ızgara ve aynı düzlemdeki çember dilimi üzerine sabit olarak aralıklı yerleştirilmiş üç adet kırmış kafasının yeraldığı salınım hareketli kırıcı üzerinde çalışmışlardır. Salınım hareketi dört çubuk mekanizması aracılığıyla sağlanmaktadır, (Şekil -2). Çember dilimi salınım hareketi yaparken ızgara ile kırıcı kafası arasına sıkışan fistığın kabukları parçalanmakta ve kırılmış kabuk ile iç ızgara boşluklarından aşağıya düşmektedir. Kırıcı kafasıyla iç bükey ızgara arasındaki boşluk 1-1,5 cm'ye kadar ayarlanabilmektedir. Yuvarlak demir, dişli demir ve lastik malzemeden olmak üzere üç değişik türde kırmış kafası kullanılmıştır. Bu kırmış makinasında besleyici olarak, huni şeklinde bir hazne ve hazne içerisinde fistığın akışını denetleyen 30 cm çaplı 4 kanatlı debi kontrol düzeneği düşünülmüştür.

DAVIDSON (1974), DAVIDSON ve Arkadaşlarının (1976) incelediği sisteme ise  $180^{\circ}$  ile  $270^{\circ}$  lik açı aralığında çapı 30,5 ile 35,6 cm arasında değişen iç bükey ızgara ve içerisinde çapları 25,4 ile 30,5 cm arasında değişen kırmış silindiri bulunmaktadır. Kırmış silindiri kendi ekseni etrafında sürekli dönerken, silindir ile ızgara arasında kalan fistıklar kırılmakta, kırılanlar da ızgara aralıklarından aşağıya dökülmektedir. REED ve COOPOCK (1952), bu sistem (Şekil -3) üzerinde delikli düz metal levhalı, çelik çubuklu ve dökme demirden üç tür ızgara ile üç tür kırmış silindiri denemişlerdir. Bunlar dökümle imal edilmiş 4 kanatlı dolu silindir, dokuz adet kare kesitli çubuktan meydana gelen açık silindir ve dört adet kare kesite sahip açık silindirdir.



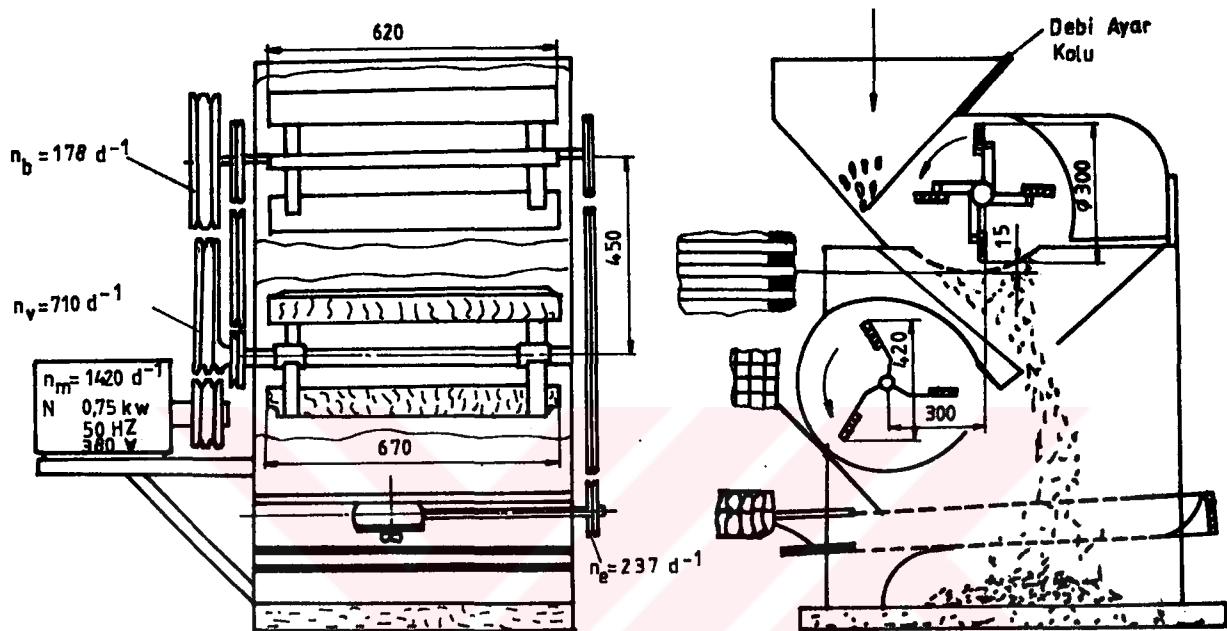
Şekil 2. Thailand'da Kullanılan Fıstık Kırıcı.



Şekil 3. Tipik Ticari Tip Kırıcı.

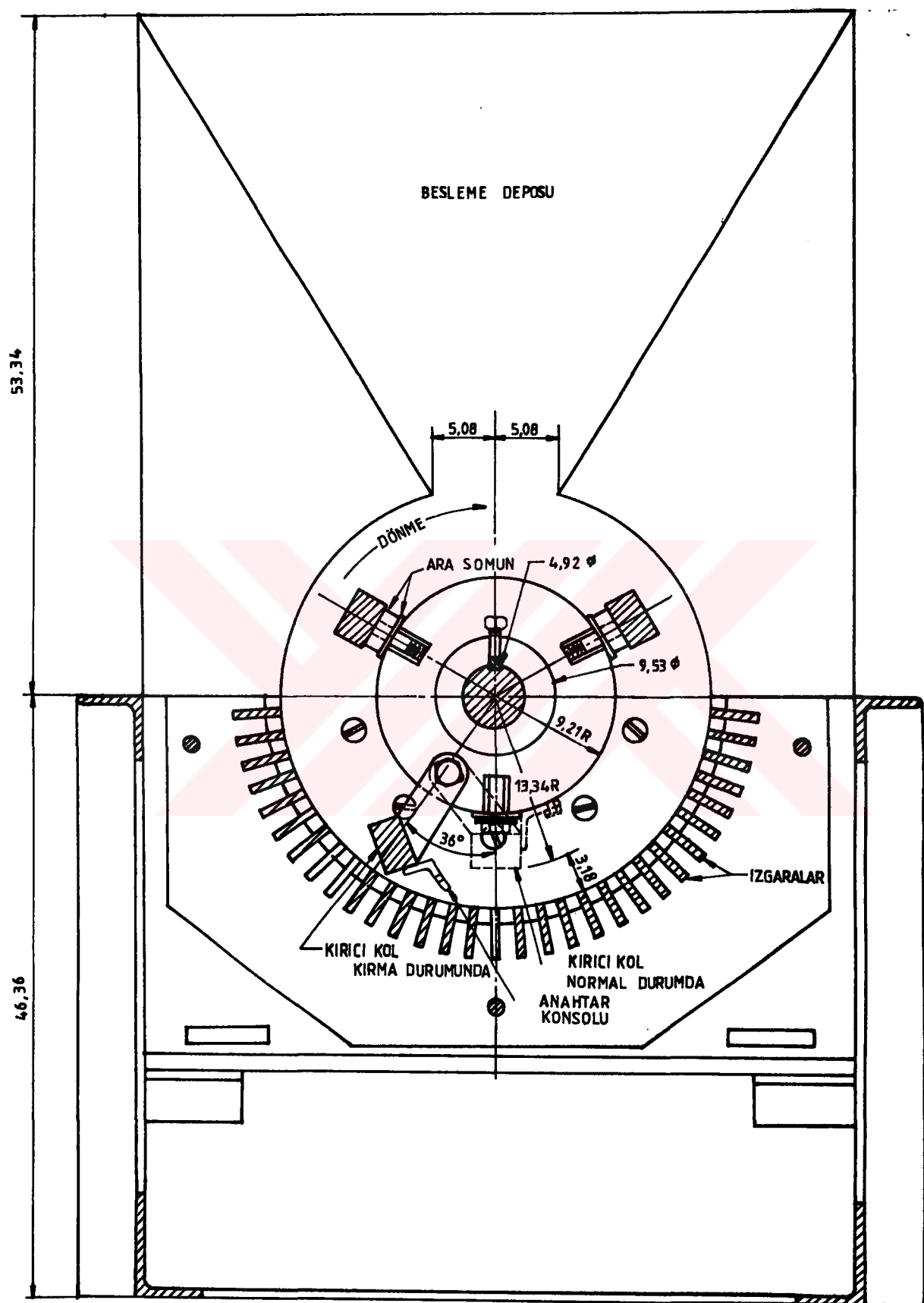
KADAYIFÇILAR ve USLU (1981)'nun ele aldığıları makina  
nda özel bir (batör - kontrbatör) düzeni uygulanmıştır, (Şekil 4). Ba-  
tör (kırma silindiri), ahşap kanatlı pervane tipidir. Kanat ölçüleri  
730 x 90 mm olup 4 adettir. Batör uzunluğu 730 mm'dir. Kontrbatör fonk-  
siyonunu yapan kısmı 80 x 25 mm'lik 24 adet lama ve 2 köşebent'den ya-  
pılmış bir ızgaradır. Batör, karşısındaki kontrbatörü 270°'lik kavisle  
sarmaktadır. Fıstık kapsülleri makinanın besleme ağızından kırma ünitesi-  
ne girmektedir. Batörün dönme etkisi, kapsüllerin çevresinde kendisi ile  
birlikte sürüklerek istemekte, ızgara kısmı ise bu etkiyi geciktirmeye  
çalışmaktadır. Bu durum bir kapsülün diğerine karşı bir relatif hareket  
yapma ve frezeleme etkisine neden olmaktadır. Bu da kapsül kabuğunun  
kırılıp parçalanmasını gerçekleştirmekte, iç fıstıklar kabuktan ayrıl-  
maktadır.

İç fistıklar, kırılmış kabuklar ve diğer küçük parçalardan oluşan karışım izgara aralarından geçerek düşmektedir.



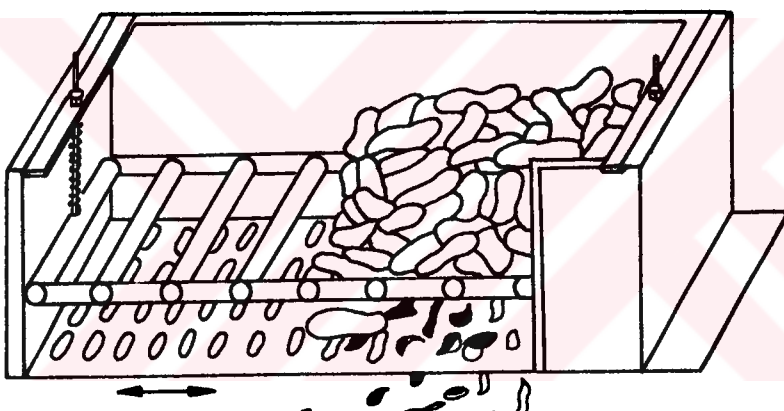
Şekil 4. Elektrik Motorlu Basit Dekortikatör.

DAVIDSON (1979)'nun yeni bir çalışmasında kendisi-nin daha önce incelediği (1976) ticari kırma makinalarındaki izgara deliklerinin tıkanmasına çözüm olarak, kırma silindiri üzerine mafsal-lanmış temizleyici kollar önermiştir, (Şekil 5). Kırma işlemi anında kollar silindir gövdesine civata ile sabitlestirilmekte, izgarada tıkan-ma oluştuğunda vida sökülmek kol serbest durumdayken silindirin dönde-rilmesi ile izgaralar temizlenmektedir. Çalışmalarda 3,4 ve 8,4 kg'lık demir kollar kullanılmıştır.



Şekil 5. Ticari Tip Fistik Kırma Makinası.

PERSON (1975)'nun yayınladığı bir çalışmada prensibi DICKENS (1962) tarafından ortaya atılan bir kırıcı üzerinde incelemeler yapılmıştır, (Şekil 6). Kırıcıda yerfistikleri yay ile aşkıya alınmış aralıklarla yerleştirilmiş sabit kırıcı çubuklar arasından geçtikten sonra, kırılmamış fistikların geçemeyeceği boyutlardaki oblong delikli ızgara üzerinde toplanmaktadır. Bu taban levhasının ötelemeli titreşim hareketi ile ızgara ve çubuklar arasındaki ürün kamalama etkisi ile rastgele parçalanmaktadır. Titreşim kırılmış fistikları yerçekimi yardımıyla boşluklardan düşmesini de sağlamaktadır. Bu düzenekte sadece üretici elindeki yerfistiği ömeklerindeki iç oranının belirlenmesi amaçlandığından sınırlı bir debi sözkonusudur.



Şekil 6. Mekanik Kırıcı.

## 2.2. Önceki Çalışmaların Değerlendirilmesi

Yerfistiğinin kabuğunun kırılmasını gerçekleştiren düzenekleri kırma yöntemi bakımından iki grup altında toplamak mümkündür. Birinci grubu(2.1.'deki ilk dört çalışma ) iç içe biri dönen diğeri sabit kaçık eksenli iki silindir arasında yerfistiklerini parçalayıarak kıran; ikinci grubu (2.1.'de söz edilen son çalışma) ise paralel uzun yuvarlak sabit demirli, ötelemeli hareketli, oblong delikli saç eleklər arasında sıkıştırarak kıran düzenekler oluşturmaktadır.

Birinci yöntemle kırmaya yapan düzeneklerin kendi aralarındaki farklılıklarını şu başlıklar altında özetlemek mümkündür.

-Kırma silindirinin hareketi bakımından;

SİNGH ve THONGSAWATWONG'un (1983) önerdiği makinada kırma silindiri sarkaç hareketi yapmakta; diğer üç çalışmada ise kırma silindirinin hareketi aynı yönde sürekli dönmeye şeklindedir.

-Kırma Kanatlarının (Kafalarının) malzemesi ve sayısı bakımından;

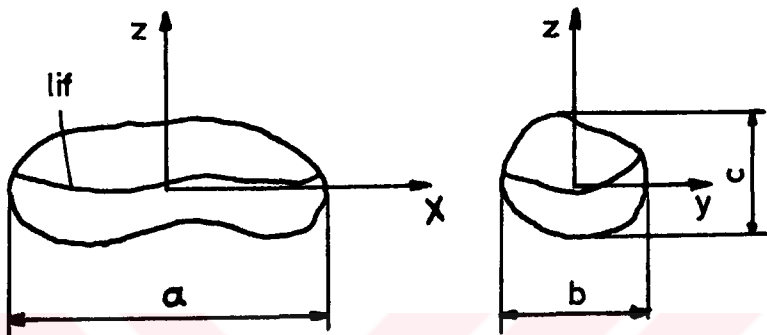
DAVIDSON (1976) demir ve döküm malzemeden imal edilmiş 4 ve 9 kanat; KADAYIFÇILAR ve USLU (1981) ahşap malzemeden yapılmış 4 kanat; SİNGH ve THONGSAWATWONG (1983) ise demir ve lastik malzemeden olmak üzere 3 kanat kullanmışlardır.

-Izgara malzemesi bakımından;

SİNGH ve THONGSAWATWONG (1983) tel izgara; DAVIDSON (1974-1976-1979) delikli düz metal levhali çelik çubuklu dökme demirden izgaralar; KADAYIFÇILAR ve USLU (1981) lama demirli izgara kullanmışlardır.

### 3. MATERİYAL

Bu araştırmada kullanılan materyal TS-310'da belirtilen ve yetiştirildikleri yerlerin isimleriyle anılan Anamur, Antalya, Osmaniye, Silifke türü yerfistikleri olup, merkezi Mersin'de bulunan Yerfiskobirlik Genel Müdürlüğü'nden sağlanmıştır.



Şekil 7. Üç Eksenli Uzayda Kabuklu Yerfistiği Boyutları.

Birbirine dik üç eksenli uzayda yerfistiği geometrik olarak uzunluk (a), genişlik (b) ve kalınlık (c) olmak üzere üç boyutta tanımlanabilir, (Şekil 7). Genel olarak genişlik boyutunun (b) kalınlık boyutundan (c) biraz büyük olduğu görülmüş ve büyük olanına çap denilmiştir. Böylece bir tek kabuklu yerfistiği çap ve uzunluk olarak ifade edilmişdir. Dört türden 500'er adetlik örnek kümeleri oluşturularak tek tek ölçümler yapılmış; ortalama ve standart sapma değerlerinin hesaplanması ile küçük, orta ve büyük boy kümelerini belirleyen aralıklar çapları ve uzunlukları bakımından Çizelge 1'de (GEREN, 1987) verilmiştir.

Çizelge 1 Kabuklu Yerfistiklerinde Boyut Sınıflandırılması (GEREN, 1987).

	Yerfistiği Türü	Küçük Boy (mm)	Orta Boy (mm)	Büyük Boy (mm)
Anamur	Çap(d)	$d < 13,2$	$13,2 \leq d \leq 17,7$	$d > 17,7$
	Uzunluk (L)	$L < 24,9$	$24,9 \leq L \leq 38,7$	$L > 38,7$
Antalya	Çap(d)	$d < 14,8$	$14,8 \leq d \leq 18,4$	$d > 18,4$
	Uzunluk (L)	$L < 31,8$	$31,8 \leq L \leq 42,5$	$L > 45,5$
Osmaniye	Çap(d)	$d < 13,8$	$13,8 \leq d \leq 18,1$	$d > 18,1$
	Uzunluk (L)	$L < 25,6$	$25,6 \leq L \leq 39,1$	$L > 39,1$
Silifke	Çap(d)	$d < 15,0$	$15,0 \leq d \leq 19,7$	$d > 19,7$
	Uzunluk(L)	$L < 31,0$	$31,0 \leq L \leq 44,7$	$L > 44,7$

İç yerfistiklerinin da sınıflandırılması için 100'er adetlik iç ömek kümelerinde de aynı yol izlenerek çizelge 2'deki (KİPER, 1987) sonuçlara varılmıştır.

Çizelge 2. İç Yerfistiğında Boyut Sınıflaması (KİPER, 1987).

Yerfistiği Türü	Küçük Boy (mm)	Orta Boy (mm)	Büyük Boy (mm)
Anamur	<u>Çap (d)</u> $d < 7,5$	$7,5 \leq d \leq 11,1$	$d > 11,1$
	<u>Uzunluk (L)</u> $L < 16,0$	$16,0 \leq L \leq 21,0$	$L > 21,0$
Antalya	<u>Çap (d)</u> $d < 8,0$	$8,0 \leq d \leq 16,1$	$d > 16,1$
	<u>Uzunluk (L)</u> $L < 17,9$	$17,9 \leq L \leq 21,9$	$L > 21,9$
Osmaniye	<u>Çap (d)</u> $d < 7,5$	$7,5 \leq d \leq 11,2$	$d > 11,2$
	<u>Uzunluk (L)</u> $L < 15,1$	$15,1 \leq L \leq 21,7$	$L > 21,7$
Silifke	<u>Çap (d)</u> $d < 8,1$	$8,1 \leq d \leq 11,2$	$d > 11,2$
	<u>Uzunluk(L)</u> $L < 16,8$	$16,8 \leq L \leq 22,0$	$L > 22,0$

Sınıflandırılan kabuklu yerfistiği türlerinin belli boyut aralıklarında karşılaşma yüzdeleri ise Çizelge 3'de (GEREN, 1987) gösterilmiştir.

Çizelge 3. Kabuklu Yerfistiğında Çap-Olasılık İlişkisi(GEREN, 1987)

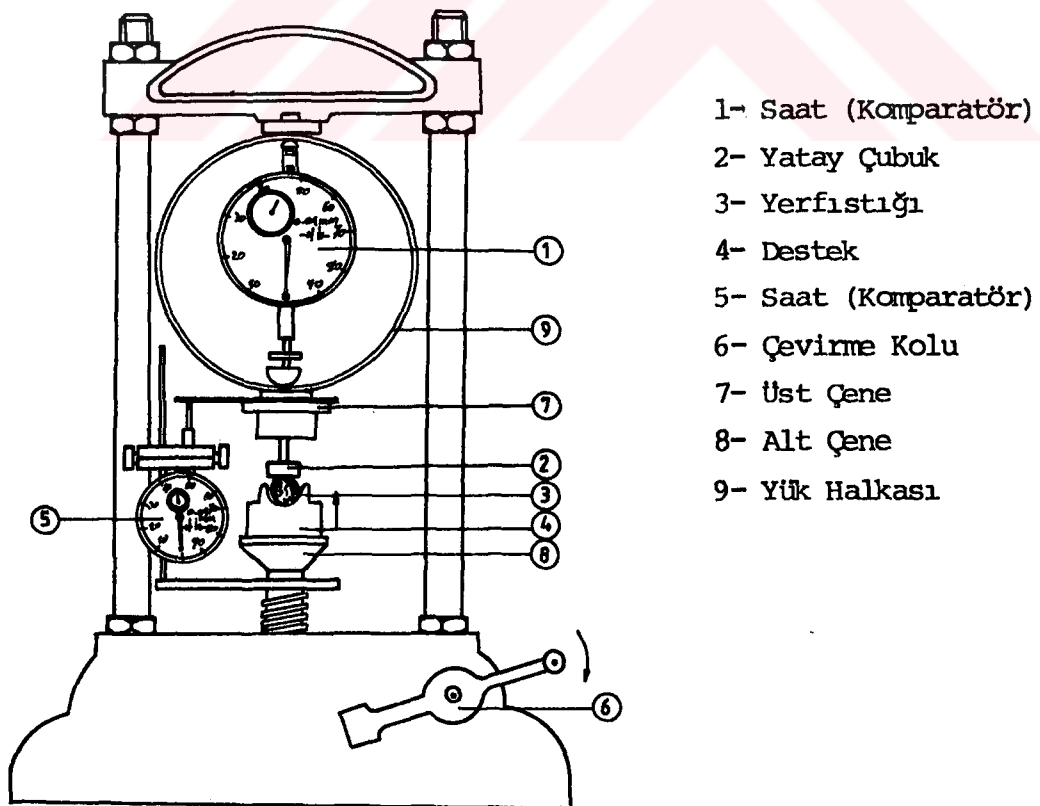
Yerfistiği Türü ve Olasılık	(d) Çap (mm)		
	Küçük Boy	Orta Boy	Büyük Boy
Olasılık (%)	Anamur	16	68
	Antalya	14	70
	Osmaniye	14	70
	Silifke	14	72

#### 4. METOD

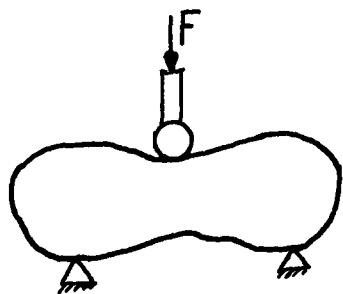
Kabuklu yerfıstığının insan eliyle nasıl kırıldığına dikkat edilirse, bunlardan birisinin yerfıstığına iki ucundan eğilme momentleri uygulamak şeklinde olduğu görülecektir. Bu gözlemden hareketle Çizelge 3'te en sık karşılaşıldığı açık olan (% 70) orta boy yerfistiklerinin eğim yükleri altındaki davranışları deneylerle incelenmiştir. Her deneyde her türden beşer adet yerfıstığı kullanılmıştır.

##### 4.1. Eğim Yükleri Altında Yerfıstığı Davranışı

Bir tek kabuklu yerfıstığına yakından bakılırsa ürünü çevre saran ve ikiye ayıran bir orta lifin olduğu görülecektir, (Şekil 7). Bu lifi içeren düzleme kısaca şak düzlemi denoeektir. Şekil 8'de görülen serbest basınç aletinin (Soilttest Chicago U-100) 7 ve 8 nolu çeneleri arasında yerfistikleri iki ucundan basit desteklenmiş durumda tam ortalarından çapları 6-10 mm arasında değişen yatay çubuklar üzerinden şak düzlemine paralel (//) ve dik (l) olarak (Şekil 9) yüklenmişlerdir.

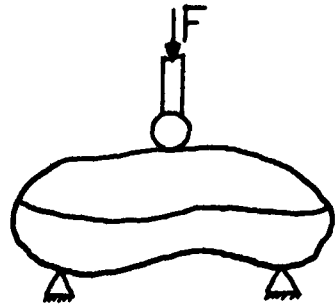


Şekil 8. Serbest Basınç Aleti



Şak düzlemine paralel (//)

(a)



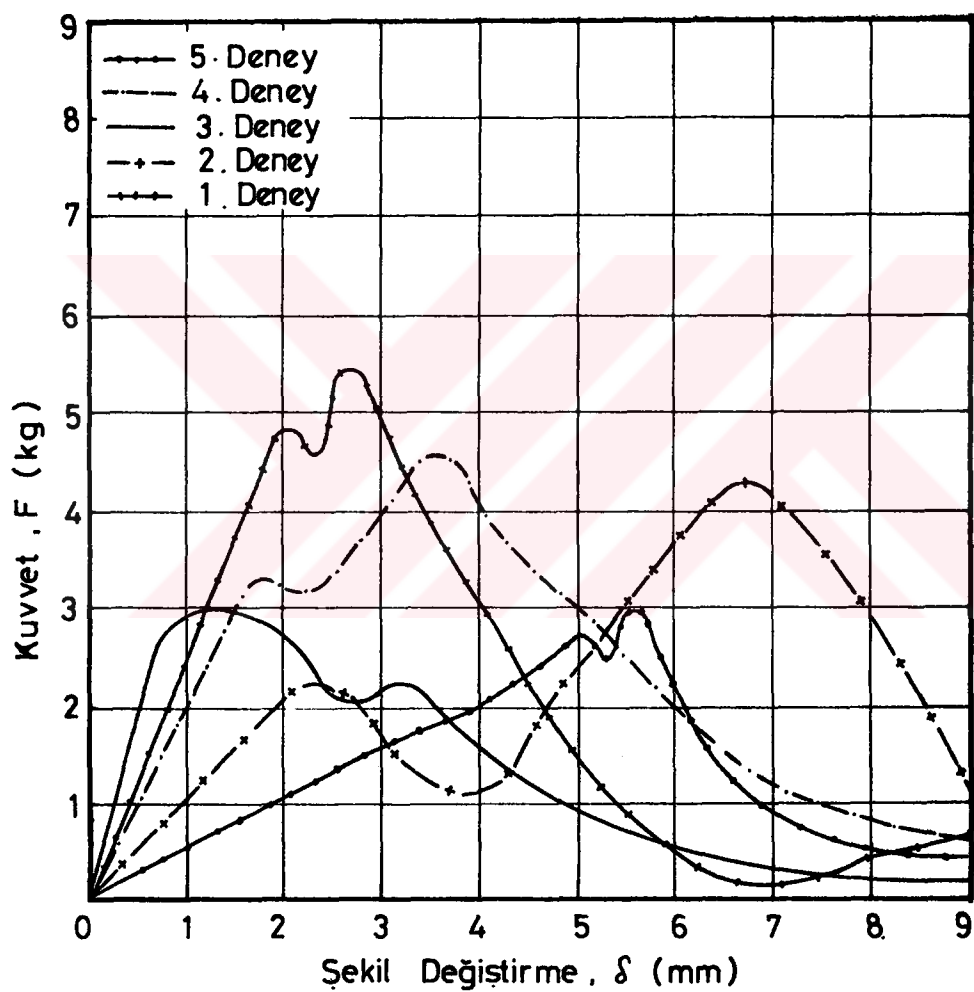
Şak düzlemine dik (l)

(b)

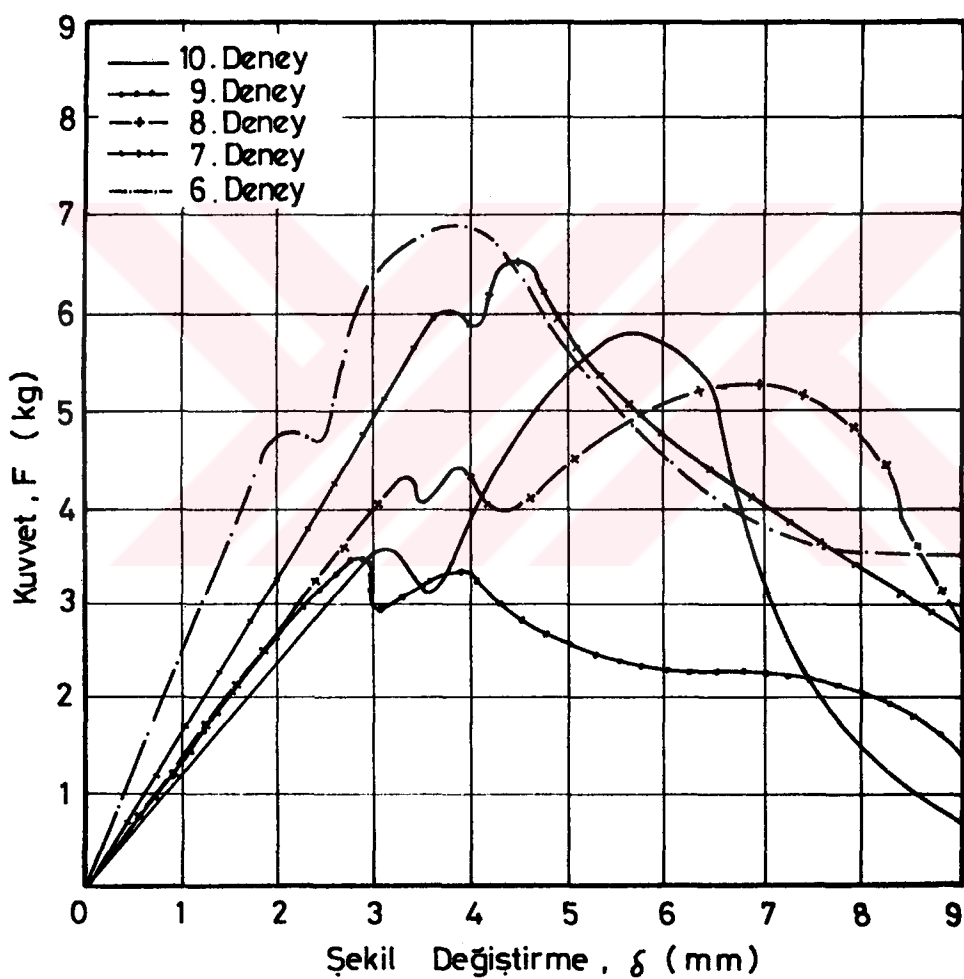
Şekil 9. Yerfışığına Yük Uygulama Konumları.

Yatay çubukların sabit hızda yerdeğiştirme yapabilmesi için 6 nolu kol 1/15 dev/sn'lik değişmez hızla sürekli çevrilmiştir. Yatay çubukların her 0,25 mm ilerlemesine karşı gelen 1 nolu saat sapması (x) ile 9 nolu yük halkasının yay sabiti ( $k = 50 \text{ kg/mm}$ ) bilindiğinden yerfışığına uygulanan kuvvet  $F = k \cdot x$  şeklinde elde edilmektedir. Arttırılan kuvvette karşı gelen orta noktadaki çökme miktarı ölçülmüş ve ölçümler içlerin kabuklarından çıkışmasına dek sürdürülmüştür. Bu verilerle Şekil 10-11-12-13-14-15-16-17'de sergilenen davranış eğrileri çizilmiştir (BÜYÜKNİSAN, 1987).

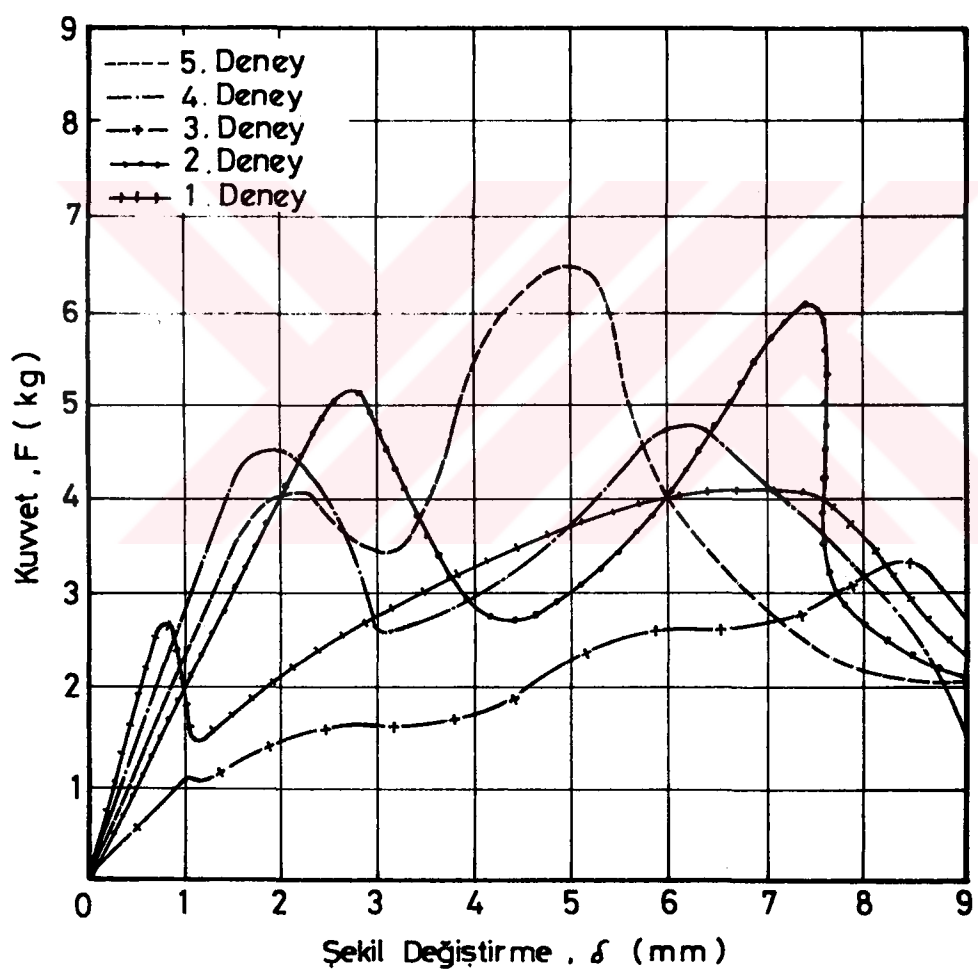
Eğrilerin literatürde (Mohsenin, 1970) organik esaslı malzemeler için verilenlerle tutarlı olduğu görülmüştür. Davranış eğrilerinde dikkate değer noktalardan birincisi kabukta ilk çitlamanın olduğu biyo-akma, ikincisi ise kabuğun tamamen kırıldığı kopma (doruk) noktasıdır. Bütün türlerde şak düzlemine paralel kuvvetin uygulanması halindeki tam kırılma ve biyo-akma noktası, şak düzlemine dik yüklemeye göre genel olarak daha küçük kuvvet ve çökmede gerçeklemiştir. Eğri ile yatay eksen arasında kalan alan kırma enerjisini vereceğinden, bu açıdan eğrilerin gözden geçirilmesi, paralel yüklemede gereken kırma enerjisinin daha küçük olduğunu ortaya koyacaktır. Eğrilerden çıkarılan bazı mekanik büyüklüklerin değeri Çizelge 4.'de topluca sunulmuştur.



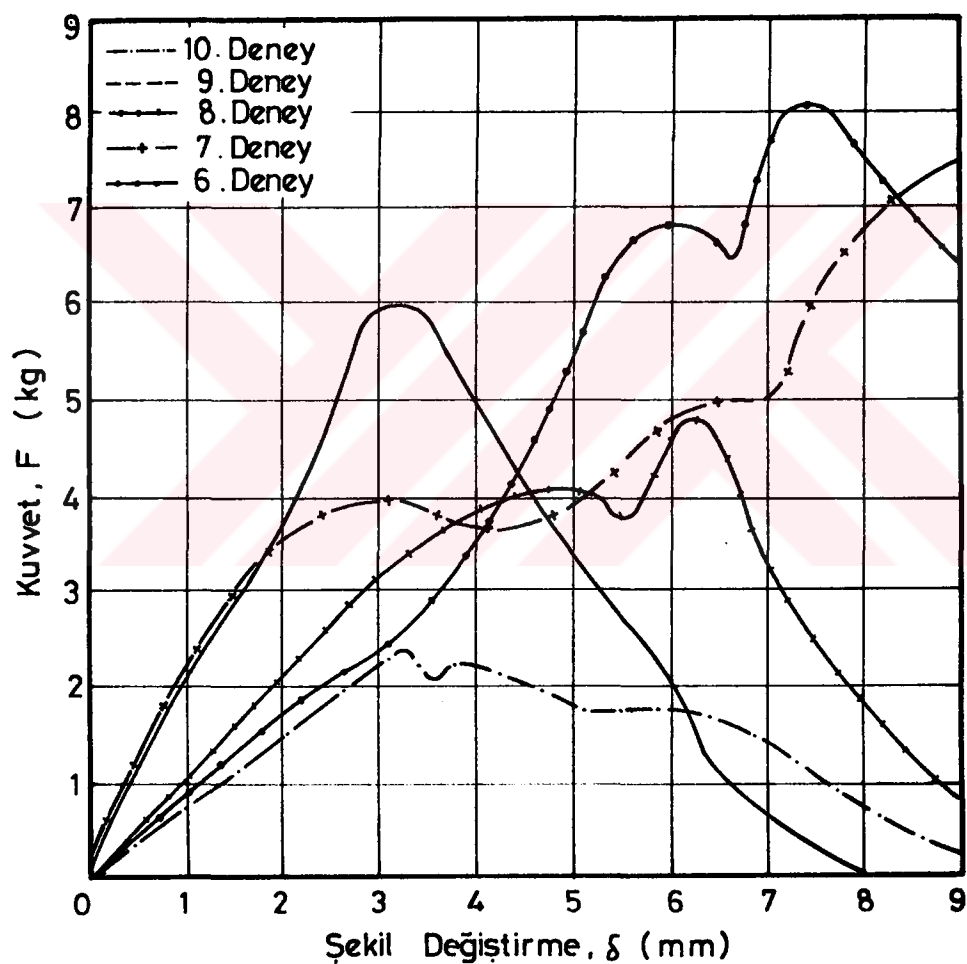
Şekil 10. Anamur Türü Kabuklu Yerfıstiğinin Şak Düzlemine Paralel Yükleme Konumundaki  $F - \delta$  Eğrisi.



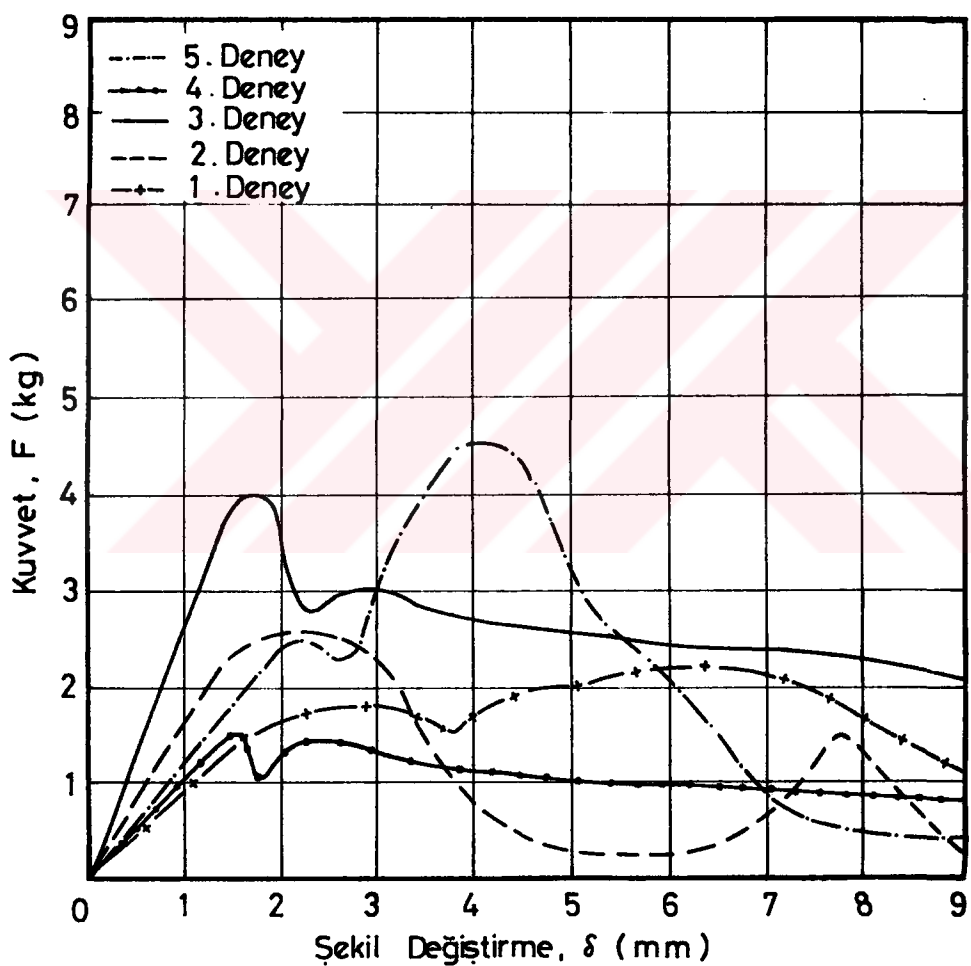
Şekil 11. Anamur Türü Kabuklu Yerfıstığının Şak Düzlemine Dik Yükleme Konumundaki  $F - \delta$  Eğrisi



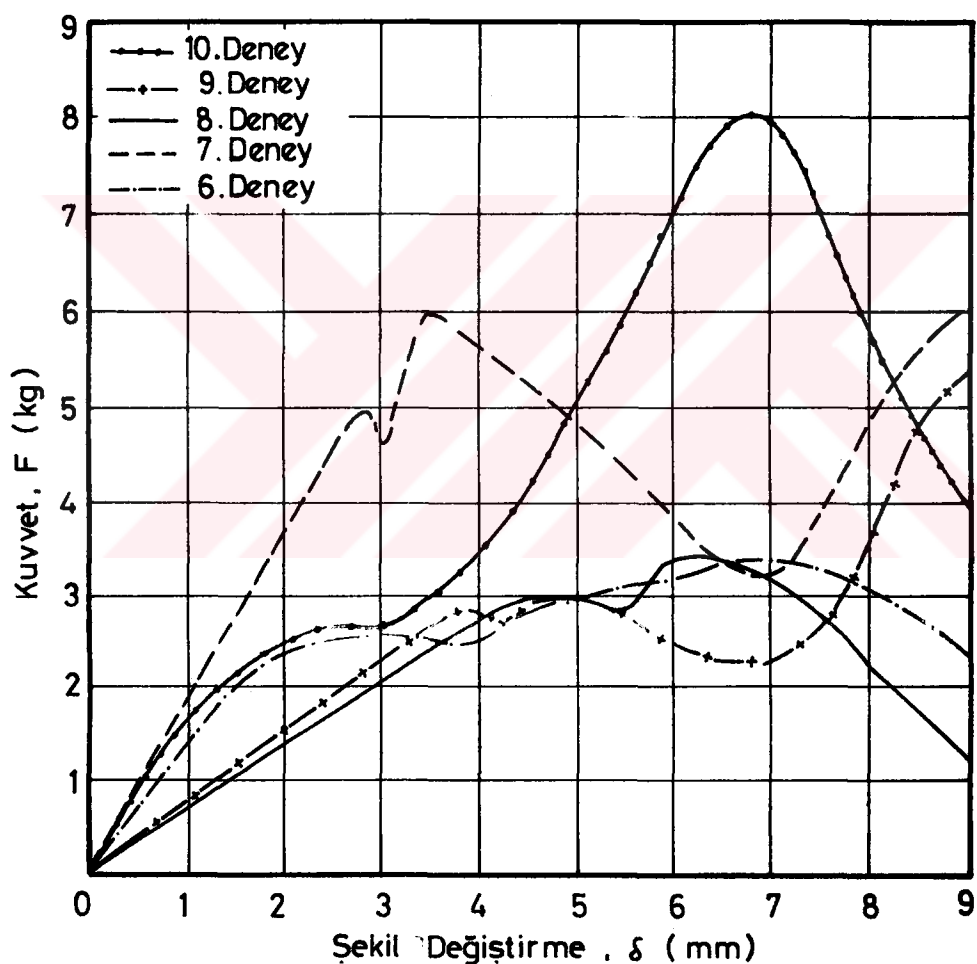
Sekil 12. Antalya Türü Kabuklu Yerfıstığının Şak Düzlemine Paralel Yükleme Konumundaki  $F-\delta$  Eğrisi.



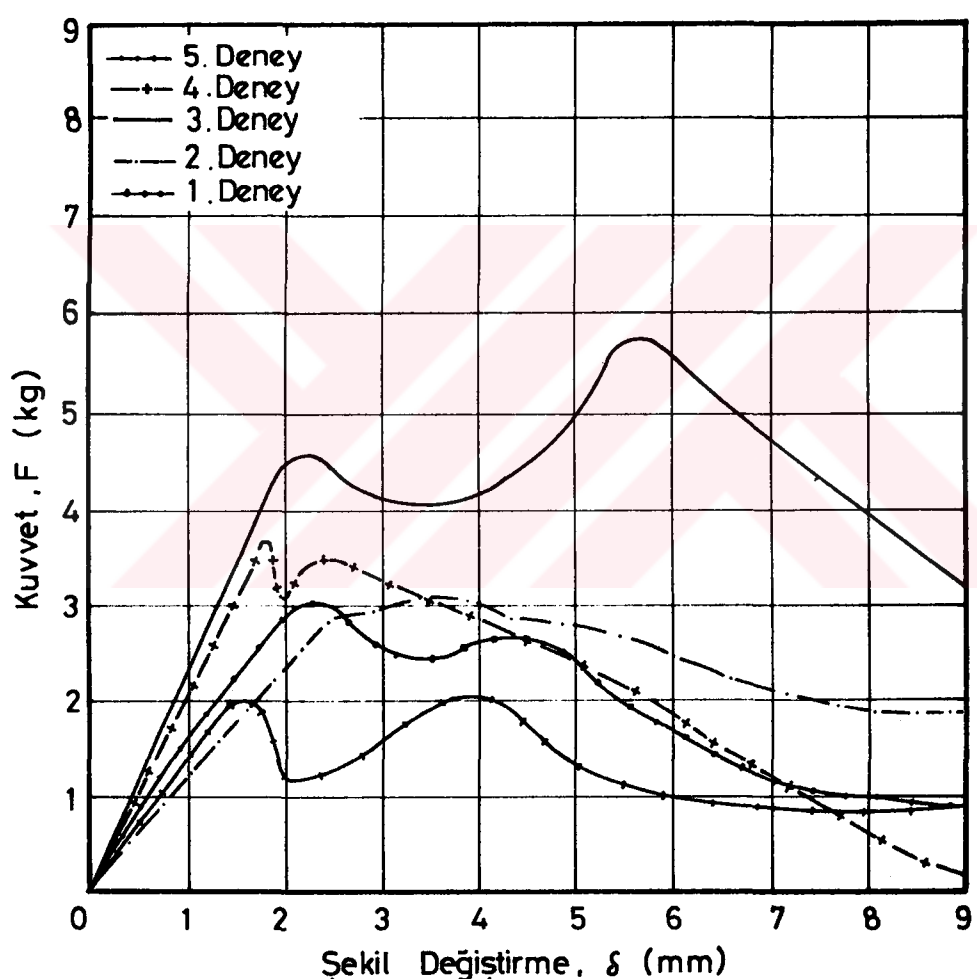
Şekil 13. Antalya Türü Kabuklu Yerfistığının Şak Düzlemine Dik Yükleme Konumundaki  $F - \delta$  Eğrisi.



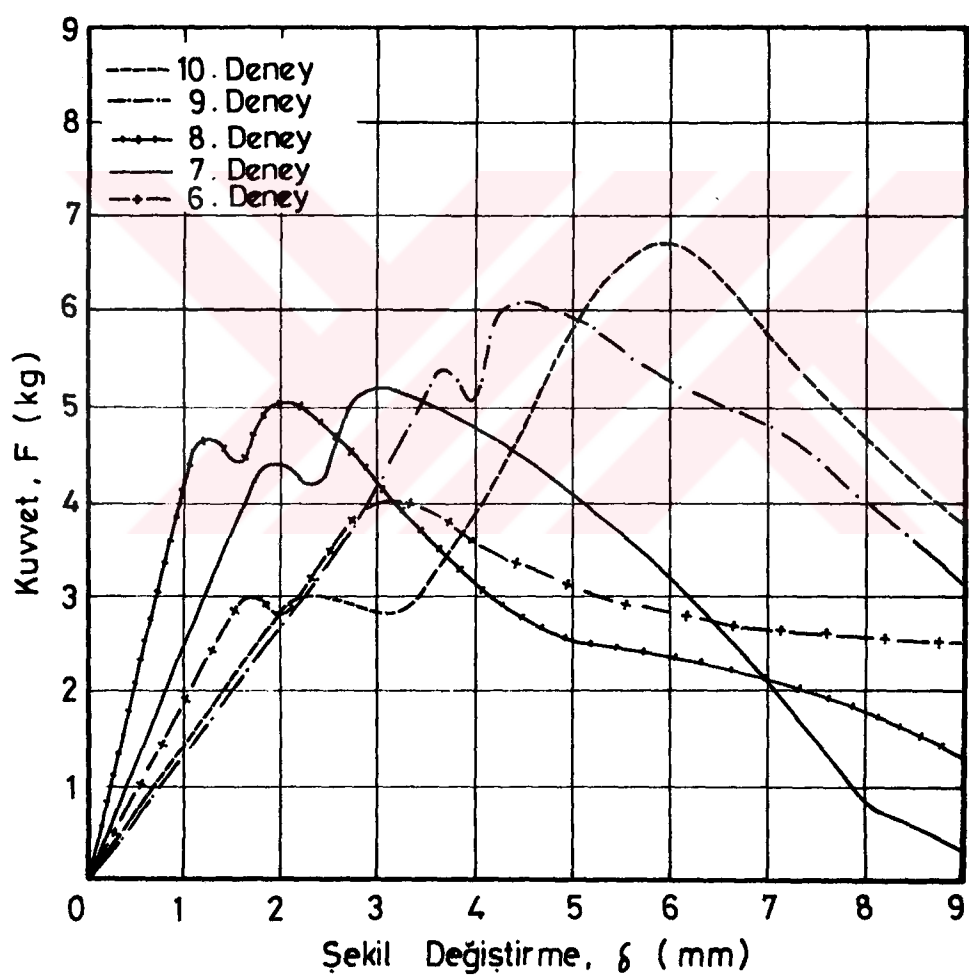
Şekil 14. Osmaniye Türü Kabuklu Yerfıstığının Şak Düzlemine Paralel Yükleme Konumundaki  $F - \delta$  Eğrisi.



Şekil 15. Osmanlı Türü Kabuklu Yerfıstığının Şak Düzlemine Dik Yükleme Konumundaki  $F-\delta$  Eğrisi.



Şekil 16. Silifke Türü Kabuklu Yerfıstığının Şak Düzlemine Paralel Yükleme Konumundaki  $F - \delta$  Eğrisi.



Şekil 17. Silifke Türü Kabuklu Yerfıstığının Şak Düzlemine Dik Yüklemeye Konumundaki  $F - \delta$  Eğrisi.

**Çizelge 4. Yerfıstığının Bazı Ortalama Mekanik Büyüklükleri Şak Düzlemine Paralel (//) ve dik (1) olarak (BÜYÜKNİSAN, 1987).**

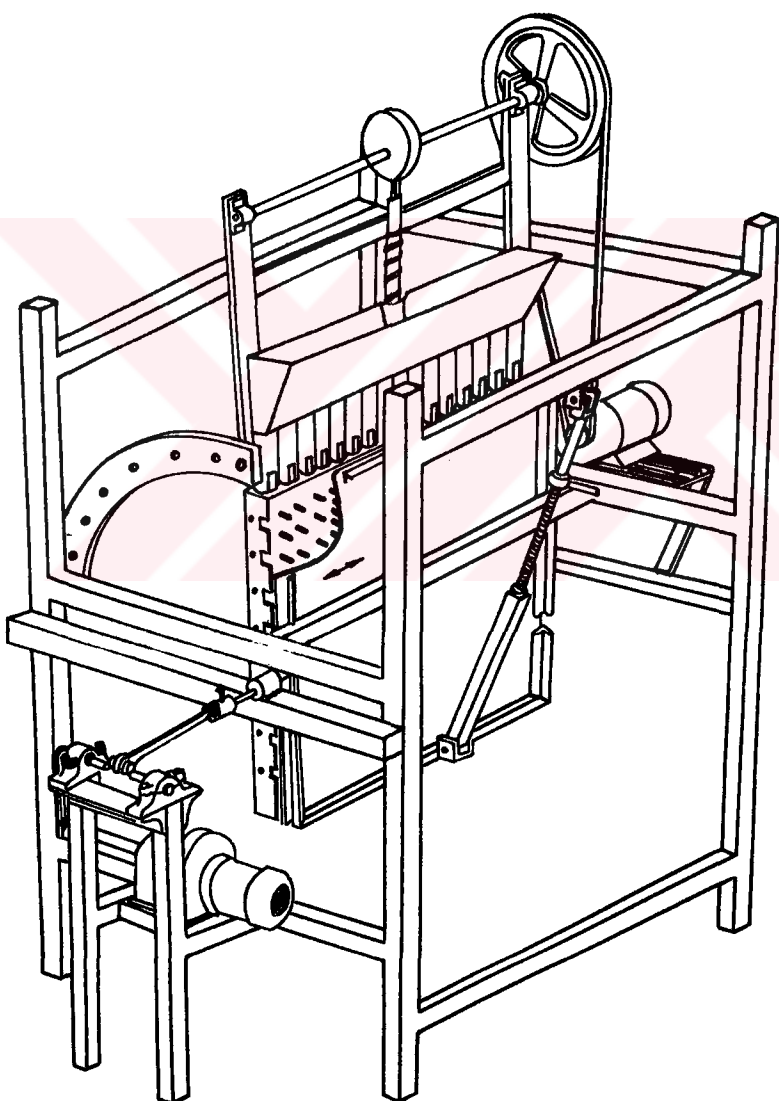
Yerfıstığı Türü	Yük Düzlemi	Elastiklik Modülü (kg/mm <sup>2</sup> )	Akma Sınırı (kg/mm <sup>2</sup> )	Kırılma Dayanımı (kg/mm <sup>2</sup> )	Kopma Kuvveti (kg)	Max Kopma Enerjisi (mm)	Kırma (N-m)
Anamur	//	0,44	0,059	0,080	3,90	7,80	0,16
	1	0,25	0,047	0,082	5,51	7,30	0,30
Antalya	//	0,29	0,056	0,079	4,48	8,00	0,18
	1	0,23	0,055	0,102	5,91	8,50	0,26
Osmaniye	//	0,31	0,048	0,061	2,95	7,25	0,13
	1	0,19	0,056	0,098	5,21	9,50	0,22
Silifke	//	0,27	0,041	0,052	3,50	5,65	0,19
	1	0,34	0,064	0,077	7,39	6,00	0,25

#### 4.2. Bazı Deney Gözlemleri

- 1) Kuvveti yerfıstığına uygulayan çubuğun çapının 8 mm olması durumunda kırılma ve çatlama hatları uçlara doğru yayılmıştır.
  - 2) Şak düzlemine paralel yüklenmede kabuk genelde ikiye ayrılmıştır.
  - 3) İç tane yük almamakta, kırma yükünün tamamını kabuk taşımaktadır.
  - 4) Düz yatay levha üzerinde yerfıstığı şak düzlemine paralel veya paralele yakın konumda kararlı dengede kalmaktadır.
- Sonuç olarak Şekil 10'dan Şekil 17'ye kadar olan eğriler ile, Çizelge 4 ve deney gözlemlerinin ışığında yerfıstığının eğilme momentleri altında içe zarar vermeden kırılabilceği anlaşılmıştır.

## 5. KIRMA DÜZENEĞİ

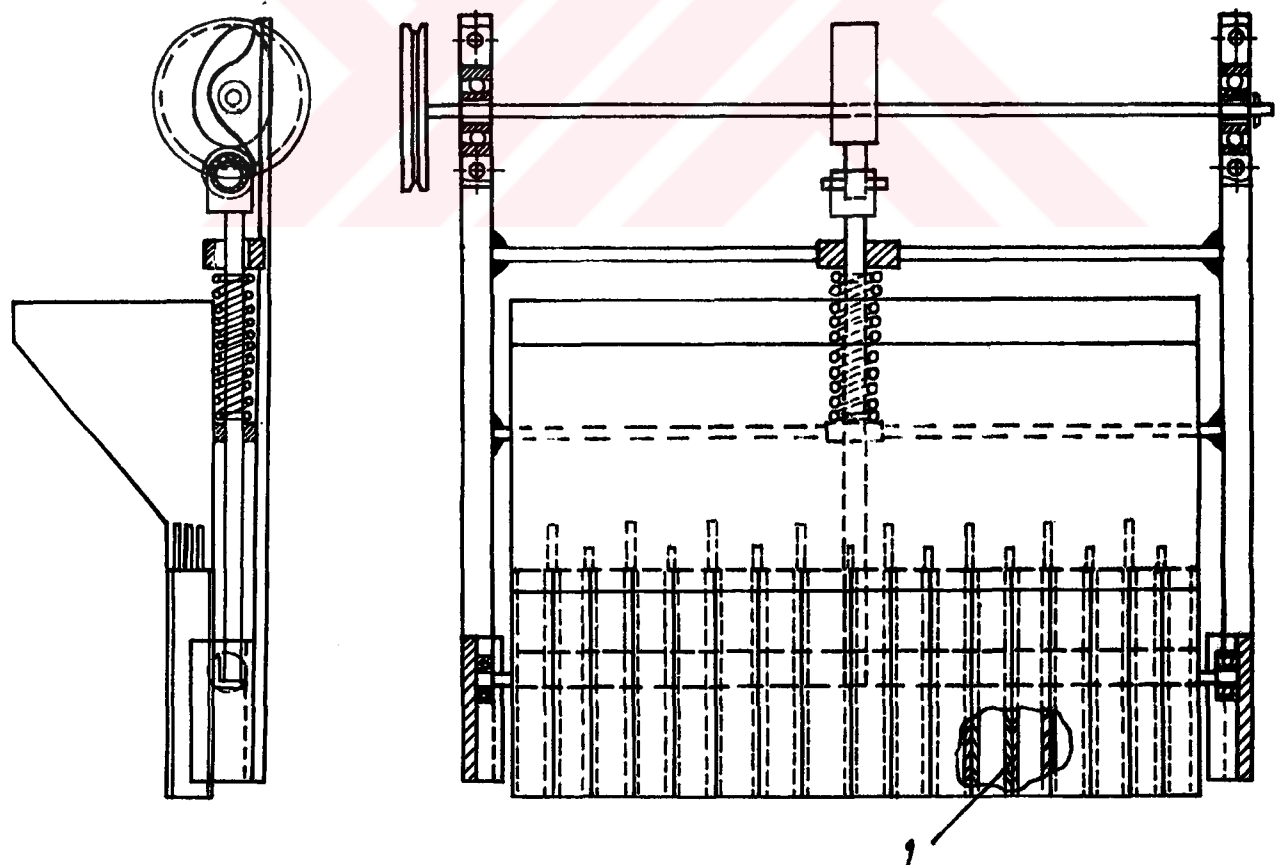
Uygulayacağı eğilme momentleriyle yerfistiklerinin kırılmasını gerçekleştiren mekanik düzenek besleyici ve kırcı olarak iki ana kısımdan oluşmaktadır, (Şekil 18). Düzenekle ilgili teknik resimler EK-IV. topluca verilmiştir.



Şekil 18. Kırma Düzeneği

### 5.1. Besleyici

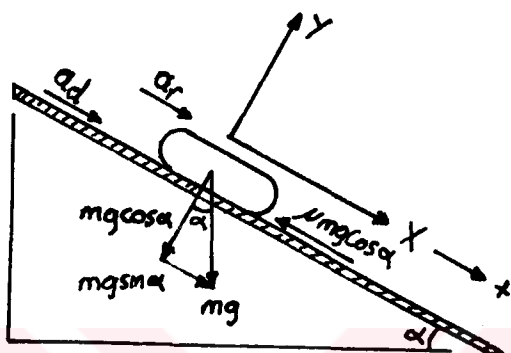
Kırıcı levhanın tasarımını yerfistiklerinin çubuklar arasındaki boşluklara uzun eksenleri boyunca gönderilmelerini gerektirmektedir. Bu gereği yerine getiren besleyici (Şekil 19), ötelemeli bir yürek mekanizmasının ivmelemdirildiği bir depo ile ona bağlı bir düzlem içinde yanyana sıralanmış borular kümесinden oluşmaktadır. Boruların iç çapı Çizelge 1'deki tüm yerfistığını türlerinin orta boy üst çap değerinin aritmetik ortalaması alınarak belirlenmiştir. Yürek mekanizmasında tahrîk milinin çevirdiği yürek adlı eğrisel yüzeyli parça (Kam) ile ona bir rulmanla sürekli degen depoya kaynaklanmış kayar çıkış uzu bulmaktadır. Deponun istenen ivme ile yerdeğiştirmeyi yapabilmesi uygun yürek profilinin seçilmesiyle olanaklıdır.



Şekil 19. Besleyici

### 5.1.1. Yürek Profili

Yürek profilinin belirlenmesi amacıyla Şekil 20'de bir tek kabuklu yerfıstığıının eğimli borular içindeki hareketini incelemiştir.



Şekil 20. Bir Tek Kabuklu Yerfıstığıının Boru İçerisinde Hareket İncelemesi

$m$  : Bir tek kabuklu fıstığın kütlesi (kg)

$a_r$  : Yerfıstığıının boruya göre bağıl ivmesi ( $\text{mm/sn}^2$ )

$a_d$  : Borunun ivmesi ( $\text{mm/sn}^2$ )

$g$  : Yerçekimi ivmesi ( $\text{mm/sn}^2$ )

$\alpha$  : Boruların yatağa göre ağım açısı ( $^\circ$ )

$\mu$  : Boru-yerfıstığı sürtünme katsayısı (-)

$\beta = \tan^{-1} \frac{1}{\mu}$

Şekil 20'de X ekseni doğrultusunda hareket denklemi yazılırsa

$$\rightarrow \sum F_x = ma \quad (5.1.)$$

yerfıstığıının boruya göre bağıl ivmesi şu olur:

$$a_r = -a_d + g (\sin \alpha - \mu \cos \alpha) \quad (5.2.)$$

Yerfıstığıının boruya göre aynı yönde artan ivmeli bir hareketi istenirse ( $a_r \geq 0$ ) boruların ivmesi için şunlar yazılabılır:

$$\frac{-g \sin (\alpha - \beta)}{\cos \beta} < a_d < \frac{g \sin (\alpha - \beta)}{\cos \beta} \quad (5.3.)$$

Levha eğiminin  $\alpha > 2\beta$  seçilmesiyle (5.3.) nolu bağıntı şu şekli alacaktır.

$$-\mu g \leq a_d \leq \mu g \quad (5.4.)$$

Buna göre yürek mekanizmasında çıkış uzunun ivmesi giriş uzunun dönmə açısına ( $\theta$ ) ya göre şöyle seçilmişdir.

$$\frac{d^2s}{dt^2} = \mu g \quad 0^\circ \leq \theta \leq 90^\circ \quad (5.5.)$$

$$\frac{d^2s}{dt^2} = -\mu g \quad 90^\circ \leq \theta \leq 270^\circ \quad (5.6.)$$

$$\frac{d^2s}{dt^2} = \mu g \quad 270^\circ \leq \theta \leq 360^\circ \quad (5.7.)$$

Diferansiyel eşitliklerde şunlar bilinmektedir:

$w$  : Yüreğin açısal hızı (rad/sn)

$t$  : Zaman (sn)

$s_0$  : Kam stroku (mm)

$$\frac{d^2s}{dt^2} = \frac{d}{dt} \left( \frac{ds}{dt} \right) \quad (5.8.)$$

$$\frac{ds}{dt} = \frac{ds}{d\theta} \cdot \frac{d\theta}{dt} \quad (5.9.)$$

$$\frac{d\theta}{dt} = w \quad (5.10.)$$

$$\theta = w \cdot t \quad (5.10.a.)$$

$$\frac{d^2s}{dt^2} = w^2 \frac{ds}{d\theta^2} \quad (5.8.a.)$$

$$\frac{d^2s}{d\theta^2} = \frac{1}{w^2} \cdot \frac{d^2s}{dt^2} \quad (5.8.b.)$$

(5.5.), (5.6.), (5.7.) bağıntıları (5.8.b.)'de konursa sırasıyla şu halleri alacaklardır.

$$\frac{d^2 s_1}{d\theta^2} = \frac{\mu g}{w^2} \quad 0^\circ \leq \theta \leq 90^\circ \quad (5.5.a.)$$

$$\frac{d^2 s_2}{d\theta^2} = -\frac{\mu g}{w^2} \quad 90^\circ \leq \theta \leq 270^\circ \quad (5.6.a.)$$

$$\frac{d^2 s_3}{d\theta^2} = -\frac{\mu g}{w^2} \quad 270^\circ \leq \theta \leq 360^\circ \quad (5.7.a.)$$

(5.5.a.)'nın ard arda iki kez integralinin alınmasıyla düzlemin ilk çeyreğindeki ( $0^\circ \leq \theta \leq \pi/2$ ) hız ve yol eşitlikleri bulunur.  $C_1$ 'ler integral sabitleri olup başlangıç şartlarından bulunacaktır.

$$\frac{ds_1}{d\theta} = \frac{\mu g}{w^2} \theta + C_1 \quad (5.5.b.)$$

$$s_1(\theta) = \frac{\mu g}{w^2} \frac{\theta^2}{2} + C_1 \theta + C_2 \quad (5.5.c.)$$

Başlangıç şartları :

$$\theta = 0 \text{ için } \frac{ds_1}{d\theta} = 0, s_1(\theta) = 0 \quad (5.5.d.)$$

olduğundan

$$C_1 = 0, C_2 = 0 \quad (5.5.e.)$$

elde edilerek (5.5.b.) ve (5.5.c.)'de yerine yazılırsa hız ve yol bağıntıları bulunur.

$$\frac{ds_1}{d\theta} = \frac{\mu g}{w^2} \theta \quad 0^\circ \leq \theta \leq 90^\circ \quad (5.5.f.)$$

$$S_1(\theta) = \frac{\mu g}{2w^2} \theta^2 \quad 0^\circ \leq \theta \leq 90^\circ \quad (5.5.g.)$$

(5.6.a.)'nın iki kez integralinin alınmasından ise yüreğin ( $\pi/2 \leq \theta \leq 3\pi/2$ ) dönme aralığındaki hız ve yol eşitlikleri bulunur.

$$\frac{dS_2}{d\theta} = \frac{-\mu g}{w^2} \theta + C_3 \quad (5.6.b.)$$

$$S_2(\theta) = \frac{-\mu g}{w^2} \frac{\theta^2}{2} + C_3 \theta + C_4 \quad (5.6.c.)$$

Başlangıç şartları:

$$\theta = \pi \text{ için } \frac{dS_2}{d\theta} = 0, \quad S_2(\theta) = S_0 \quad (5.6.d.)$$

olduğundan, integral sabitleri

$$C_3 = \frac{\mu g}{w^2} \pi, \quad C_4 = S_0 - \frac{1}{2} \frac{\mu g}{w^2} \pi^2 \quad (5.6.e.)$$

elde edilerek (5.6.b.) ve (5.6.c.) de yerine yazılıarak

$$\frac{dS_2}{d\theta} = \frac{\pi \mu g}{w^2} (1 - \theta/\pi) \quad (5.6.f.)$$

$$S_2(\theta) = \frac{\mu g \pi^2}{2w^2} (-(\theta/\pi)^2 + 2\theta/\pi + \frac{2w^2 S_0}{\mu g \pi^2} - 1) \quad (5.6.g.)$$

elde edilir.

$3\pi/2 \leq \theta \leq 2\pi$  kam dönme aralığındaki hız ve yol eşitlikleri ise (5.7.a.)'nın ard arda iki kez integralinin alınmasıyla çıkacaktır.

$$\frac{dS_3}{d\theta} = \frac{-\mu g}{w^2} \theta + C_5 \quad (5.7.b.)$$

$$S_3(\theta) = \frac{-\mu g}{w^2} \frac{\theta^2}{2} + C_5 \theta + C_6 \quad (5.7.c.)$$

Başlangıç şartları:

$$\theta = 2\pi \text{ de } \frac{ds_3}{d\theta} = 0, s_3(\theta) = 0 \quad (5.7.d.)$$

olduğundan sabitler şunlar olacaktır:

$$c_5 = \frac{-\mu g}{w^2} 2\pi, \quad c_6 = 2 - \frac{\mu g}{w^2} \pi^2 \quad (5.7.e.)$$

Sabitlerin (5.7.b.) ve 5.7.c)'de yerine yazılması ile eşitlikler şu şekilleri alacaktır.

$$\frac{ds_3}{d\theta} = \frac{\pi \mu g}{w^2} (\theta/\pi - 2) \quad (5.7.f.)$$

$$s_3(\theta) = \frac{\mu g \pi^2}{2w^2} ((\theta/\pi)^2 - 4(\theta/\pi) + 4) \quad (5.7.g.)$$

(5.5.g.) eşitliğinde  $\theta = \pi/2, 3\pi/2$ 'de  $s_1(\theta) = s_o/2$  sınır şartı yazılsa:

$$s_o = \frac{\mu g \pi^2}{4w^2} \quad (5.5.h.)$$

elde edilir. (5.5.f. ve 5.5.g.), (5.6.f. ve 5.6.g.), (5.7.f. ve 5.7.g.) eşitlikleri (5.5.h.)'ye göre ifade edilirse şunlar elde edilir.

$$\frac{ds_1}{d\theta} = 4 s_o \theta/\pi^2 \quad 0 < \theta < \pi/2 \quad (5.11.)$$

$$s_1(\theta) = 2 s_o (\theta/\pi)^2 \quad 0 < \theta < \pi/2 \quad (5.11.a.)$$

$$\frac{ds_2}{d\theta} = 4 s_o/\pi (1-\theta/\pi) \quad \pi/2 < \theta < 3\pi/2 \quad (5.12.)$$

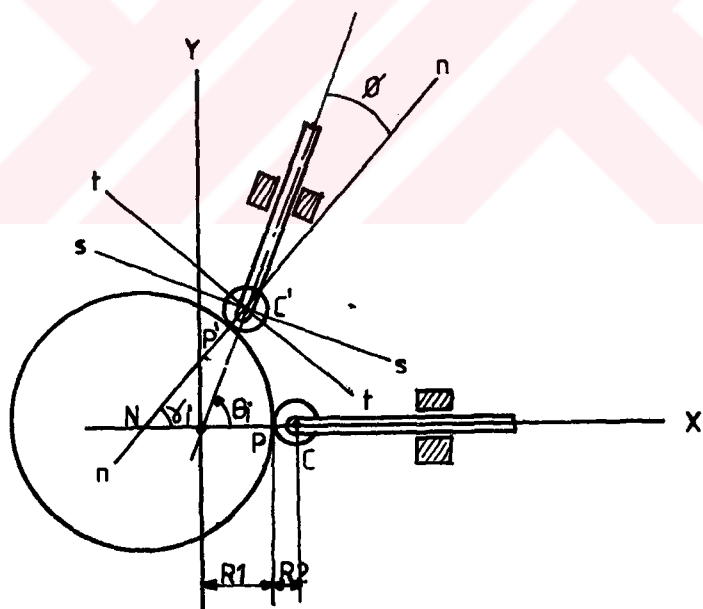
$$s_2(\theta) = s_o (-2 (\theta/\pi)^2 + 4 (\theta/\pi) - 1) \quad \pi/2 < \theta < 3\pi/2 \quad (5.12.a.)$$

$$\frac{dS_3}{d\theta} = 4 S_0 / \pi (\theta / \pi - 2) \quad 3\pi/2 < \theta < 2\pi \quad (5.13.)$$

$$S_3(\theta) = 2 S_0 ((\theta / \pi)^2 - 4 (\theta / \pi) + 4) \quad 3\pi/2 < \theta < 2\pi \quad (5.13.a.)$$

### 5.1.2. Yürek Yüzey Eğrisinin Koordinatları

Besleyici mekanizmasında yüreğin yüzey eğrisinin elde edilmesi için kinematik tersdönüştüm yardımıyla belli aralıklarla artan yürek açısına karşı gelen nokta koordinatları saptanacaktır. Bu amaçla Şekil 21.'de tersdönüştürülmüş yürek mekanizmasının saat yönünde dönen yürek için başlangıç ve yerdeğişিতmiş konumları çizilmiştir, (AKÇALI, 1984).



Şekil 21. Yuvarlanan Silindirli Ötelemelî Yürek Mekanizması.

Şekil 21.'den şu bağıntılar çıkartılır.

R1 : Yürek merkezini merkez kabul eden yürek profilinin içerişine çizilebilecek en küçük dairenin yarı çapı (mm).

R2 : Temel daire yarıçapı (rulman yarıçapı) (mm).

$r_{\theta_i}$  : Yürek ve rulman merkezleri arasındaki uzaklık (mm).

$$r_{\theta i} = R_1 + R_2 + S_n(\theta), \quad n = 1, 2, 3 \quad (5.14.)$$

$$x_{C\theta i}^1 = r_{\theta i} \cos \theta_i \quad (5.15.)$$

$$y_{C\theta i}^1 = r_{\theta i} \sin \theta_i \quad (5.16.)$$

Basınç açısı şu şekilde tanımlanmıştır, (AKÇALI, 1984).

$$\phi = \tan^{-1}\left(\frac{1}{r_{\theta i}} - \frac{ds_n(\theta)}{d\theta}\right) \quad (5.17.)$$

$P^1 C^1 = R_2$  yarı çaplı silindirin yüreğe deðdiği (P) noktasının (Yürek profili) koordinatları ise şöyle bulunur.

$$\gamma_i = \theta_i - \phi \quad (5.18.)$$

$$x_{P\theta i}^1 = x_{C\theta i}^1 - r_{\theta i} \cos \gamma_i \quad (5.19.)$$

$$y_{P\theta i}^1 = y_{C\theta i}^1 - r_{\theta i} \sin \gamma_i \quad (5.20.)$$

### 5.1.3. Fıstığın Borudan Çıkıştaki Mutlak Hızı

Boru ivmesinin (5.5.), (5.6.) ve (5.7.)'den  $\mu g$  ve  $-\mu g$  olarak belirlenmesine karşılık (5.2.) nolu eşitlikten fıstığın bağıl ivmesi sırası ile  $ar_1 = 0$ ,  $ar_2 = 2\mu g$  olur. İvme ( $ar_1, ar_2$ ) denklemlerinin her  $t^*$

$$t^* = \frac{\pi}{2w} \quad (5.21.)$$

deðerindeki dörttebir peryotlar arasında başlangıç hareket koşulları ( $t=0$  anında fıstığın boru giriş aðzinda olduğu varsayılmaktadır).

$t$  : Zaman (sn)

$S_{rl}$  : Bağıl yol (mm)

$V_{rl}$  : Bağıl Hız (mm/sn)

$$t = 0 \text{ da } S_{rl} = 0, V_{rl} = 0, \frac{d^2 S_{rl}}{dt^2} = ar_1 \quad (5.22.)$$

$$t = t^* \text{ da } s_{r2} = s_{rl}, v_{r2} = v_{rl}, \frac{d^2 s_{r2}}{dt^2} = ar_2 \quad (5.23.)$$

$$t = 2t^* \text{ da } s_{r3} = s_{r2}, v_{r3} = v_{r2}, \frac{d^2 s_{r3}}{dt^2} = ar_2 \quad (5.24.)$$

$$t = 3t^* \text{ da } s_{r4} = s_{r3}, v_{r4} = v_{r3}, \frac{d^2 s_{r4}}{dt^2} = ar_1 \quad (5.25.)$$

gözönüne alınırsa integral yoluyla kamın bir tam dönmesinde fistığın bağıl hız ve bağıl yol bağıntıları çıkartılır.

$$v_{rl} = ar_1 t \quad (5.26.)$$

$$s_{rl} = \frac{ar_1 t^2}{2} \quad (5.26.a.)$$

$$v_{r2} = ar_2 t + (ar_1 - ar_2) t^* \quad (5.27.)$$

$$s_{r2} = \frac{ar_2}{2} t^2 + (ar_1 - ar_2) t^* t - \frac{1}{2} (ar_1 - ar_2) t^{*2} \quad (5.27.a.)$$

$$v_{r4} = ar_1 t + 2(ar_2 - ar_1) t^* \quad (5.28.)$$

$$s_{r4} = \frac{ar_1}{2} t^2 + 2(ar_2 - ar_1) t^* t + 4(ar_1 - ar_2) t^{*2} \quad (5.28.a.)$$

Yerfistiklerinin besleyiciden çıkıştaki mutlak hızı ( $v_f$ ), boru hızı ( $v_d$ ) ile fistığın bağıl hızının ( $v_m, n=1,2,3,4$ ) toplamı şeklindedir. Fistığın borudan çıkışına dek geçen süreye karşı gelen yüksek açısı (5.10.a.) dan bilindiğinden bu açıyı kapsayan aralıktaki ((5.11.), (5.12.), (5.13.) eşitlikleri yardımıyla) boru hızı hesaplanır.

#### 5.1.4. Yay Tasarımı

Kayar çıkış uzvu ile kam arasındaki sürekli doğrudan değişimyi sağlayan yayın, deponun statik ağırlığı, eylemsizlik kuvveti ve kaymali kısımlardaki sürtünme kuvveti gibi üç kuvveti taşıması durumu kritik çalışma anıdır. Her bir kuvvetin en büyük değeri deponun ağırlığı ( $mg$ ) kadar olacağinden yayın karşılaması gereken en büyük kuvvet  $3(mg)$  olacaktır. Yay kuvveti ( $F$ ), yaya verilen ön sıkıştırma ( $\delta$ ) ve kam strokuya şekil değiştirmesi ( $S$ ) biliñdiğinde yay katsayısı ( $k$ ) (5.29.) bağntısından hesaplanır.

$$k = \frac{F}{(\delta + S)} \quad (\text{N/mm}) \quad (5.29.)$$

Yay malzemesi olarak çekilmiş karbon çeliği seçilerek (SHIGLEY, 1963)'de verilen tel çapı ( $d, \text{mm}$ ) emniyet gerilmesi ( $T_{em}, \text{daN/mm}^2$ ) arasında doğrusal olmayan regresyonla ilişki kurularak aşağıdaki eşitlik elde edilmiştir, (ELİŞ, 1987).

$$T_{em} = \frac{1}{12,82 \times 10^{-3} + 6,68 \times 10^{-4} d} \quad (\text{daN/mm}^2) \quad (5.30.)$$

K: Düzeltme Faktörü

D: Ortalama Sarım Çapı ( $\text{mm}$ )

T: Çalışma Gerilmesi ( $\text{daN/mm}^2$ )

v: Emniyet Katsayı

Istenen iç sarım çapı ( $D_i$ ) ve (5.30.) dan (5.35.)'e kadar olan bañntıları içeren,  $|T - T_{em}| < \varepsilon$  ( $\varepsilon$  isteþe bañlı bir fark gerilmesi) sağlanıncaya kadar değiştirilen tel çapının son değeri aranan ( $d$ ) çapıdır.

$$K = \frac{0,75}{C-1} + \frac{0,615}{C} + 1 \quad (5.31.)$$

$$C = \frac{D}{d} \quad (5.32.)$$

$$D = D_i + d \quad (5.33.)$$

$$T = K \frac{8FD}{Id^3} \quad (5.34.)$$

$$T_{em} = \frac{T}{v} \quad (5.35.)$$

Sarım sayısı ( $N$ ) ise aşağıdaki bağıntıdan bulunur.

$$N = \frac{8080d}{8 C^3 K} \quad (5.36.)$$

Yay uçlarının taşlanmış ve düzleştirilmiş olmasına göre toplam sarım sayısı ( $N + 2$ ) olmaktadır. Yayın adımı ( $P$ ) ise (5.37.) nolu eşitlikten hesaplanmaktadır.

$$P = d + \frac{30}{N} \quad (5.37.)$$

#### 5.1.5. Besleyici Güç Gereksinimi

Kam milindeki etkili torkun saptanması için Şekil 22.'de kuvvet denge denklemleri yazılrsa:

$$\rightarrow \sum F_{34}^X = F_{23}^X - \mu(N_B + N_C) - k(S_n(\theta) + \delta) - ma_d + mgsin\alpha = 0 \quad (5.38.)$$

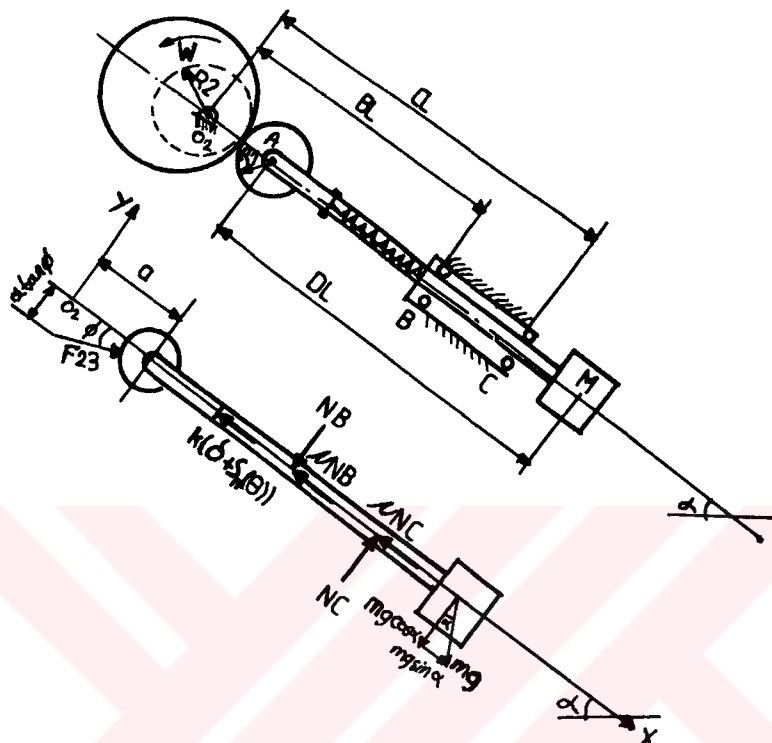
$$\uparrow \sum F_{34}^Y = F_{23}^Y - N_B - N_C - mgcos\alpha = 0 \quad (5.39.)$$

$$+\sum M_a = N_C(CL - R3) - N_B(BL - R3) - mgcos\alpha DL = 0 \quad (5.40.)$$

(5.40.) dan

$$N_C = N_B \frac{BL - R3}{CL - R3} + mgcos\alpha \frac{DL}{CL - R3} \quad (5.41.)$$

(5.39.) dan elde edilen  $N_C$  (5.41.)'de yerine konursa,  $F_{23}^Y = F_{23}^X \tan \emptyset$  olduğundan  $N_B$  şu biçimini alacaktır:



**Şekil 22. Yuvarlanma Silindirli Ötelebilgi Yürek Mekanizmasının Serbest Cisim Diyagramı.**

$$N_B = mg \cos \alpha \left( \frac{DL - CL + R3}{CL - BL} \right) + \frac{CL - R3}{CL - BL} F_{23}^x \tan \phi \quad (5.42.)$$

(5.41.) ve (5.42.) eşitlikleri (5.38.)'de kullanılırsa  $F_{23}^X$  kuvveti bilinen büyüklükler cinsinden bulunur:

$$F_{23}^x = \frac{k(s_n(\theta) + \delta) + m a_d - m g \sin \alpha + \mu \frac{m g \cos \alpha}{(CL-BL)} (2DL + 2R3 - CL - BL)}{1 + \mu \tan \phi ((BL + CL - 2R3)/(CL - BL))} \quad (5.43.)$$

Eşitlikteki üst işaret yüreğin ikinci  $180^\circ$ 'lik konumlarında geçerlidir. Kam milindeki etkili tork ( $T$ ) su olur:

$$T = R_3 F_{23}^x \tan\theta \quad (5.44.)$$

$\mu$  : Yatak mil sürtünme katsayısı

$S_{n(\theta)}$  : Yüreğin dönmesi ile oluşan x doğrultusundaki yerdeğiştirme.

$\emptyset$  : Basınç açısı

$$R_3 = R_1 + R_2 + S_{n(\theta)} \quad (5.45.)$$

Tahrik motorunun gücü ise (5.46.) eşitliğinden hesaplanmaktadır.

$W$  : Yüreğin dönmeye yaptığı

$$G_s : T \cdot W \quad (5.46.)$$

## 5.2. KIRICI

Kırıcı esas olarak eğme mometleri uygulayacak kısa çubukların belli bir modele göre dik olarak yerleştirildiği bir sabit diğerini hareketli paralel iki levhadan meydana gelmektedir, (Şekil 23). Çubuk çiftleri deneyler sırasında yapılan gözlem sonucuna göre seçilmiştir. Belli sayıdaki çubuklar levhalar üzerine yerfistığı hareket doğrultusunda ve ona dik doğrultuda aralıkla dizilmişlerdir. İki levha üst üste getirildiğinde hareketli olanın çubuk merkezleri sabit levhanın sıralı çubuklarının arasındaki boşluklarını tam orta yerine karşı gelmektedir. Çubuk yüksekliği ve yerfistığı hareket doğrultusuna dik çubuklar arası ölçülen boşluk, Çizelge 1'deki tüm yerfistığı türlerinin orta boy üst çap değerlerinin aritmetik ortalaması alınarak belirlenmiştir. Hareketli ve sabit çubuklar aynı hızaya geldiğinde aralarında oluşan mesafe, iç yerfistığına uygulanan benzer bir işlemle Çizelge 2'deki değerlerden saptanmıştır.

Kırıcı levhalar arasındaki uzaklık ve yatayla yaptıkları açı değiştirilebilecek şekilde gövdeye birleştirilmiştir. Levhalardan hareketli olanı, bir krank-biyel mekanizması yardımıyla sabit levha üzerinde ilerleyen yerfistığının hareket doğrultusuna dik doğrultuda tahrik edilmektedir. İki kırlangış yatak aracılığıyla hareketli levhanın yatay olarak kayması sağlanmıştır. Krank yarı çapı levhaya toplam, yerfistığı hareket doğrultusuna dik olarak yerleştirilen çubukların ard arda iki tanesinin merkez aralığı kadar yerdeğiştirme yaptırılacak şekilde seçilmiştir.

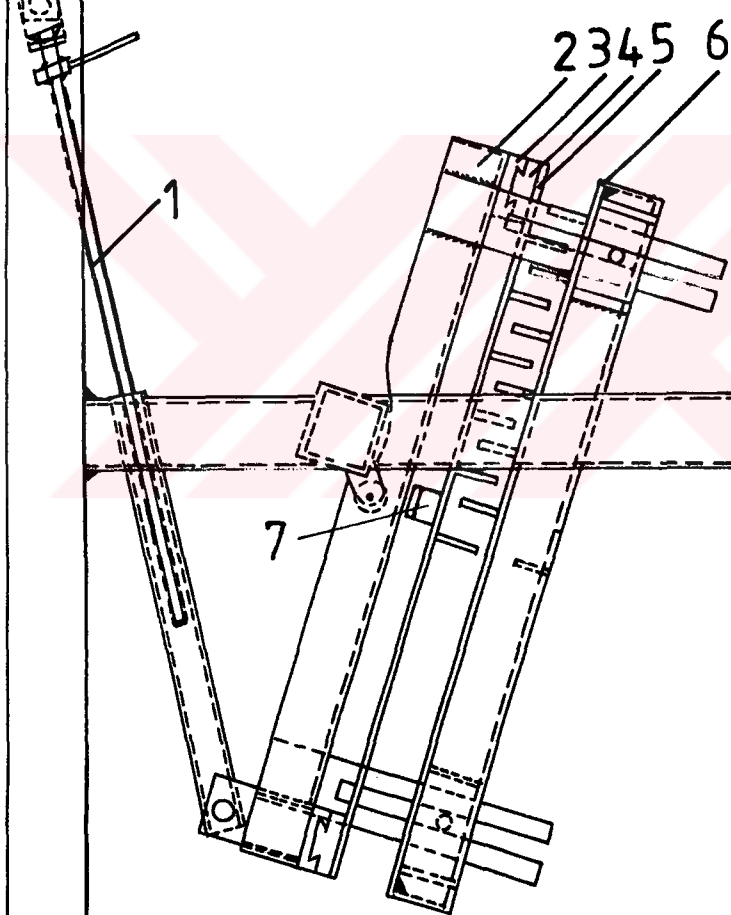
### 5.2.1. Krank Devri Hesabı

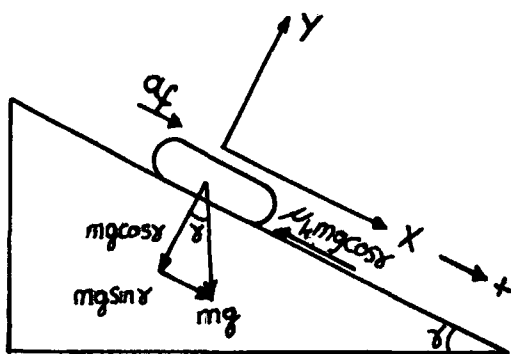
Krank devrinin kuramsal açıdan belirlenmesi amacıyla yerfistığının besleyiciden çıkışır kıriciya girdiği ilk çubuktan itibaren hareketi incelenmiştir.

**Şekil 23. Kırıcı ve Parçalarının Montajı.**

- 1) Kırıcı Plaka ayar kolu
- 2) Kırıcı çerçevesi
- 3) Dişi kırlangıç yatak
- 4) Erkek kırlangıç yatak
- 5) Üst kırıçı plaka
- 6) Alt kırıçı plaka
- 7) Biyel ve uzantısı







Şekil 24. Yerfıstiğinin Sabit Kırıcı Levha Üzerindeki Hareketi

$\gamma$  : Kırıcı Levhanın yatayla yaptığı açı ( $^{\circ}$ )

$\mu_k$  : Yerfıstiği Levha sürtünme katsayısı

m : Bir tek kabuklu yerfıstiğinin kütlesi (kg)

Şekil 24.'deki eğimli sabit levha üzerindeki yerfıstiği için x doğrultusunda hareket denklemi yazılarak

$$\sum F_x = ma_f \quad (5.47.)$$

(5.47.) den yerfıstiğinin ivmesi ( $a_f$ ) bulunur:

$$a_f = g \cos \gamma (\tan \gamma - \mu_k) \quad (5.47.a.)$$

Başlangıç koşulları yerfıstiğinin kırıcıya bir ilk hızla ( $v_f$ ) girmesine göre yazılırsa (5.47.a.)'nın iki kez integralinin alınmasından yerdeğiştirme miktarı ( $U$ ) çıkarılır:

$$U = \frac{1}{2} a_f t_f^2 + v_f t_f \quad (5.48.)$$

Yerfistığının iki çubuk arasında aldığı yol bilindiğinden  
 (5.48.) den gerekli zaman ( $t_f$ ) hesaplanır.

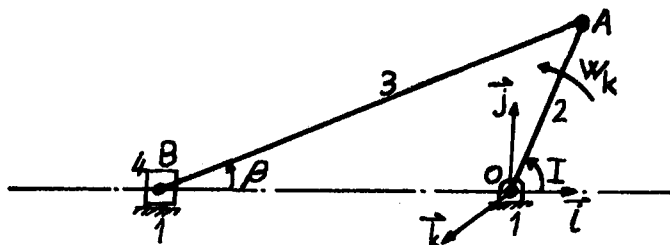
$$t_f = \frac{-2V_f + \sqrt{4V_f^2 + 8a_f U}}{2a_f} \quad (5.48.a.)$$

Krankın her dörtte bir devrine karşılık kırma yapıldığı düşünülürse krancın dönmə hızı (5.10.a.) dan şöyle bulunur:

$$w_k = \frac{\pi}{2t_f} \quad (5.49.)$$

### 5.2.2. Kırıcı Güç Gereksinimi

Bilinen kranc devrine bağlı olarak kıricı levhanın atalet kuvvetinin belirlenmesi için Şekil 25.'den kranc ile piston arasındaki vektörel hız ve ivme eşitlikleri yazılmıştır.



Şekil 25. Kranc-Biyel

OA : Kranc yarı çapı (m)

AB : Biyel uzunluğu (m)

$V_B$  : B noktasının hızı (m/sn)

$v_A$  : A noktasının hızı (m/sn)

$v_{BA}$  : B noktasının A noktasına göre hızı (m/sn)

$a_B$  : B noktasının ivmesi ( $m/sn^2$ )

$a_A$  : A noktasının ivmesi ( $m/sn^2$ )

$a_{BA}$  : B noktasının A noktasına göre ivmesi ( $m/sn^2$ )

Şekil 25.'de sinüs teoreminin kullanılmasıyla  $\beta$  bulunur.

$$\beta = \sin^{-1}(OA(\sin(I))/AB) \quad (5.50.)$$

Hız eşitlikleri şunlardır:

$$\vec{v}_B = \vec{v}_A + \vec{v}_{BA} \quad (5.51.)$$

$$\vec{v}_B = w_k \vec{k} OA + w_3 \vec{k} AB \quad (5.51.a.)$$

$$\begin{aligned} \vec{v}_B &= w_k \vec{k}(OA\cos(I) \vec{i} + OA\sin(I) \vec{j}) + w_3 \vec{k}(AB\cos(\beta) \vec{i} \\ &\quad AB\sin(\beta) \vec{j}) \end{aligned} \quad (5.51.b.)$$

4 nolu uzuv  $j$  doğrultusunda hareket etmediğinden dolayı şu geçerlidir.

$$v_B = w_k OA\cos(I) - w_3 AB\cos(\beta) = 0 \quad (5.51.c.)$$

(5.51.c.) den biyelin açısal hızı bulunur.

$$w_3 = \frac{w_k OA\cos(I)}{AB\cos(\beta)} \quad (5.51.d.)$$

İvme eşitlikleri ise şöyle ifade edilir:

$$\vec{a}_B = \vec{a}_A + \vec{a}_{BA} = \vec{a}_{An} + \vec{a}_{At} + \vec{a}_{BAn} + \vec{a}_{BAT} \quad (5.52.)$$

$n$  indisi ile gösterilen normal,  $t$  indisi ile gösterilen teğetsel ivmelerdir. (5.52.) deki ivme değerleri, (5.51.d.)'nin kullanılmasıyla şunlar olacaktır.

$$\vec{a}_{An} = (w_k \vec{k})^2 \vec{OA} \quad (5.52.a.)$$

$$\vec{a}_{At} = 0 \quad (5.52.b.)$$

$$\vec{a}_{BAn} = (w_3 \vec{k})^2 \vec{AB} \quad (5.52.c.)$$

$$\vec{a}_{BAT} = \alpha_3 \vec{k} \vec{AB} \quad (5.52.d.)$$

Son dört eşitlik ise (5.52) de yerlerine yazılarak şu şekli alacaklardır.

$$\vec{a}_B = (w_k \vec{k})^2 \vec{OA} + (w_3 \vec{k}) \vec{AB} + \alpha_3 \vec{k} \vec{AB} \quad (5.52.e.)$$

$$\vec{a}_B = (w_k \vec{k})^2 (OA\cos(\alpha)(\vec{i}) + OA\sin(\alpha)(\vec{j})) + (w_3 \vec{k})^2 (AB\cos(\beta)(-\vec{i}) + AB\sin(\beta)(-\vec{j})) + \alpha_3 \vec{k} (AB\cos(\beta)(-\vec{i}) + AB\sin(\beta)(-\vec{j})) \quad (5.52.f.)$$

$\vec{j}$  doğrultusunda ivme sıfır olduğundan:

$$a_B = -w_k O\sin(\alpha) + w_3 AB\sin(\beta) - \alpha_3 AB\cos(\beta) = 0 \quad (5.52.g.)$$

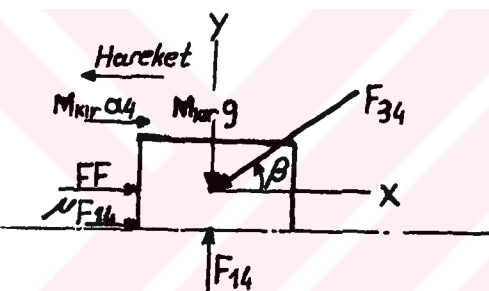
Buradan biyelin açısal ivmesi şu olur:

$$\alpha_3 = (-w_k^2 O\sin(\alpha) + w_3^2 AB\sin(\beta)) / (AB\cos(\beta)) \quad (5.52.h.)$$

(5.52.h.) nin (5.52.f.) de değerlendirilmesiyle 4 nolu uzvun doğrusal ivmesi bulunur.

$$a_4 = - \omega_k^2 M_{kir} \cos(\alpha) + \omega_3^2 AB \cos(\beta) + \alpha_3 AB \sin(\beta) \quad (5.52.i.)$$

Yataklardaki sürtünme kuvvetinin, levhanın yatayla yaptığı açıyla değişmediği varsayımla Şekil 26.'de piston (hareketli kırıcı levha) için denge denklemleri yazılarak biyel pimlerinde etkili ( $F_{34}$ ) mafsal kuvveti bulunur.



Şekil 26. Kırıcı Levhanın Hareket İncelemesi.

$M_{kir}$  : Hareketli kırıcı levhanın kütlesi (kg)

$g$  : Yerçekimi ivmesi ( $m/s^2$ )

$FF$  : Toplam fistık direnç kuvveti (N)

$F_{14}$  : Tepki kuvveti (N)

$\mu$  : Kırıcı levha-yatak sürtünme katsayısı (-)

$F_{34}$  : Biyel pimlerinde etkili mafsal kuvveti (N)

$T_k$  : Krank milinde etkili tork (N-m)

$G_k$  : Kırıcı tahrik motorunun gücü (W)

$$\sum F_x = FF + \mu F_{14} - M_{kir} a_4 - F_{34} \cos \beta = 0 \quad (5.56.)$$

$$\sum F_y = F_{14} - M_{kir} g - F_{34} \sin \beta = 0 \quad (5.57.)$$

(5.57.) den  $F_{14}$  tepki kuvveti bulunur.

$$F_{14} = M_{k\dot{r}} g + F_{34} \sin\beta \quad (5.57.a.)$$

(5.57.a) (5.56.) da yerine yazılımasıyla ve pistonun ileri gitmesinde ve geri gelmesinde kırma yapılması nedeniyle FF fistık direnç kuvvetinin işaret değiştirmesi dikkate alınırsa  $F_{34}$  mafsal kuvveti şu şekli alır:

$$F_{34} = (\mp FF \mp \mu M_{k\dot{r}} g - M_{k\dot{r}} a_4) / (\cos\beta \pm \mu \sin\beta) \quad (5.58.)$$

Verilen eşitlikte üst işaretler krank açısının ( $I$ ) yükseksden dereceden büyük olması durumunu belirtmektedir. Krank milinde etkili tork ( $T_k$ ) şudur:

$$T_k = F_{34} \sin(I-\beta) OA \quad (5.59.)$$

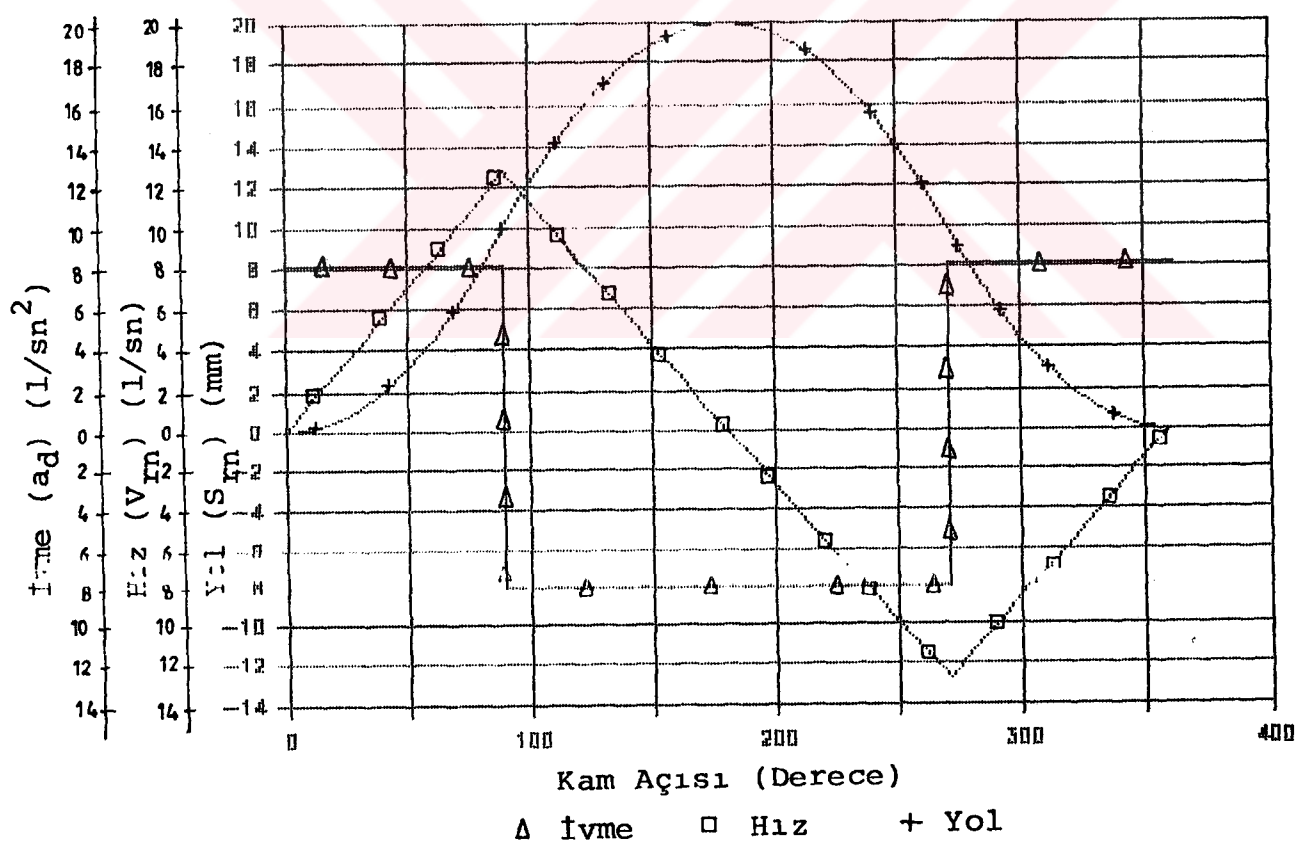
Tahrik motorunun gücü ise (5.60.) nolu eşitlikte hesaplanmaktadır.

$$G_k = T_k W_k \quad (5.60.)$$

## 6. SAYISAL SONUÇLAR VE DENEYLER

### 6.1. Besleyici Hareketi

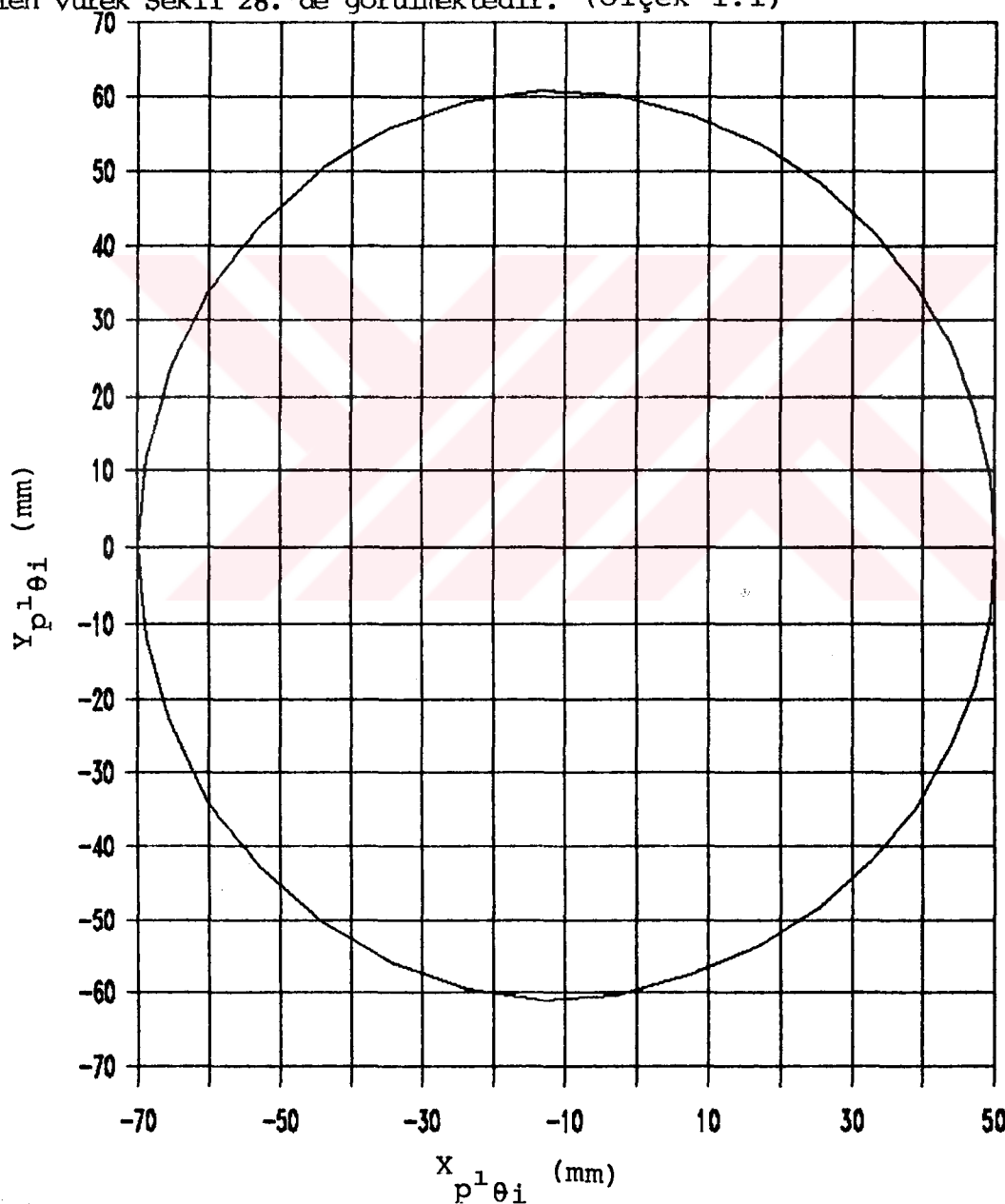
Yüreğin toplam yerdeğiştirmesi ( $S_0$ ) 20 mm, boru-yerfıstığı-sürtünme katsayısı ( $\mu$ ) 0,75 olarak saptanmış ve (5.5.h.) nolu eşitlikten yüreğin dönmeye hızı ( $W$ ) 287,70 dev/dak bulunmuştur. Buna göre besleyicinin açıya bağlı ivme (5.5.a., 5.6.a., 5.7.a.), hız ve deplasman (5.11.'den 5.13.a.'ya kadar olan) miktarlarını ifade eden eşitlikler EK-1'deki bilgisayar programı yardımıyla Şekil 27.'daki eğrilere dönüştürülmüştür.



Şekil 27. Besleyicinin ivme-Hız-Deplasman Miktarlarının Yüreğin Dönme Açısı ile Değişimi.

## 6.2. Yürek Profili

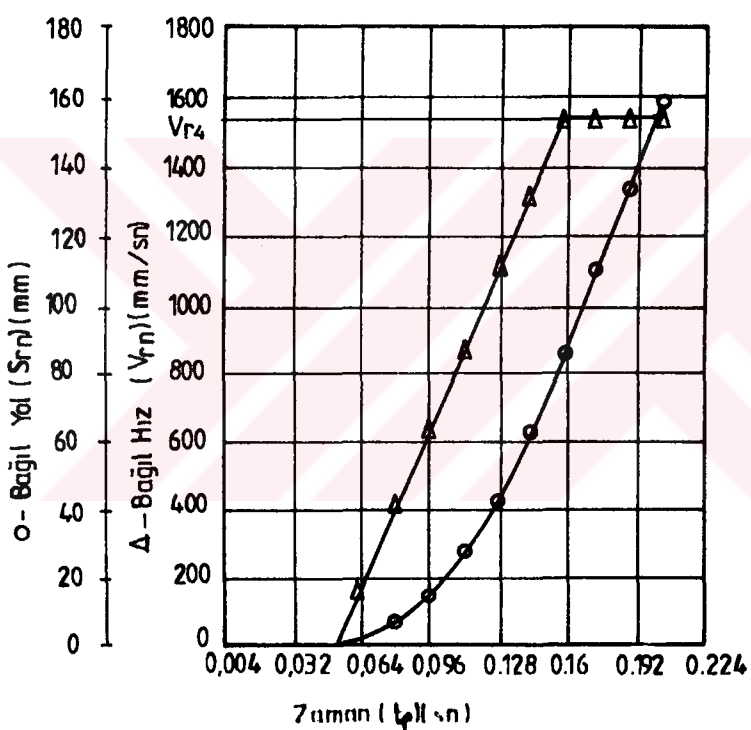
Yürek profili içeresine çizilebilecek en küçük dairenin yarı çapının ( $R_1$ ) 50 mm, rulman yarı çapının ( $R_2$ ) 7,5 mm alınmasıyla (5.14.) den (5.20.)'ye kadar olan eşitlikleri esas alan EK-1'deki program yardımıyla yürek profilinin koordinatları hesaplanmıştır. Elde edilen yürek Sekil 28.'de görülmektedir. (Ölçek 1:1)



Sekil 28. Yürek

### 6.3. Bir Tek Yerfıstığının Besleyiciden Çıkıştaki Hızı

(5.21.) nolu eşitlikten yüreğin  $90^\circ$  dönmesi için geçen zaman ( $t^*$ ) 0,052 sn bulunmuştur. Buna göre fistığın bağıl hız ( $V_{rn}$ ) ve bağıl yol ( $S_{rn}$ ) bağıntıları (5.26. dan 5.28.a.'ya kadar olan eşitlikler) Şekil 29.'deki eğrilere indirgenmiştir. Şekil 29.'den 120 mm uzunluğundaki boruyu fistığın  $t_f = 0,182$  sn'de katettiği saptanır. Bu zamana karşı gelen fistık bağıl hızı ise ( $V_{r4}$ ) 1530,36 mm/sn olur.

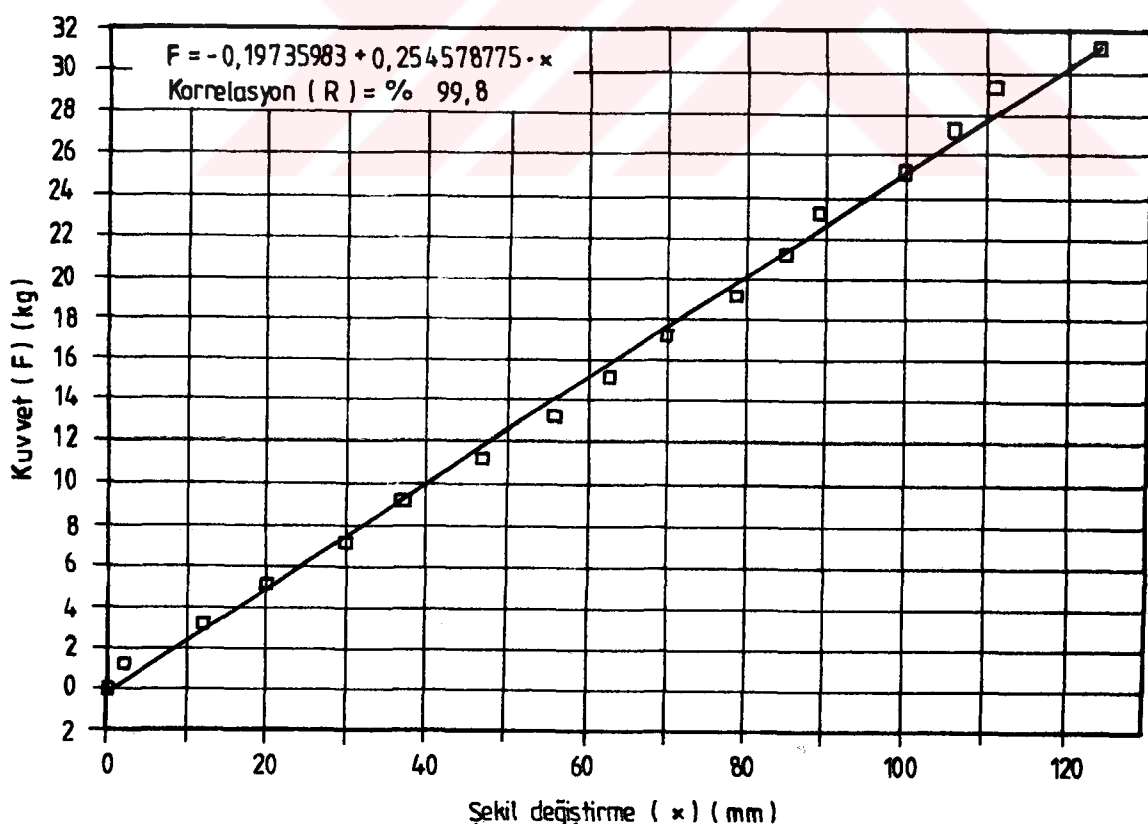


Şekil 29. Fistığın Bağıl Hızının ve Bağıl Yolunun Zamana Göre Değişimi.

(5.10.a.) nolu eşitlikten fistığın borudan çıkışına dek geçen süreye (0,182 sn) karşı gelen yürek açısı  $314,17^\circ$  bulunur. Bur açıdaki boru hızının ise Şekil 27.'dan  $-192,20$  mm/sn olduğunu çıkarılır. Fistığın mutlak hızı ise ( $V_f$ )  $1338,16$  mm/sn olarak saptanır.

#### 6.4. Yay Hesabı

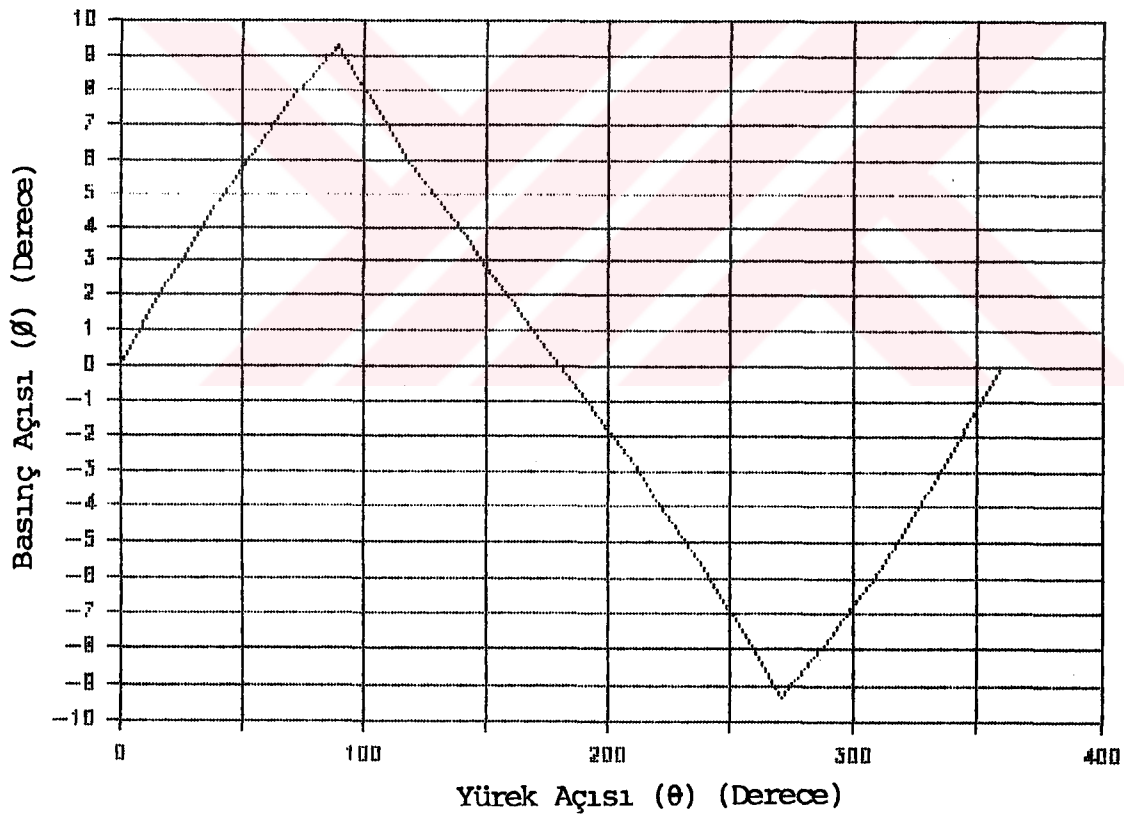
Besleyici depo ağırlığının imalattan 6 daN olmasından, yay kuvvetinin güvenli değeri 25 daN alınmıştır. Yay şekil değiştirmesi, ön sıkıştırmadan ( $\delta$ ) 10 mm olmak üzere toplam 30 mm 'dir. Buna göre (5.29.) bağıntısından yay katsayısı ( $k$ ) 0,83 daN/mm dir. İç sarım çapının ( $D_i$ ) 16 mm, çalışma gerilmesi emniyet katsayısunun ( $v$ ) 1,5 seçilmesi ve tel çapı ( $d$ ) nin başlangıç değerinin 2 mm alınmasıyla üçüncü iterasyon sonunda son değer 13,25 mm olarak hesaplanmıştır. Buradan güvenli gerilme ( $T_{em}$ )  $66,79 \text{ daN/mm}^2$ , ortalama sarım çapı ( $D$ ) 19,22 mm, etkili sarım sayısı ( $N$ ) 12, yay adımı ( $P$ ) 5mm elde edilmiştir. Kuramdan hesaplanan yayı olanaksızlıklardan ötürü imal ettirmek mümkün olmadı-ğinden şu özellikteki yay sanayi'den hazır alınarak kullanılmıştır. Yayın kuvvet-şekil değiştirmeye eğrisi Şekil 30.'da görülmektedir. Yayın diğer ölçüleri ise şunlardır;  $D_i = 25 \text{ mm}$ ,  $d = 2,5 \text{ mm}$ ,  $N = 20$ ,  $P = 10 \text{ mm}$  dir.



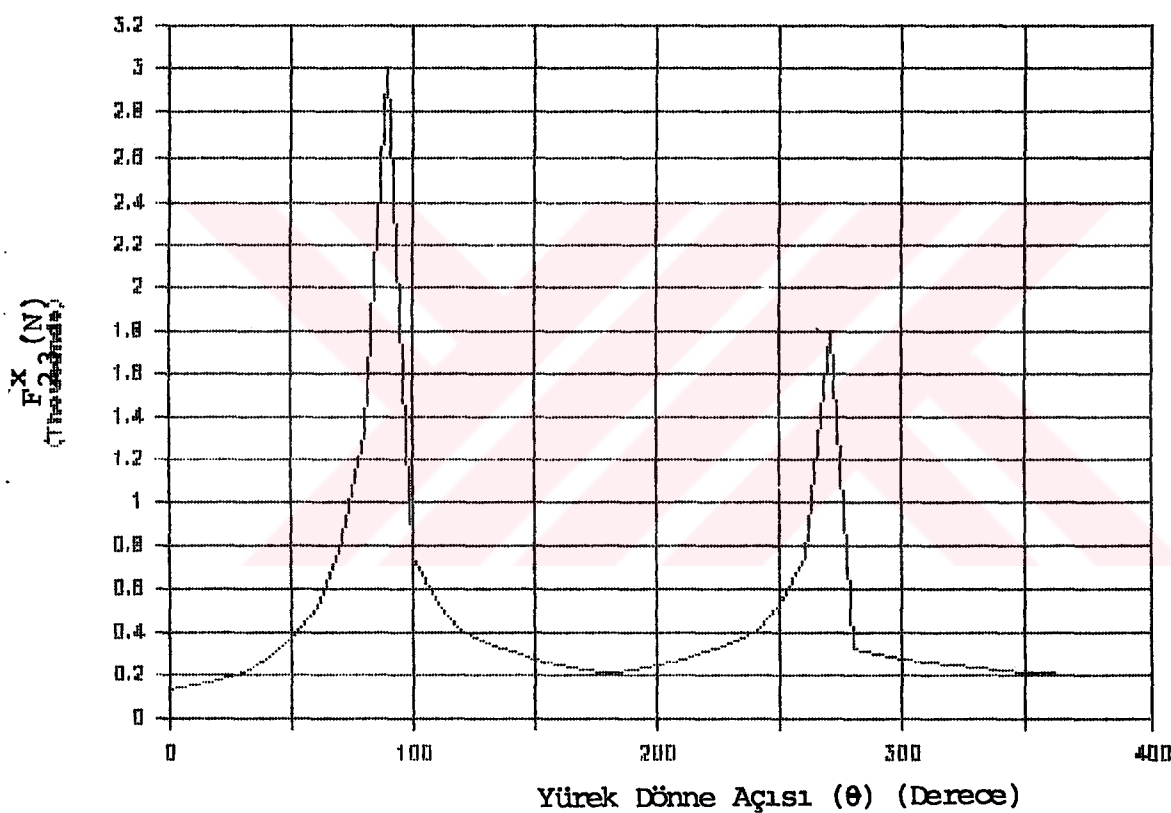
Şekil 30. Kullanılan Yayın Kuvvet-Şekil Değiştirme Eğrisi.

### 6.5. Besleyici Tahrik Motoru Gücü

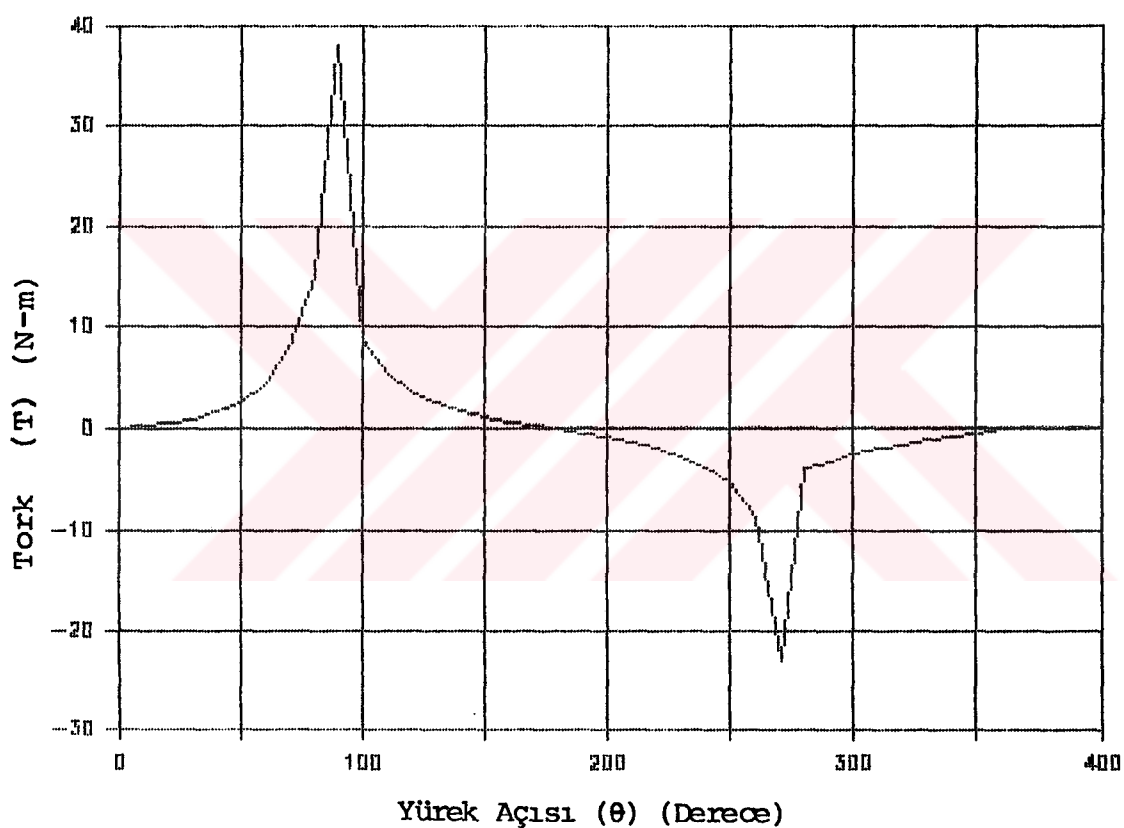
(5.17.), (5.43.) ve (5.44.) nolu eşitlikleri esas alan EK-2'deki program yardımıyla basınç açısı ( $\phi$ ) kam yüzeyi-rulman temas noktasındaki kuvvetin X doğrultusundaki değeri ve kam milindeki etkili torkun yüreğin dönmeye açısına göre değişimleri sırasıyla Şekil 31., Şekil 32., ve Şekil 33.'de verilmiştir. Buna göre (5.46.) nolu eşitlik ve Şekil 33.'de tahrik motorunun gücü 1,2 KW olmaktadır.



Şekil 31. Basınç Açısunun Yüreğin Dönmeye Açısına Göre Değişimi.



Şekil 32.  $F_{23}^X$  Kuvvetinin Yüreğin Dönme Açısına Göre Değişimi.



Şekil 33. Kam Milindeki Etkili Torkun Yüreğin Dönme Açısına Göre Değişimi.

### 6.6. Kırıcı Pimlerin Boyut ve Konumları

8 mm çapında 18,5 mm yüksekliğindeki demir çubuklar her iki levha üzerine de yerfıstığının hareketi doğrultusunda 35 mm aralıkla 6 tane ve ona dik doğrultuda 26,5 mm aralıkla 18 tane olmak üzere toplam 108 adet çubuk yerleştirilmiştir.

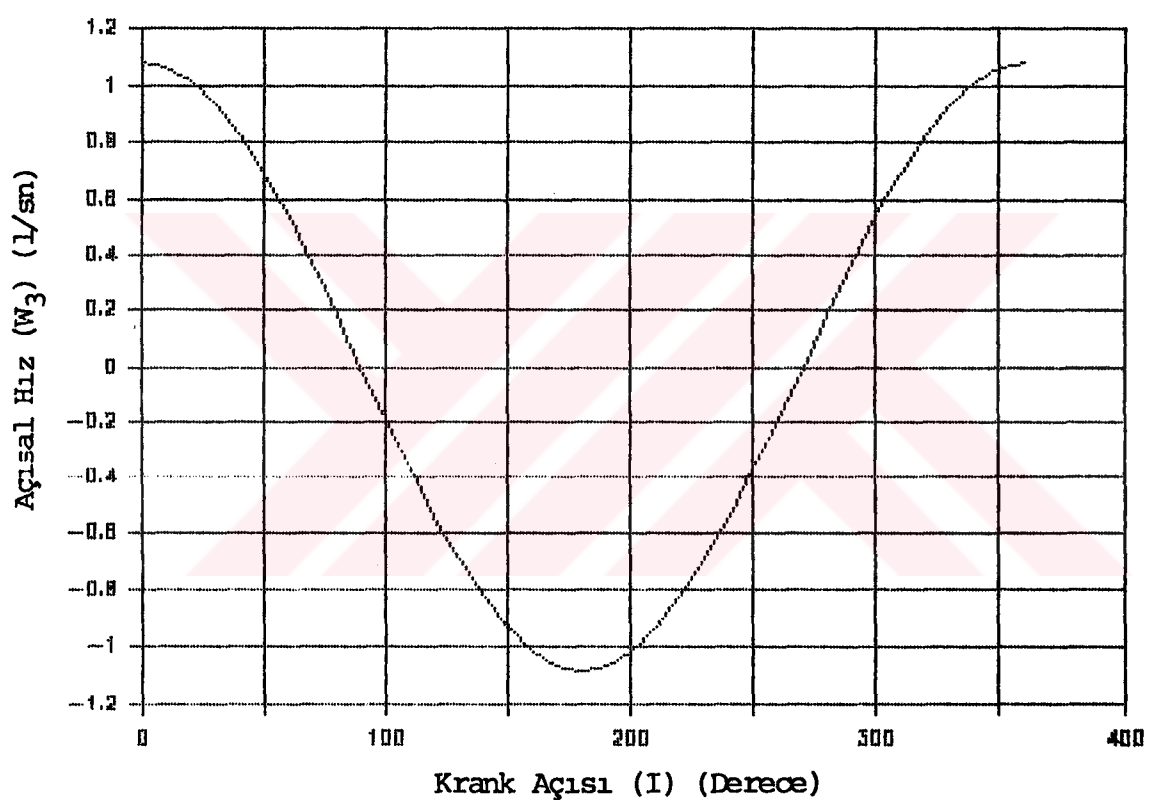
### 6.7. Krank Devri

Kırıcı levha-yerfıstığı sürtünme katsayısının ( $\mu$ ) 0,44 ve kırıcının yatayla yaptığı açının besleyici açısına eşit ( $\gamma = \alpha$ ) olması durumunda (5.47.a.) nolu eşitlikten fistığın ivmesi ( $a_f$ )  $8209 \text{ mm/s}^2$  bulunur. Çubuklar arasında hareket halindeki fistığın son çubuk aralığında ( $U = 192,5 \text{ mm}$ ) kırılması istendiğinde bu mesafenin alınması için geçen zamanın ( $t_f$ ) (5.48.a.) nolu eşitlikten 0,11 sn olduğu saptanır. Buna göre (5.49.)'dan krank devri ( $W_k$ ) 136 dev/dk bulunur.

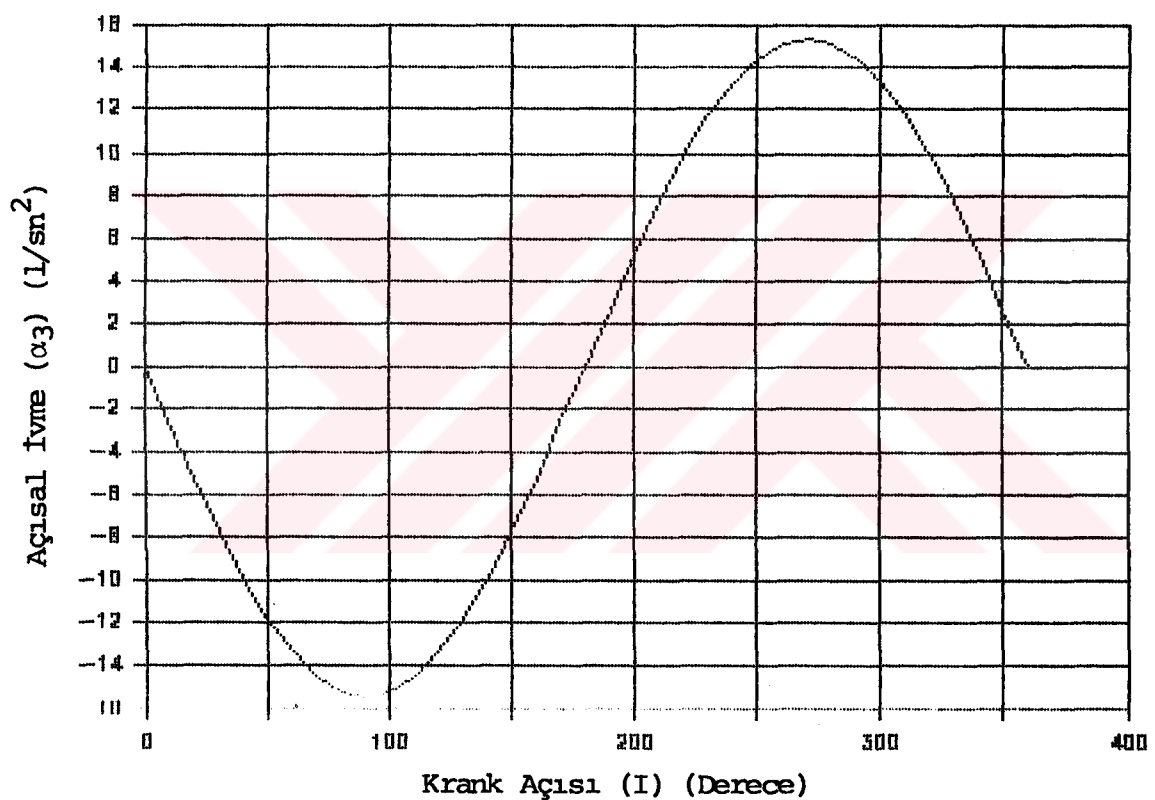
### 6.8. Kırıcı Tahrik Motoru Gücü

Krank yarı çapı (OA) 13,25 mm, biyel uzunluğu (AB) 175 mm seçildiğinden (5.51.d.), (5.52.h.) ve (5.52.i.) nolu eşitlikler EK-3 programı yardımıyla sırasıyla Şekil 34., Şekil 35. ve Şekil 36.'deki eğriler haline getirilmiştir.

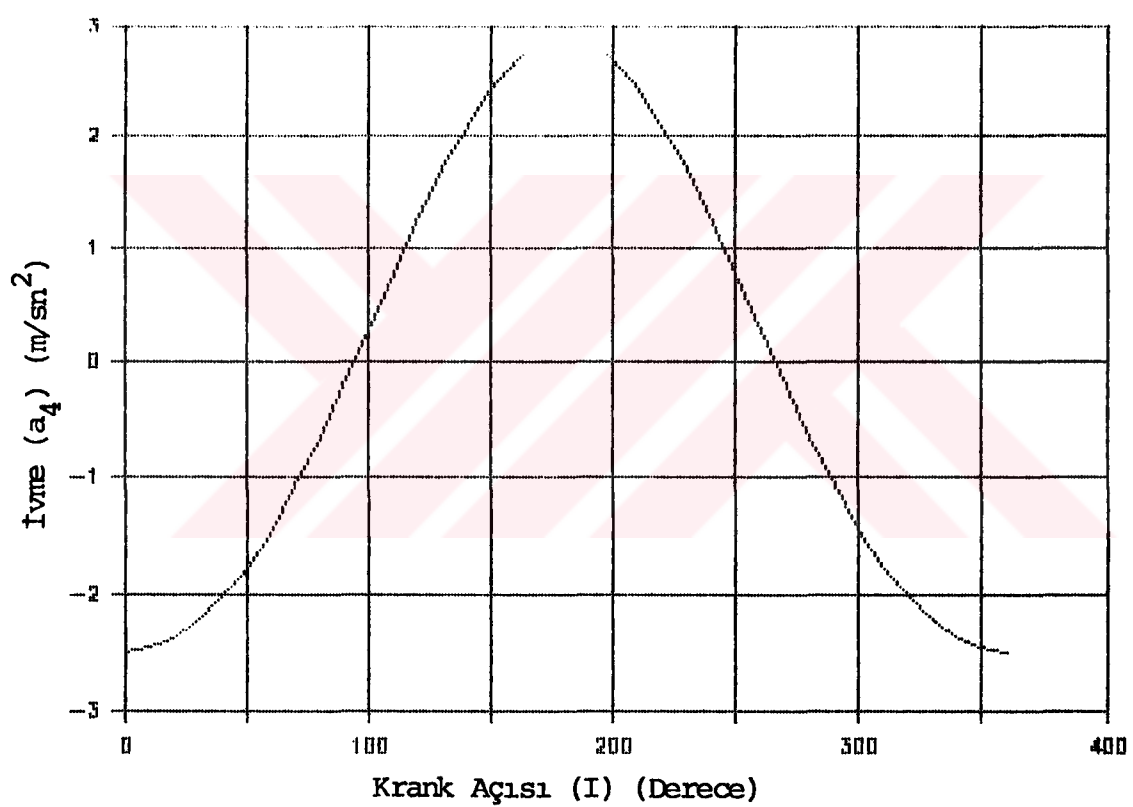
Türden bağımsız olarak bir tek kabuklu yerfıstığının kopma kuvvetinin, Çizelge 4.'deki kopma kuvveti değerlerinin aritmetik ortalaması alınarak, 4.86 kg olduğu hesaplanacaktır. Yerfıstığı hareketi doğrultusunda 17 aralıkta uzunlamasına üçer sıra fistık olmak üzere toplam 51 adet yerfıstığının kırma anında kırıcı pimler arasında olacağı kabulüyle toplam fistık direnç kuvveti (FF) 2400 N olmaktadır. Kırıcı levha-yatak sürtünme katsayısı ( $\mu$ ) 0,44, imalattan kırıcı levhanın kütlesi ( $M_{kir}$ ) 14 kg olduğundan EK-3'de verilen program yardımıyla biyel pimlerinde etkili  $F_{34}$  mafsal kuvveti (5.58. nolu eşitlik) ve krank mlindeki etkili torkun (5.59. nolu eşitlik) krankın dönmeye açısına değişimleri Şekil 37. ve Şekil 38.'de sunulmuştur.



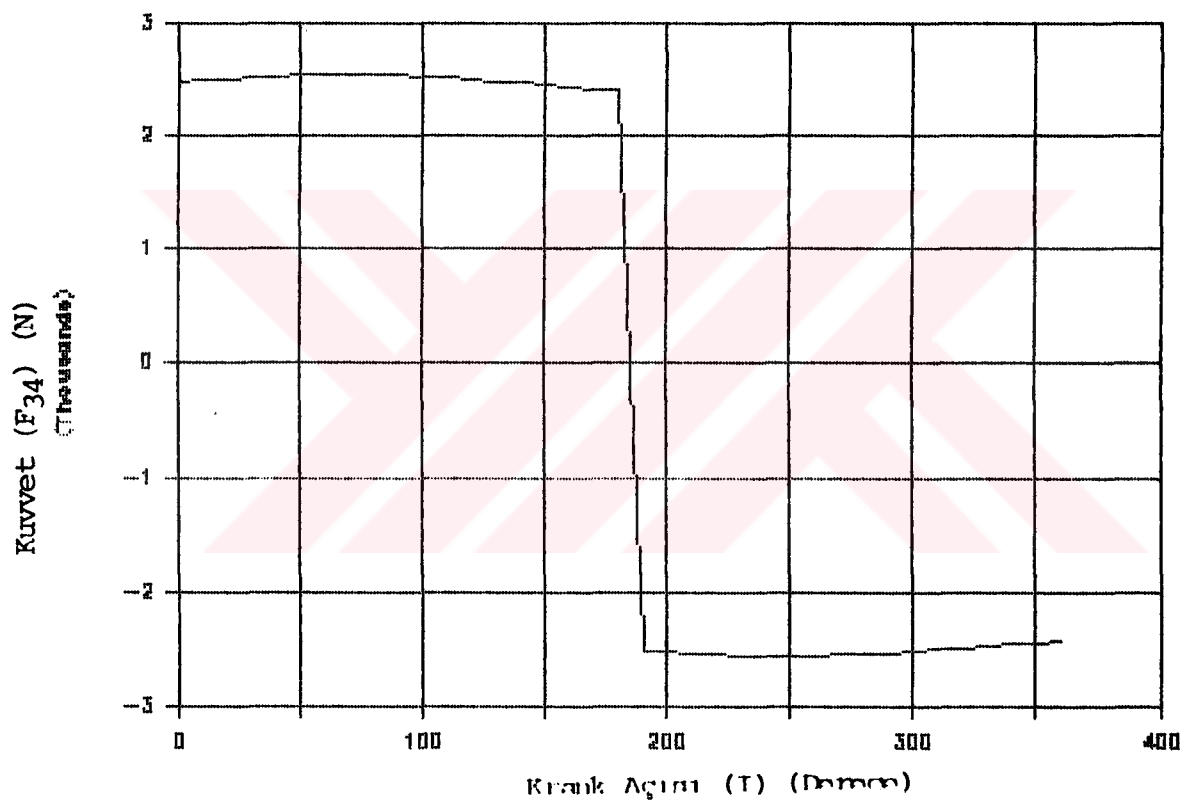
Şekil 34. Biyel Açısal Hızının Krank Açısına Göre Değişimi.



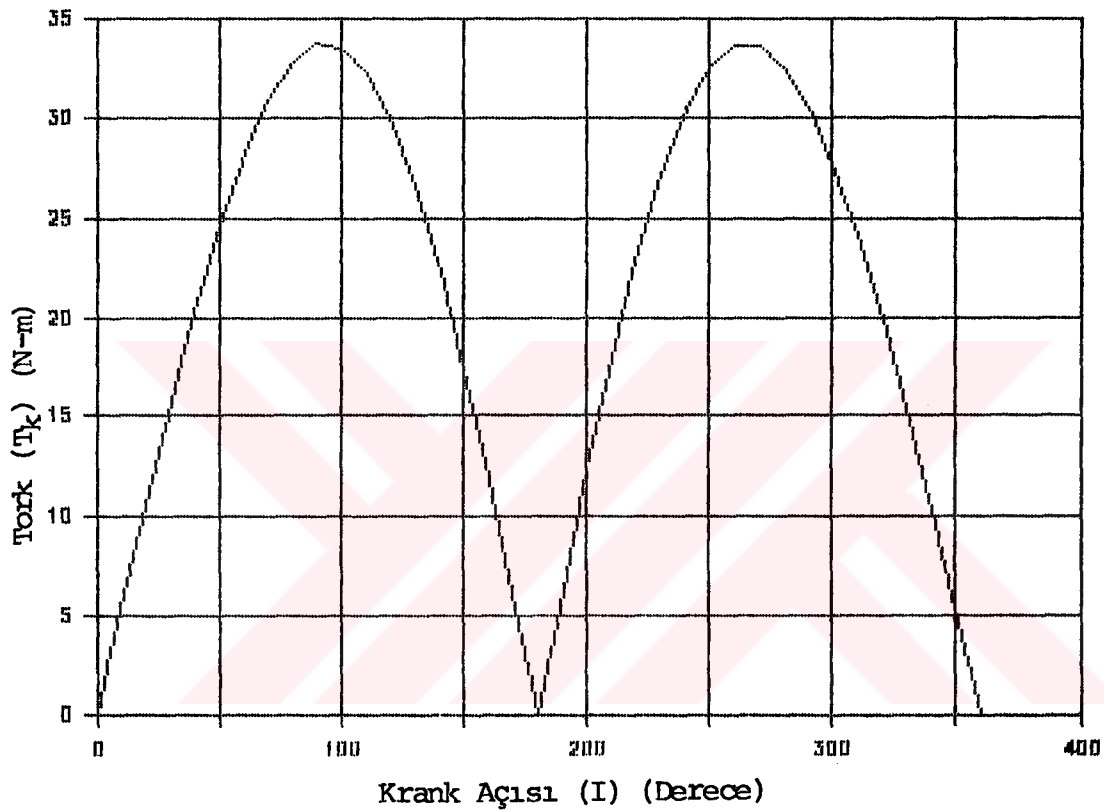
Şekil 35. Biyel Açısal İvmesinin Krank Açısına Göre Değişimi



Şekil 36. Kırıcı Levhanın İvmesinin Kranc Açısına Göre Değişimi.



**Şekil 37.** Biyel Pimlerinde Etkili Mafsal Kuvvetinin Krank Açısına Göre Değişimi.

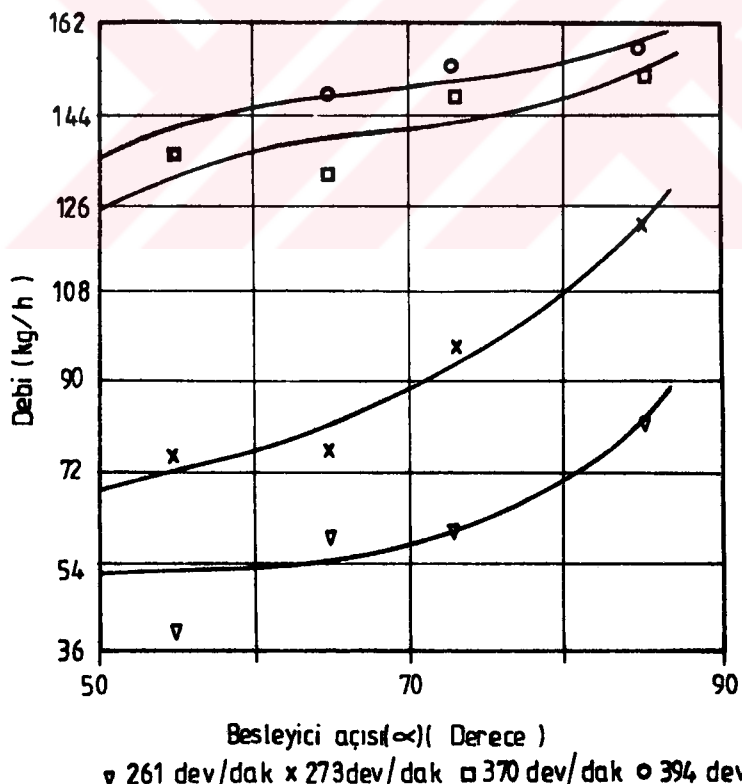


Şekil 38. Krank Milindeki Etkili Torkun Krank Açısına Göre Değişimi.

Şekil 38. ve (5.60.) nolu eşitlikten kırıcı tahrîk motorunun gücü 0,5 KW'dır.

### 6.9. Besleyici Deney Sonuçları

Besleyici'de yapılan deneylerdeki temel amaç tasarlanan sistemin besleme işlevini çeşitli ölçütlerde göre denetlemektir. Deneylerde izlenen yol şudur: 100-200-300-400-500'er gramlar halindeki sağlam yerfistikleri sırasıyla depo içeresine konulduktan sonra tahrik milinin 261-273-370-394 dev/dk'lık dönmə hızlarında, boruların yatayla yaptığı açıların  $55^{\circ}$ - $65^{\circ}$ - $73^{\circ}$ - $85^{\circ}$ 'lik değerlerinde besleme zamanı kaydedilmiştir. Her bir yerfistiği miktarında, dönmə hızında ve açıda deneyler ikişer defa tekrarlanmıştır. Bu verilerle Şekil 39.'deki eğriler oluşturulmuştur. Eğrilerden belli devirlere belli debiler karşı geldiği, tahrik milinin dönmə hızı ve boruların yatayla yaptığı açının artırılmasıyla debinin de arttığı görülecektir.



Şekil 39. Yüksek Tahrik Mili Hızlarında Besleyici Açıları Debi Değişimini.

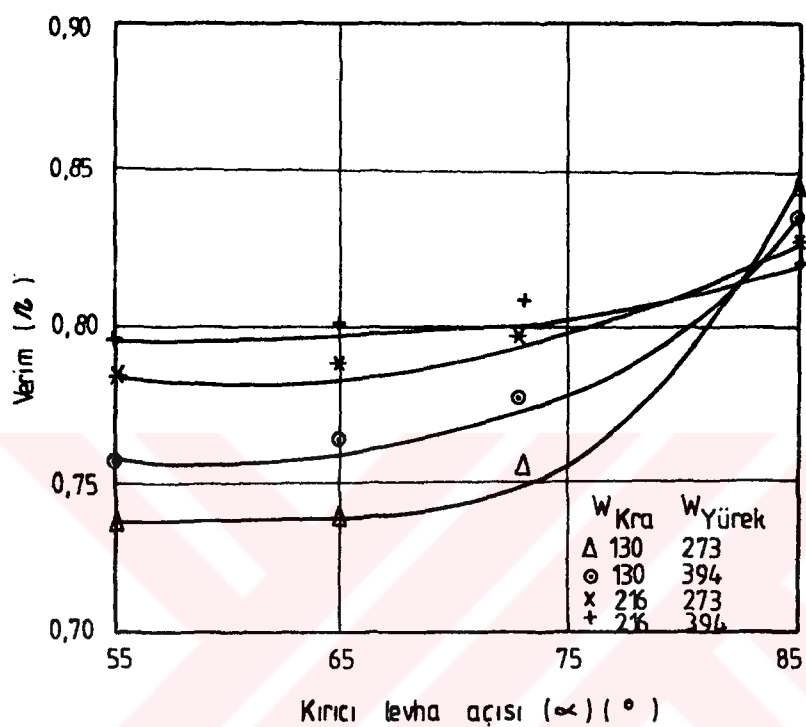
Şekil 39.'de  $\alpha = 85^\circ$  ve 394 dev/dk'da taşınabilen en büyük debi 154,8 kg/h,  $\alpha = 55^\circ$  ve 261 dev/dk'da ise en küçük debi 50,4 kg/h değerindedir.

Besleyici tahrik mili dönmeye başladığında depo içerisindeindeki yerfistikleri kütle halinde yukarıya doğru sıçramakta; sıçradıkları en üst noktadan serbest düşme yaparak uzunluğuna konumda boru içlerine girmektedirler. Borulardaki akışın sürekli olduğu ve borudan çıkan kabuk-yerfistiklerinde hasar olmadığı gözlemlenmiştir.

#### 6.10. Kırıcı Deney Sonuçları

Kırıcı deneyleri besleme deneylerindeki parametrelerle birlikte çubuk uçlarının meydana getirdiği düzlemin karşı levhadan uzaklığının 8-10-12 mm'lik değerlerinde, krankin 130 ile 216 dev/dk'lık dönmeye hızlarında yapılmıştır. Çubuk uç düzlemi-levha aralığının 12 mm olduğu zaman diğer iki değere göre zedeli iç oranının azaldığının görülmesinden ötürü kırma deneyleri bu aralık (12 mm) sabit tutularak sürdürülmüştür. Deneyler en az ikişer defa tekrarlanmıştır. Kırma sonunda elde edilen zedelenmemiş iç ağırlığının, zedeli ve zedesiz içlerin ağırlıkça toplamına oranı sistem verimi olarak tanımlanmıştır. Bu tanıma göre elde edilen verim eğrileri Şekil 40.'da topluca sunulmuştur. Bu eğrilerden kırcı levhanın yatayla yaptığı açının  $85^\circ$  olması halinde, krank devri ve yürek devrinden etkilenmeyen % 80'nin üzerinde bir kırmış verimi olduğu; kırcı levha açısının azalmasıyla verimin düşüğü görülecektir.

Deneyler sonunda kırılan yerfistikleri incelendiğinde kabuklar genelde şak düzleminden ayrılmış, kırılmış içler ise genellikle şak olmuş parçalar şeklinde görülmüştür. Ç.U., Ziraaf Fak. Tarla Bitkileri Bölümünde yaptırılan çimlenme deneyleri sonunda zedesiz tüm tanelerin % 97'sinin çimlendiği saptanmıştır.



Şekil 40. Krank ve Yürek Tahlük Mili Hızlarında Krank Açıları Verim Değişimi.

## 7. SONUÇLAR VE ÖNERİLER

### 7.1. Sonuçlar

Bu araştırmada, bölgemizde yoğun bir şekilde tarımı yapılan yerfıstığıının kırılması problemi ele alınmıştır. Yerfıstığı türleri (TS-310) ile yapılan deneylerde bazı fiziksel ve mekanik özellikleri belirlenmiş; eğilme momentleri altındaki kırılma davranışları gözlemlenmiştir. Bu ve rilerle yerfıstığını yeni bir yöntemle kıracak düzeneğin tasarımı gerçekleştirılmıştır.

İmal edilen düzenekte elde edilen sonuçlar şöyle özetlenebilir:

1. Kırıcı levhalar arası uzaklık 30.5 mm'dir.
2. Besleyici ve kırıcıyı içine alan düzlemin normali yatay doğrultu ile  $5^{\circ}$ lik dar açı yapmaktadır.
3. Tahrik mili hızları:

Yürek için, kuramsal 288 dev/dk, deneysel 273 dev/dk ;krank için, teorik 136 dev/dk, deneysel 130 dev/dk bulunmuştur.

4. İmal edilen makinanın en iyi sistem verimini veren besleme hızında işleme kapasitesi 122 kg/h'dır.

5. Elde edilen deney sonuçlarına göre ortalama verim % 84'dür.

6. Sistemden çıkan zedesiz içlerin % 97'si çimlenmiştir.

### 7.2. Öneriler

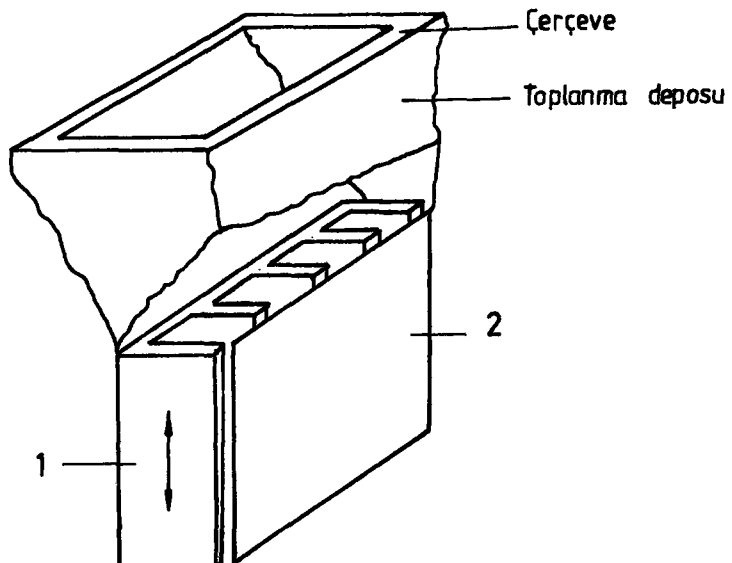
İmalatı gerçekleştirilen makina laboratuvar şartlarında yapılmıştır. Düzeneği iyileştirmek için getirilecek öneriler şöyle sıralanabilir:

1. Besleyici deposunun, içindeki yerfıstığı yiğini ile titreştilmesi yerine, anılan depo üzerine yerleştililecek debi ayarlayıcısı yardımıyla kanallar içine uzunlamasına isabet edecek yerfıstığı sayısını artırılabilir. Böylelikle birikme, yiğılma ve gecikme olmadan beslenen yerfıstıkları kırıcıya istediği bir biçimde sevk edilmiş olacaktır. Öte yandan debi ayarlayıcısının mili nin tahrik sorunu, yürek mili üzerinden kolaylıkla karşılanabilecektir.

2. Besleyici borularının daha hafif bir malzeme den (Plastik, alüminyum v.b. gibi) yapılmasıyla besleyici kütlesi azaltılmış, dolayısıyla besleyici mili tahriğinde güç gereksinimi düşürülmüş olacaktır.

3. Boru sayısının ve depo hacminin uygunca artırılmasıyla kapasite büyütülebilir.

4. Yerfıstığının çap, boy ve biçimine göre sınıflandırılması gerekmektedir. Çapına ve biçimine göre sınıflandırma yapılması, besleme borularında tıkanmaları önleyecektir. Boya göre sınıflandırma ise çubuklar arasında yerfıstıklarının mesnetlenmesini sağlayacaktır. Böyle bir sınıflandırmayı yapacak, Şekil 7.1.'de görülen, bir düzenek önerilebilir.



Şekil 7.1. Önerilen Sınıflama Düzeneği.

Burada: Üst kısmı bir çerçeve ile askıya alınmış üç yüzü kapalı, diğer yüzünün kanallara yakın kısmının bir bölümü açık (açıklık bir fistığın çapının 1,5 katı kadar) esnek malzemeden (deri, lastik v.b. gibi) yapılmış toplanma deposu; belli miktarlarda içine dökülen yerfistiklerin sınırlı hacim içinde kalmalarını sağlamaktadır. Bu hacim içerişine giren yerfistiklerinden kanal kesitine (Kanal kesiti istenilen fistık çapı kadar) uyan ve kanallara isabet edenler oluklardan geçerek aşağıya dökülecektir. Kanalların girişinde kalan yerfistikleri ise hareketli levhanın (1 numaralı parça) aşağıya hareketinde çap denetimine uğrayacak; uygun çapta değilse bu levhanın yukarı hareketinde dışarı atılacaktır. Bir ve iki numaralı parça saç malzemelerden olup hareketli parça yürek (kam) veya krank-biyel mekanizması aracılığıyla titreştitirilebilir. Toplam yerdeğiştirme ve kanalların uzunluğu ortalama bir fistık boyu kadar alınabilir.

## ÖZET

Türkiye yerfıstığı üretiminin tamamına yakını Akdeniz Bölgesinde, Adana, İçel, Hatay ve Antalya İl veya ilçelerinde yapılmaktadır. İşlenmiş ve ham yerfıstığı ürünler arasında gözlenen açık fiyat farkı, bu ürünün ekonomik bakımdan değerlendirilmesinde teknoloji girdisinin önemini işaret etmektedir. Hasat edilmiş yerfıstığını tohumluk, çerezlik ve yağlık gibi çeşitli biçimlerde kullanabilmek onun uygun bir şekilde kırılmasını gerektirir. Bu gerek en hızlı kırma makinalarıyla yerine getirilebilir.

Yerfıstığı kırma makinaları üzerine litaratür taraması yapılmış ulaşılan kaynaklardan hiçbirinde iki ucundan eğilme momentleri uygulanmasıyla kırılmasını gerçekleştiren bir düzeneğe rastlanmamıştır.

Bu çalışmada temizlenmiş ve sınıflandırılmış yerfistiklerini yeni bir yöntemle kırın bir düzeneğin tasarlanması amaçlanmıştır. Bu amaçla öncə boyut sınıflaması yapılmış 'TS-310 'da yer alan Anamur, Antalya, Osmaniye, Silifke türü yerfistiklerinin küme içerisinde en sık karşılaşılan orta boy yerfıstığı ömekleri üzerinde eğilme deneyleri yapılarak kırılma davranışları gözlenmiş ve bazı mekanik Özellikleri saptanmıştır. Sonra deney verileriyle çizilen kuvvet-şekil değiştirmeye eğrileri ve deney sırasındaki gözlemlerin ışığı altında yerfistiklerinin ortasından yada uçlarından etkili eğilme momentleriyle kırılabilceğinin belirlenmiştir.

Bu esasa göre kırma işlemini gerçekleştirecek düzenek besleyici ve kırıcı olmak üzere iki ana parça şeklinde tasarlanmıştır. Besleyici bir yürek-yay mekanizması aracılığıyla titreşтирilen bir depo ve ona kaynaklı bir düzlem içinde yanyana sıralanmış borular kümesinden oluşmaktadır. Besleyicinin görevi yerfistiklerini uzun eksenleri boyunca kırıcı levhalar üzerindeki çubuklar arasına sevkettirmektir.

Yürek profiliinin belirlenmesi amacıyla ivmeli eğik düzlem üzerinde yerfıstığının hareketi incelemiştir. Yay tasarımını yapılmış; besleyici tahrik mili güç gereksinimi hesaplanmıştır .

Besleyici borularından çıkan fistığın hareketi sabit eğik levha üzerinde incelenerek krank devri belirlenmiştir. Bilinen krank devrine bağlı olarak krank mili tahrik motorunun gücü hesaplanmıştır.

Düzenek üzerinde çeşitli parametrelere göre besleme ve kırmış deneyleri yapılmış, kırmış veriminin yüksek olduğu değerler şöyle bulunmaktadır: Besleyici-Kırıcı yataya göre  $85^{\circ}$ 'lik konumda, levhalar arası uzaklık  $30,5 \text{ mm}$ 'deki besleyici ve kıracı tahrik milleri sırasıyla  $273 \text{ dev/dk}$  ve  $130 \text{ dev/dk}$ 'lik hızlarda dönmektedir.

Kırmış sonunda elde edilen zedesiz içler çimlenme deneylerine tabi tutularak zedesiz tüm tanelerin % 97'sinin çimlendiği saptanmıştır. Bu sistemin diğer sistemlere göre iyi yanı çıkan içlerin tohumluk olarak kullanılabilir olmasıdır. Sistemin iyileştirme bekleyen yanları debinin düşük oluşu ve yerfistiği sınıflandırmasının sisteme girmeden önce özenle yapılması şeklindedir.

## SUMMARY

Most of the Peanut production of Turkey comes from its Mediterranean region, especially from Adana, İçel, Hatay and Antalya provinces. An apparent price difference observed between the raw and processed peanuts points to the significance of the technological input in the economical evaluation of this product. In order to use harvested peanuts in the forms of seed, oil and simple eating, it is necessary that it be shelled. This necessity is fulfilled most rapidly through shelling machinery.

References on peanut shelling machinery have been reviewed and this literature survey has shown that no machinery, realizing shelling by applying bending moments at ends are existent.

In this study, the basic aim has been to find a machine which is capable of shelling the classified and cleaned peanuts by means of a new method. To serve the purpose of the study, bending experiments have been carried out with the most frequently encountered medium-size peanut samples out of Anamur, Antalya, Osmaniye, Silifke types, which are contained in Turkish Standards No: 310 (TS-310) and their fracture behaviours have been observed, determining at the same time some important physical and mechanical properties. By means of load v.s. deformation curves drawn and under the light of experiment observations it has been understood that peanut can be shelled through bending moments applied at ends or in the middle.

The unit to operate under the aforementioned principle has been designed to comprise mainly of two Parts: a feeder and a sheller. Feeder consists of a number of pipes welded together to form a plane and of a box driven by a cam mechanism. The task of the feeder is to channel peanuts along their long axes to the sheller through the pipes. Sheller, on the other hand, has two parallel plates on which round bars have been placed according to a certain model. One of the plates is fixed while the other is moved by a slider-crank mechanism.

In order to determine cam profile, peanut motion on the

accelerated slope has been analyzed. Required spring of the cam mechanism has been designed and the power requirement of the feeder drive has been calculated.

The crank revolution has been determined by investigating the motion of the peanuts, discharged out of the pipes, on the constantly inclined plate. The power of the motor needed to drive the crank was computed with the knowledge of the crank revolution.

Miscellaneous feeding and shelling tests have been performed on the set-up by varying several relevant parameters, and the valves leading to high shelling efficiencies have been found as such: the feeder-sheller units being at an inclination of 85° with respect to the horizontal, their respective drive shafts are to rotate at 273 rpm and 130 rpm, while the distance between the plates is 30-5 mm.

After the completion of the shelling procedure, all the undamaged kernels have been tested for germination and 97% of them have been observed to sprout: Therefore a major advantage of this system over the others is that shelled peanuts can be used as seedling. What are to be improved concerning the system, are that peanut feed rate is low and that relevant classification is to be done with care before the entrance of the peanuts into the system.

```
OPEN(6,FILE='KAOUT',FORM='FORMATTED',STATUS='NEW ')
Bu Program Besleyicinin Ivme(AD), Hız(V1), Deplasman(ST) Değerlerini
ve Yürek Profilinin Koordinatlarını(XP,YP) Hesaplar.
R1: Yürek Merkezini Merkez Kabul Eden ve Yürek Profili İçerisine
Çizilebilecek En Büyük Dairenin Yarıçapı (mm)
R2: Yuvarlanma Silindiri(Rulman) Yarıçapı (mm)
SO: Kam Stroku (mm)
I : Yüregin Dönme Açısı
AD: (mm/rad*rad)
V1: (mm/rad)
ST: (mm)
XC: Rulman Merkezinin X Koordinatı (mm)
YC: Rulman Merkezinin Y Koordinatı (mm)
FI: Basınç Açısı
R1=50.
R2=17.5
SO=20.
PI=3.1415927
DO 130 I=0,360,10
T=I*PI/180.
IF(I.GT.90) GO TO 10
AD=4.*SO/(PI*PI)
ST=2.*SO*(T/PI)**2
V1=4.*SO*T/(PI*PI)
GO TO 40
10 IF(I.GT.270) GO TO 20
AD =-4.*SO/(PI*PI)
ST=SO*(-2.*((T/PI)**2+4.*T/PI-1.))
V1=4.*SO/PI*(1.-T/PI)
GO TO 40
20 AD=4.*SO/(PI*PI)
ST=2.*SO*((T/PI)**2-4.*T/PI+4.)
V1=4.*SO/PI*(T/PI-2.)
40 R3=R1+ST+R2
XC=R3*COS(T)
YC=R3*SIN(T)
PC=SQRT(XC*XC+YC*YC)
FI=ATAN(V1/R3)*180./PI
GA=(I-FI)*PI/180.
XP=XC-R2*COS(GA)
YP=YD-R2*SIN(GA)
CA=SQRT(XP*XP+YP*YP)
WRITE(6,12) I,AD,ST,V1,XP,YP,CA
12 FORMAT(I3,2X,6(F7.3,2X))
30 CONTINUE
END
```

```

OPEN(6,FILE='KKOUT',FORM='FORMATTED',STATUS='NEW ')
Bu Program Kam Yüzeyi-Rulman Temas Noktasındaki Kuvvetin
X Eksenin Dogrultusundaki Değeri(F23X), Basınç Açısı(FI) ve
Kam Milindeki Etkili Torku(T) Hesaplar.
EM: Besleyicinin Kütlesi (kg)
GE: Yerçekimi İvmesi (m/sn*sn)
U1: Yatak-Mil Sürtünme Katsayısı
K : Yay Katsayısı (N/m)
OS: Yaya Verilen Ön Sıkıştırma (m)
AI: Besleyici Borularının Çizgisel İvmesi (m/sn*sn)
FI: (o)
F23X: (N)
T : (N-m)
Verilen Diğer Büyüklükler MKS Birim Sistemindedir.
EM=6.
GE=9.81
U1=0.47
DL=0.405
R1=0.05
PI=3.1415927
R2=0.0175
K=8300.
S0=0.02
R4=R1+R2
OS=0.01
DO 200 JJ=55,85,10
J=JJ
IF (JJ.EQ.75) J=73
YA=J*PI/180.
DO 500 I=0,360,10
TE=I*PI/180.
IF (I.GT.90) GO TO 5
AI=7.3575
V1=4.*S0*TE/(PI*PI)
ST=2.*S0*(TE/PI)**2
TFI=V1/(R4+ST)
FI=ATAN(TFI)*180./PI
BL=R4+ST+0.22
CL=BL+0.04
GO TO 14
5 IF(I.GT.180) GO TO 6
AI=-7.3575
V1=4.*S0/PI*(1.-TE/PI)
ST=S0*(-2.*TE/PI)**2+4.*TE/PI-1.)
TFI=V1/(R4+ST)
FI=ATAN(TFI)*180./PI
BL=R4+ST+0.22
CL=BL+0.04
GO TO 14
6 IF(I.GT.270) GO TO 7
AI=-7.3575
V1=4.*S0/PI*(1.-TE/PI)

```

```
ST=SO*(-2.*(TE/PI)**2+4.*TE/PI-1.)
TFI=V1/(R4+ST)
FI=ATAN(TFI)*180./PI
BL=R4+ST+0.22
CL=BL+0.04
GO TO 16
7 AI=7.3575
V1=4.*SO/PI*(TE/PI-2.)
ST=2.*SO*((TE/PI)**2-4.*TE/PI+4.)
TFI=V1/(R4+ST)
FI=ATAN(TFI)*180./PI
BL=R4+ST+0.02
CL=BL+0.04
GO TO 16
14 F23X=(K*(OS+ST)+EM*AI-EM*GE*SIN(YA)+U1*EM*GE*COS(YA)*(2.*DL+2.*  
&(R4+ST)-CL-BL)/(CL-BL))/(1+U1*TFI*((BL+CL-2.*(R4+ST))/(CL-BL)))
GO TO 20
16 F23X=(K*(OS+ST)+EM*AI-EM*GE*SIN(YA)+U1*EM*GE*COS(YA)*(2.*DL+2.*  
&(R4+ST)-CL-BL)/(CL-BL))/(1+U1*TFI*((BL+CL-2.*(R4+ST))/(CL-BL)))
20 T=(R4+ST)*F23X*TFI
WRITE (6,30) J,I,FI,F23X,T
30 FORMAT (I3,2X,I3,2X,3(F11.4))
500 CONTINUE
200 CONTINUE
STOP
END
```

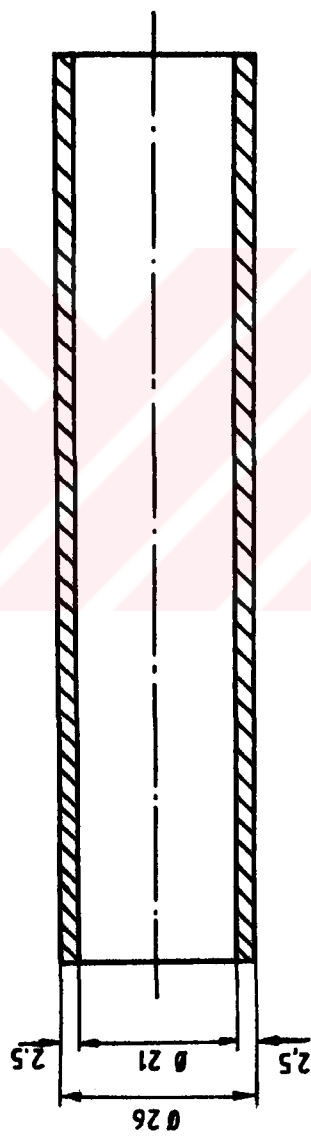
```

OPEN(6,FILE='K10UT',FORM='FORMATTED',STATUS='NEW ')
Bu Program Krank-Biyel ikilisinde Biyelin Açısal Hızını(w3),
Açısal İvmesini(BAI), Dört Nolu Uzvun Dogrusal İvmesini(A4),
Biyel Pimlerinde Etkili Mafsal Kuvvetini(F34) ve Krank Milinde
Etkili Tork'un(TK), Krankin Her On Derece Dönmesindeki Değişimini
Hesaplar.

MKIR : Hareketli Kirici Levhanın Kütlesi (Kg)
WK : Krankin Açısal Hizi (rad/sn)
U3 : Kirici Levha-Yatak Sürtünme Katsayısı (-)
OA : Krank Yarı Capi (m)
AB : Biyel Uzunluğu (m)
FF : Toplam Fistik Direnç Kuvveti (N)
GE : Yer Çekimi İvmesi (m/sn*sn)
I : Krankin Dönme Açısı (o)
EMKIR=14.
GE=9.81
U3=0.44
AB=0.175
OA=0.01325
PI=3.1415927
FF=2400.
WK=14.242
DO 500 I=0,360,10
TE=I*PI/180.
BE=ASIN(OA*SIN(TE)/AB)
W3=WK*OA*COS(TE)/(AB*COS(BE))
BAI=(-WK**2*OA*SIN(TE)+W3**2*AB*SIN(BE))/(AB*COS(BE))
A4=-WK**2*OA*COS(TE)+W3**2*AB*COS(BE)+BAI*AB*SIN(BE)
IF(I.GT.180) GO TO 250
F34=(-EMKIR*A4+FF+U3*EMKIR*GE)/(COS(BE)-U3*SIN(BE))
YUK=SIN(TE-BE)*OA
TK=F34*YUK
GO TO 450
250 F34=(-EMKIR*A4-FF-U3*EMKIR*GE)/(COS(BE)+U3*SIN(BE))
YUK=-SIN(TE-BE)*OA
TK=-F34*YUK
450 WRITE (6,20) I,W3,BAI,A4,F34,TK
20 FORMAT (I3,2X,5(F12.3))
500 CONTINUE
STOP
END

```

**EK-IV. DÜZENEKLE İLGİLİ TEKNİK RESİMLER**

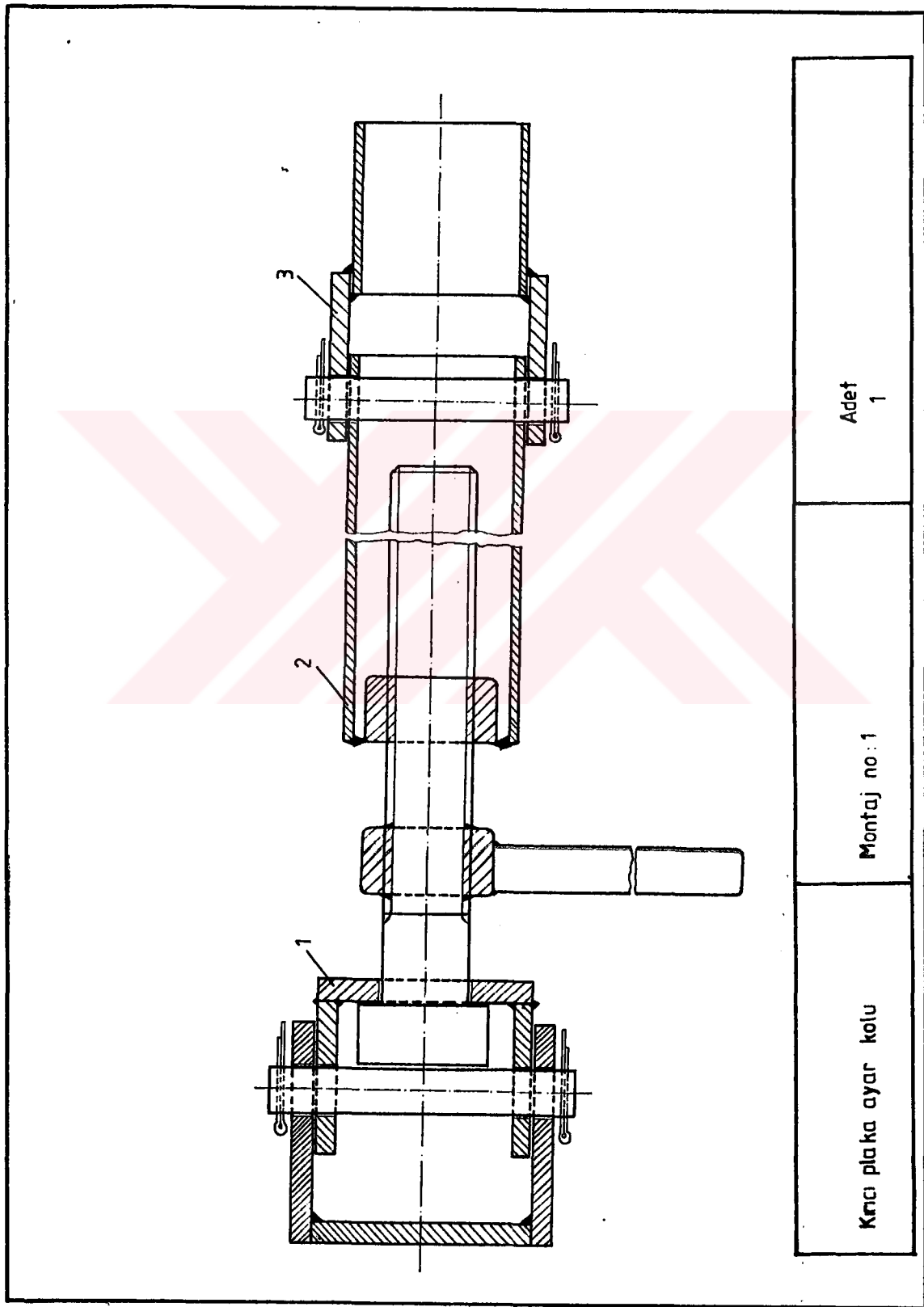


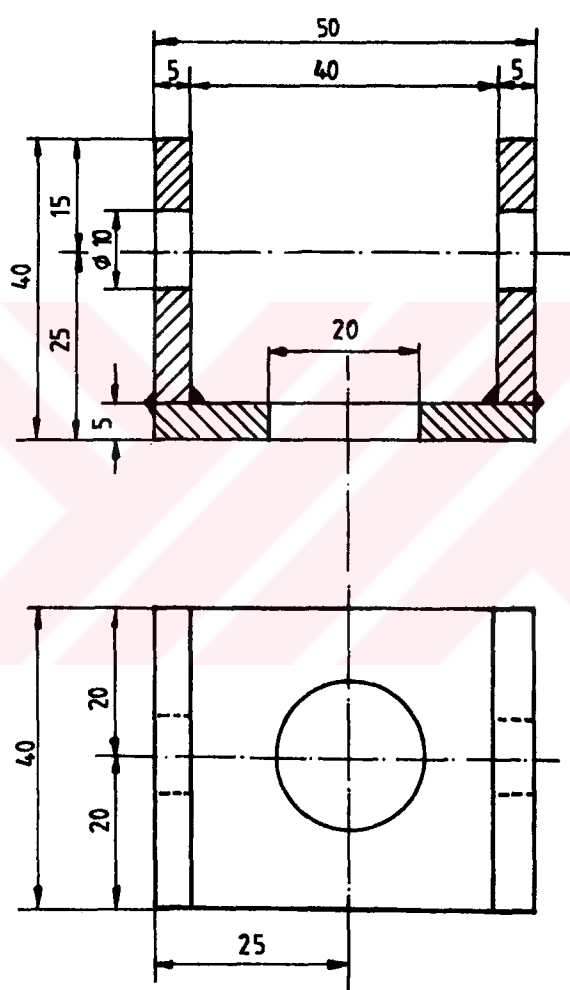
Adet  
7

Montaj no: 1

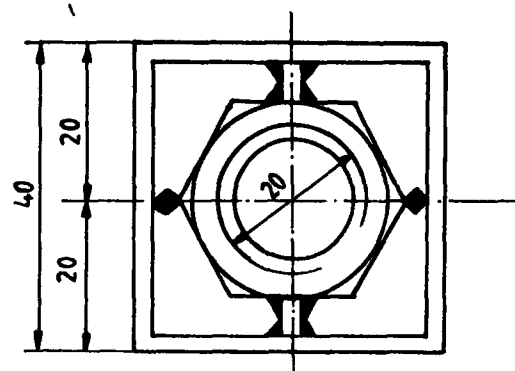
Fıshing akış borusu

Ölçek  
1:1



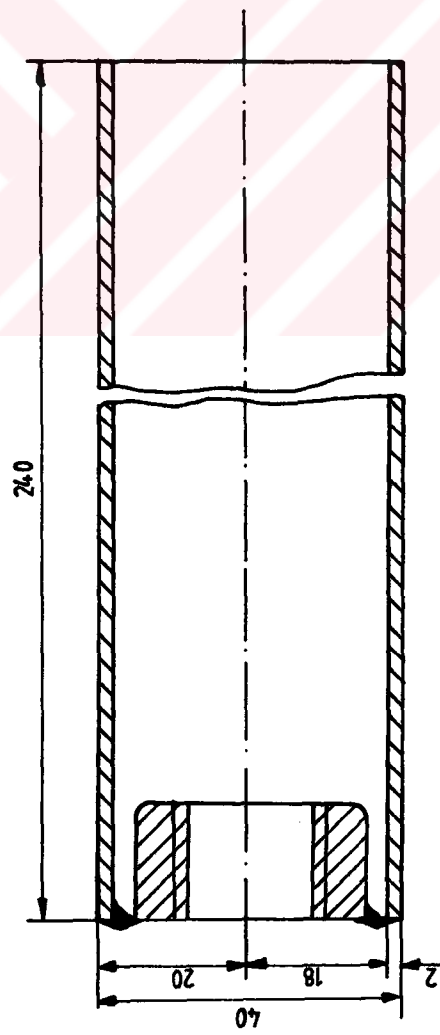


Ölçek 1:1	Erkek mafsal	Montaj no: 1 Parça no : 1	Adet 1
--------------	--------------	------------------------------	-----------

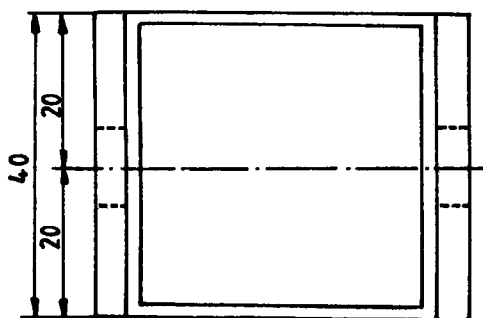
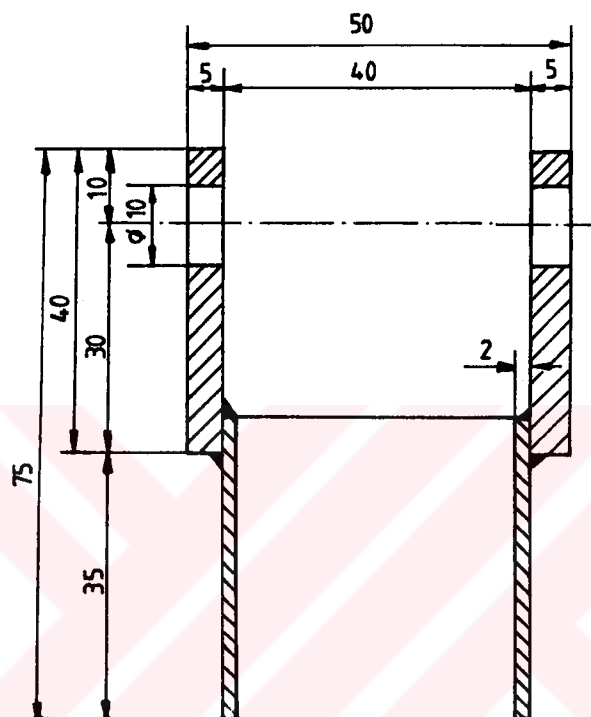


Adet  
1

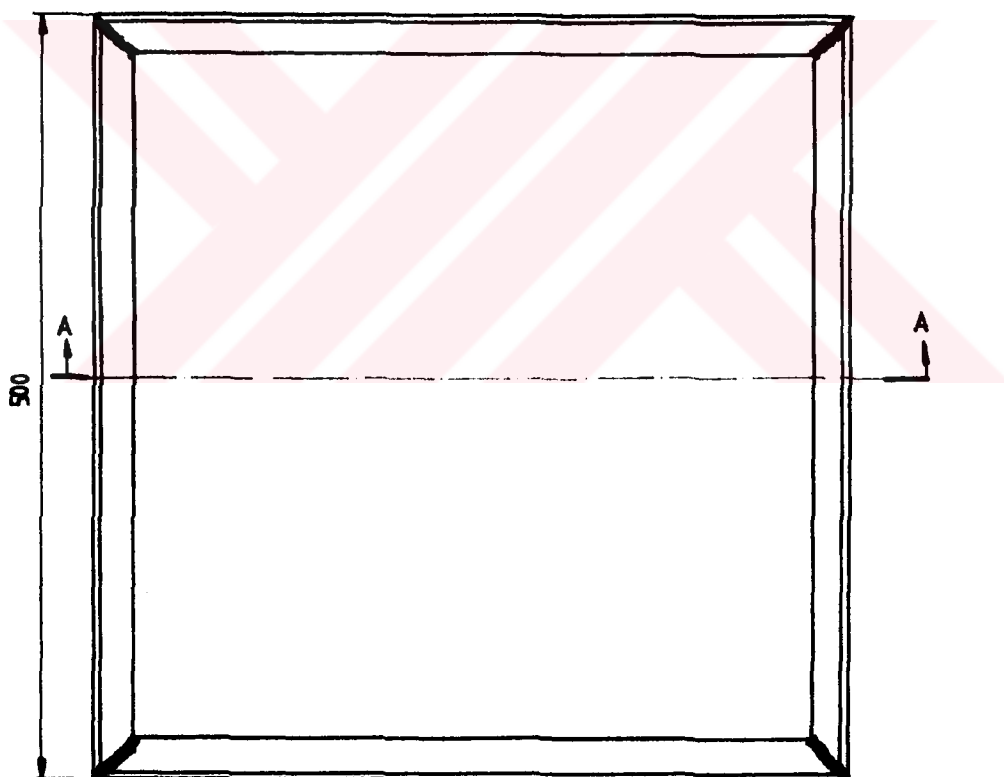
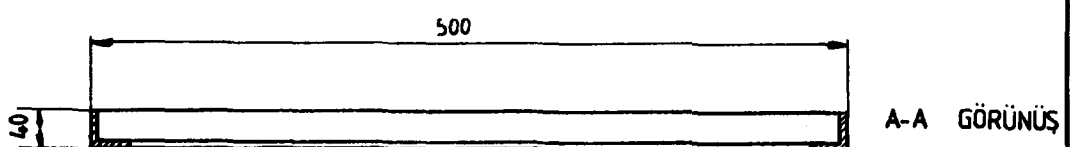
Montaj no : 1  
Parça no : 2



Ölçek  
1:1  
Ayar profili



Ölçek 1:1	Dişî mafsal	Montaj no: 1 Parça no : 3	Adet 1
--------------	-------------	------------------------------	-----------

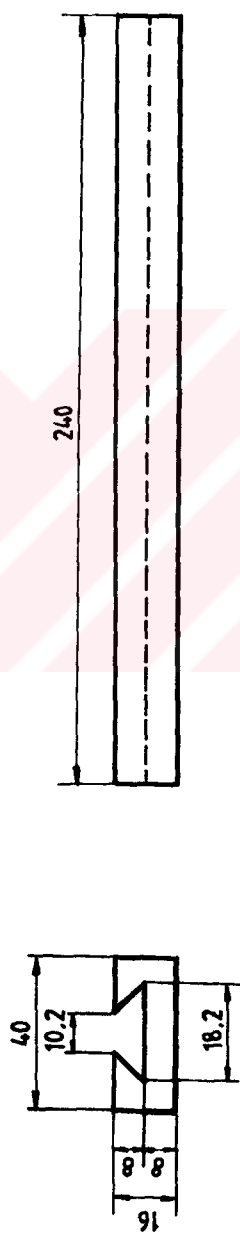


Ölçek  
1:5

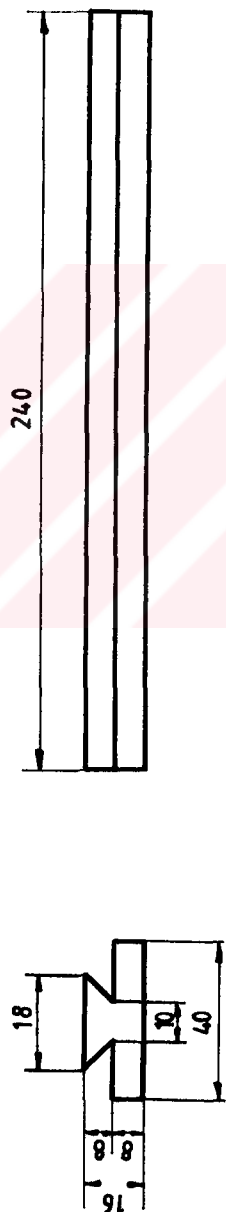
Plaka çerçevesi

Montaj no: 2

Adet  
2



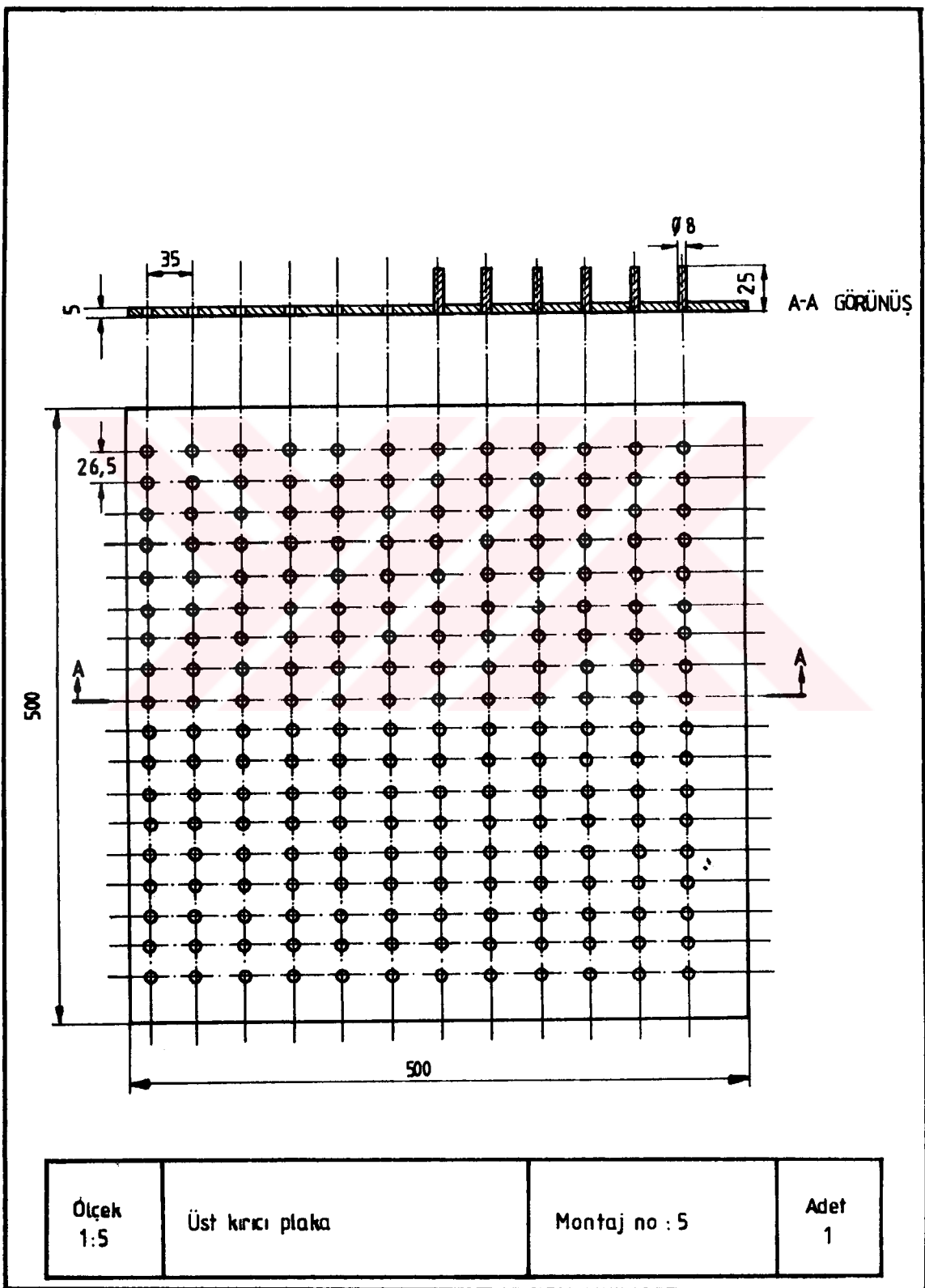
Ölçek 1:2	Dışı kırlangıç yatakları	Montaj no: 3	Adet 2
--------------	--------------------------	--------------	-----------

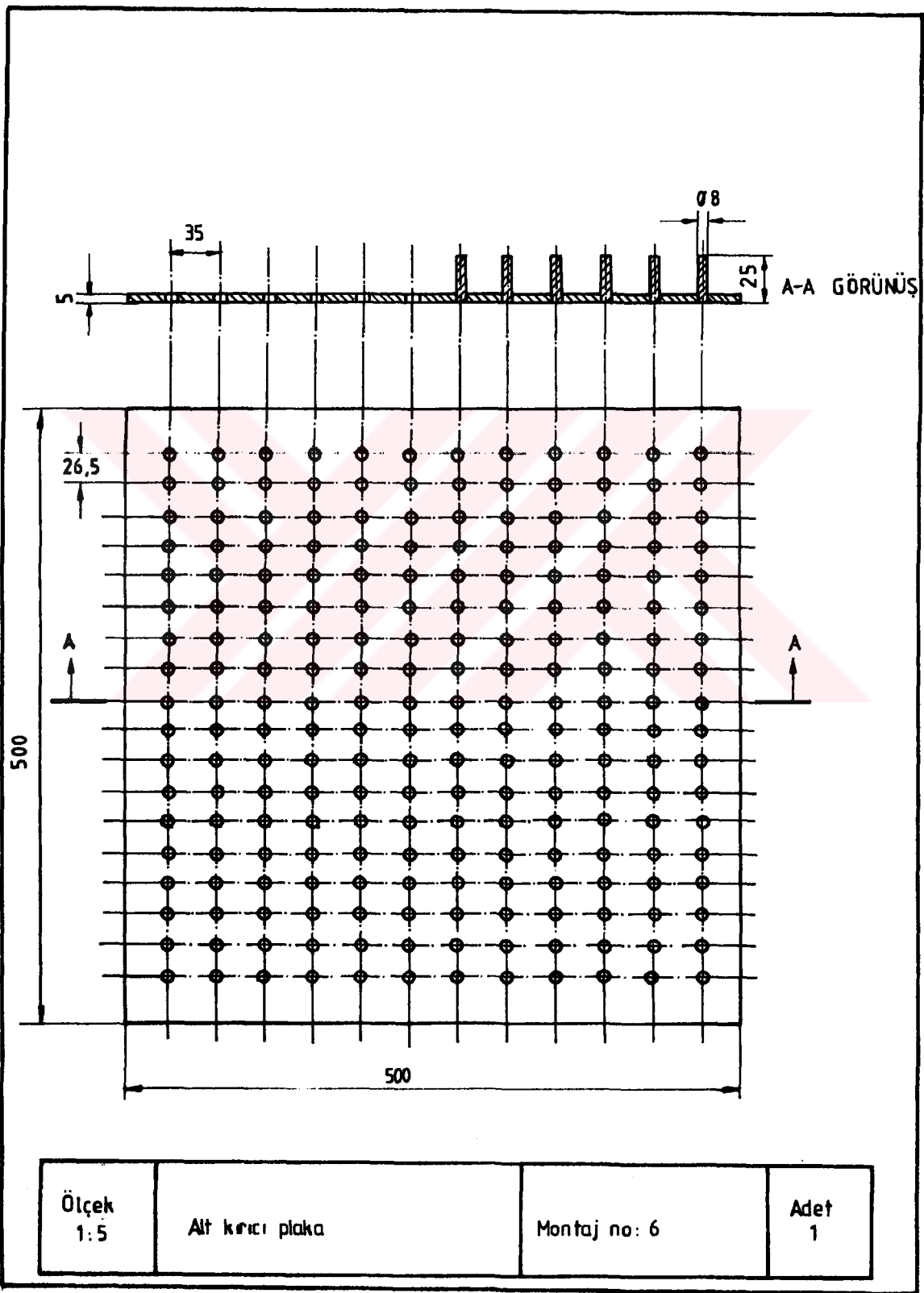


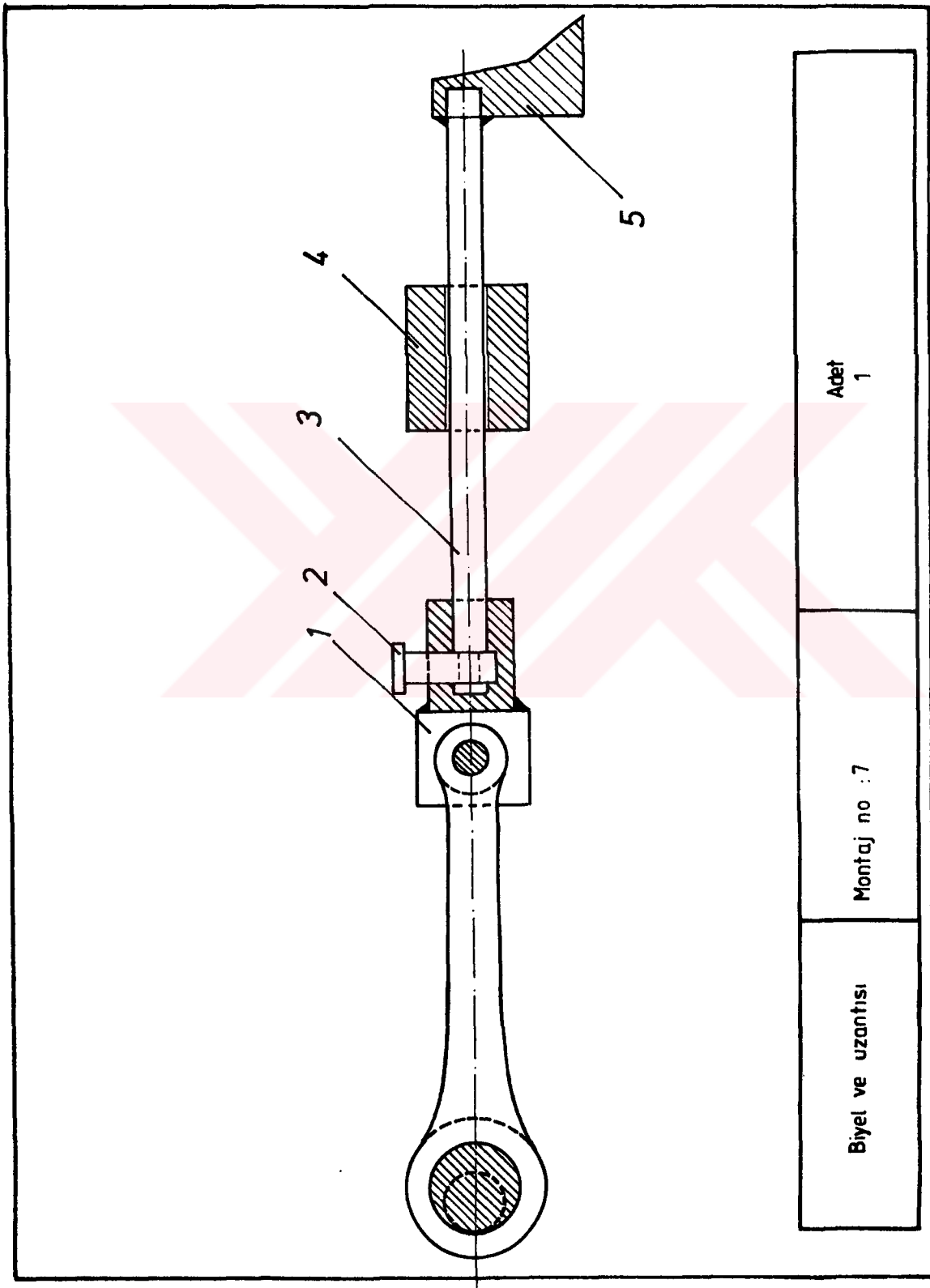
Ölçek  
1:2  
Erkek kırılangıç yatağı

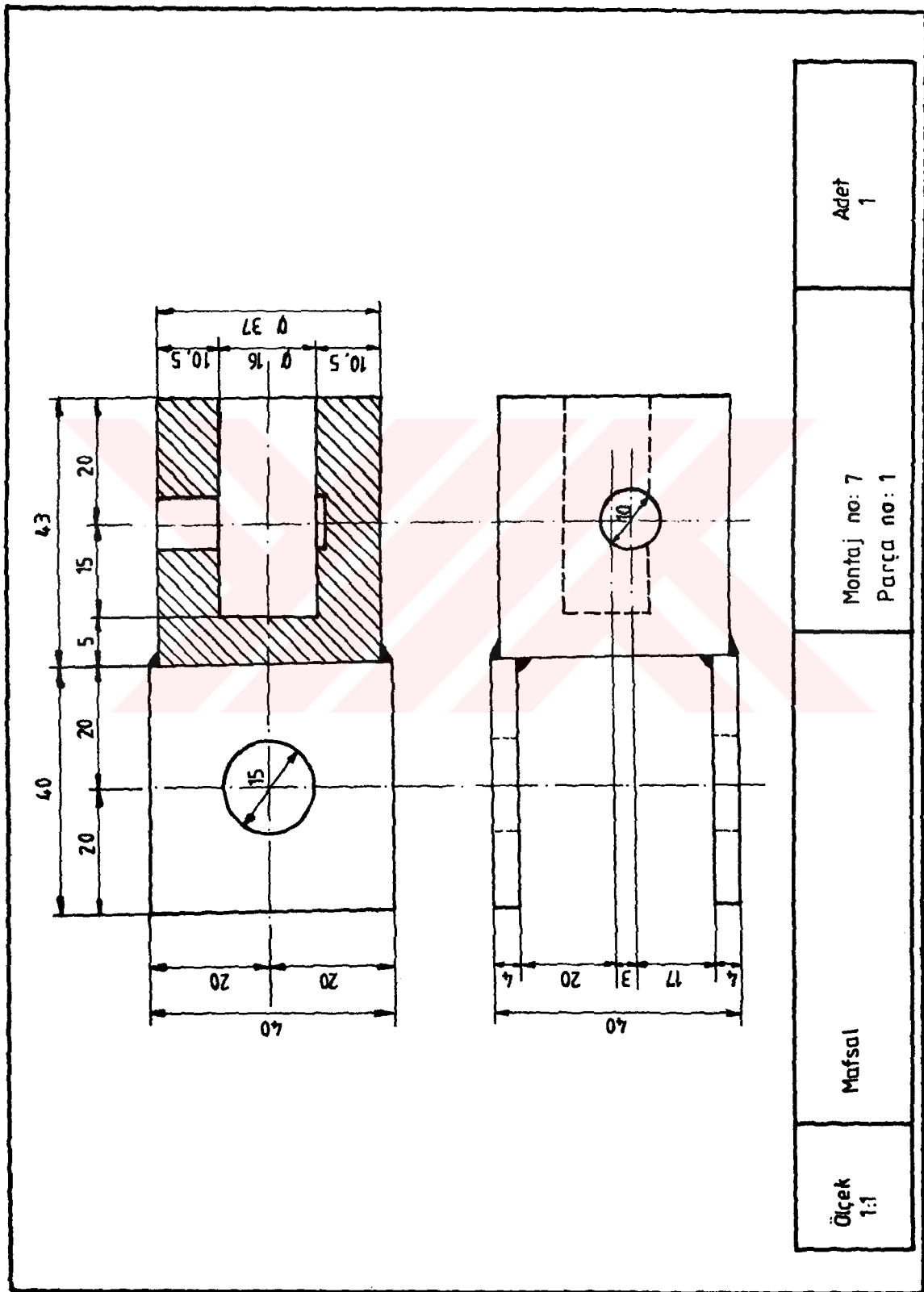
Montaj no: 4

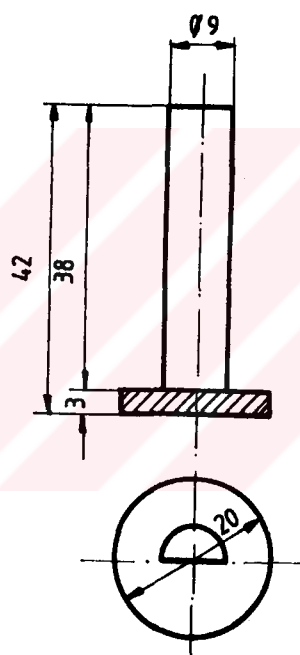
Adet  
2



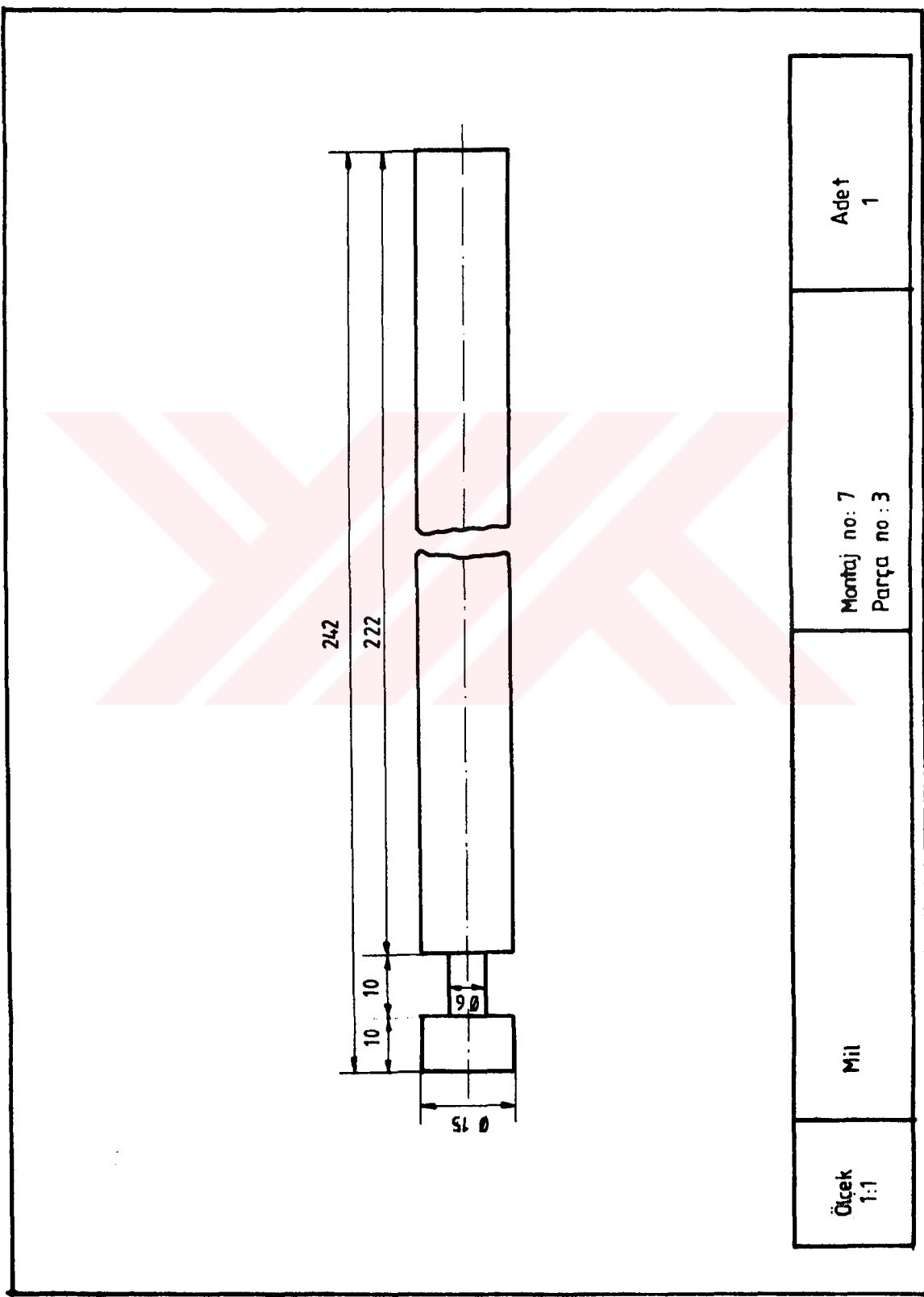


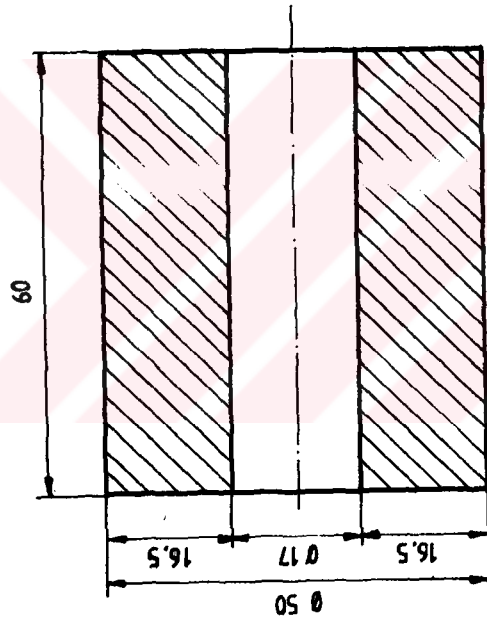




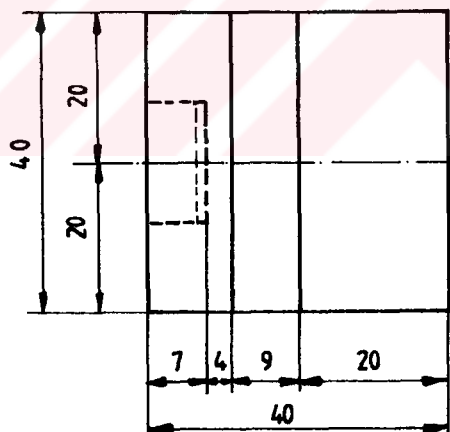
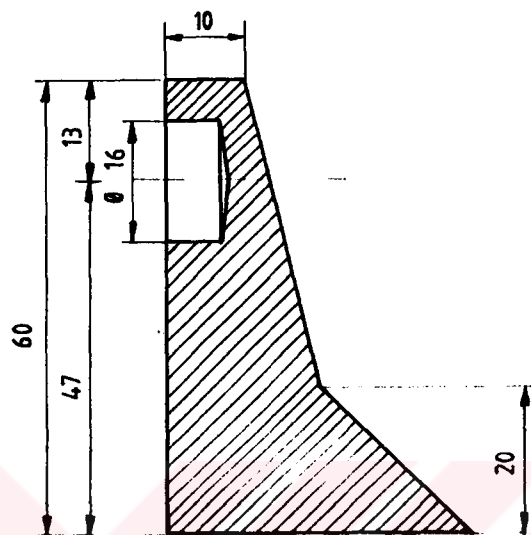


Ölçek 1:1	Pim	Montaj no : 7 Parça no : 2	Adet 1
--------------	-----	-------------------------------	-----------





Ölçek	Burç	
1:1	Montaj nr: 7 Parça nr: 4	Ade: 1



Ölçek  
1:1

Direk

Montaj no : 7  
Parca no : 5

Adet  
1

## KAYNAKLAR

AKÇALI, I.Ş., 1984. Çeşitli Yüksek Mekanizmalarda Yüzey Egilerinin Hesapla Bulunması. Tübitak 1. Ulusal Makina Teorisi Simpozyumu. O.D.T.Ü., ANKARA.

BAŞBAKANLIK DEVLET İSTATİSTİK ENSTİTÜSÜ. 1987. Türkiye İstatistik Yıllığı.

BÜYÜKNİSAN, M., 1987. Yerfıstığı Kırma Mekanizması Tasarım ve İmalatı. Ç.Ü., Makina Mühendisliği Bölümünde Yapılan Makina Projesi. ADANA.

DAVIDSON, J.I., J.R., WHITAKER, T.B., DICKENS, J.W., 1982. Grading, Cleaning, Storage, Shelling and Marketing of Peanut in The United States. Edited by H.E. Pattee and C.T. Young Peanut Science and Technology Chap 15., Texas.

DAVIDSON, J.I., J.R., 1979. Mechanical Cleanout Devices for Commercial Type Peanut Shellers. Summer Meeting of ASAE, CSAE Univ. of Manitoba, Canada, June 24-27.

DEVLET İSTATİSTİK ENSTİTÜSÜ. 1979. Tarımsal Yapı ve Üretim. No 941.

ELİŞ, S., 1987. Yerfıstığı Kırma Makinası. Ç.Ü. Makina Mühendisliği Bölümünde Yapılan Makina Projesi. ADANA.

GEREN, N., 1987. Karşıt Döner Silindirli Yerfıstığı Temizleme ve Sınıflandırma Makinası Tasarımı. Ç.Ü. Mühendislik Fakültesinde Yapılan Master Tezi. ADANA.

KADAYIFÇILAR, S., USLU, M., 1981. Yerfıstığı Hasat ve Harman Makinaları. Türkiye Ziraat Donatım Kurumu Mesleki Yayınları. ANKARA.

KİPER, H., 1986. Yerfıstığı Sırtınme Katsayısının Deneysel Olarak Saptanması. Ç.Ü. Makina Mühendisliği Bölümünde Yapılan Bitirme Ödevi. ADANA.

- MOHSENIN, N.N., 1970. Physical Properties of Plant and Animal Materials. Gordon and Breach Science Publishers Inc. New York.
- PERSON, N.K., 1975. Grading Procedures Peanut Production in Texas The Texas A and M University Agricultural Experiment College Station, Jan. RM3 S. 96-104.
- SINGH, G., THONGSAWATWONG,P., 1983. Evaluation and Modification of two Peanut Shellers. AMA. 14 . No: 3, S.33-50.
- SHIGLEY,J.E., 1963. Mechanical Engineering Design. Mc.Graw-Hill Book Company, Inc. TOKYO. S.294.
- TS-310, 1972. TÜRK STANDARTLARI YERFİSTİĞİ (KABUKLU ve İÇ).
- YAPI VE KREDİ BANKASI A.Ş., 1966. Türkiye'de Yağlı Tohumlar. Piyasa Etüdleri. No: 4.
- WOODROOF,J.G., 1983. Peanuts, Production, Processing and Products. 3.rd. Edition. AVI Publishing Comp. Inc. Westport, CONNECTICUT.

### TEŞEKKÜR

Yüksek Lisans Tez çalışmamın yürütülmesini üstlenerek, çalışmalarım sırasında, gerek teorik gerekse imalatta taki problemlere çözüm bulunmasında değerli yardımalarını esirgemeyen büyük ilgi ve anlayışla yön veren saygınlı hocam Doç.Dr. T. Deniz AKÇALT'ya sonsuz şükranlarımı sunar, teşekkür ederim.

### ÖZGEÇMİŞ

1961 yılında Adana İli Pozantı İlçesinde doğdum. İlk, Orta ve Lise öğrenimimi Adana'da tamamladım. 1980 yılında Ç.Ü., Fen Edebiyat Fakültesi, Kimya Bölümüne girdim. 1981 yılında bu fakülteden ayrılarak aynı Üniversitenin Mühendislik-Mimarlık Fakültesi, Makina Bölümüne kayıt oldum. 1985 yılında Makina Mühendisi Ünvanıyla mezun oldum.

Mezuniyet sonrası Ç.Ü., Mühendislik-Mimarlık Fakültesi, Makina Mühendisliği Bölümünde Yüksek Lisans çalışmalarına başladım. Halen, aynı Bölümde Arş.Gör. olarak çalışmaktadır.

W. G.  
Yükseköğretim Kurulu  
Dokümantasyon Merkezi